

FIG. 179

S E R I E: Patológica

- Masa infraaxial anterior lateral
- (Laterosilviana)

Caso nº P-13^(H-258)

Reseña personal: A.R.S. Mujer. 56 años.

Reseña clínica: El paciente no fue intervenido: no se pudo determinar la naturaleza exacta del tumor.

.....

FLEBOGRAMA LATERAL
=====

Parámetros del ángulo venoso

- Método de Laine.....:	H: 25,5;	V: 15
- Método de Fischer.....:	H: -19;	V: 2,5
- Bisectriz de Fischer.....:	B: 18,2º;	M: 24,5º; D: 6,3º
- Método de Newton.....:	V: 0,5;	H: -8,5
Ang. Tubérculo-Inion-Monro.:	24,5º	
Ang. Monro-Inion-Bregma.....:	12º	
Ang. Tubérculo-Lambda-Monro:	12º	
Ang. Monro-Glabela-Bregma..:	44º	
Ang. Monro-Bregma-Tubérculo:	27º	
Ang. Monro-Tubérculo-Inion.:	51,5º	
Ang. Apex-Tubérculo-Monro..:	14º	
Ang. Monro-Apex-Bregma.....:	44,5º	
Lín. fleboaxial-Monro.....:	2,5	

FLEBOGRAMA LATERAL

Parámetros de la v. cerebral interna

- Método de Potts y Taveras: A-B: 27; b: 1; c: -0,5; d: -0,5
- Método de Shah-Kendall...: A: 35,2; B: 34,7; C: 26,1
- Método de Babin y cols...: c: 57,5°; b: 41°
- Cociente de giro sagital.: 74
- Arco venoso profundo.....: 13

Proyecciones de la v. basal

Eje incisural-vena basal.: A: -; B: -8,5; C: -15,5; D: -

FLEBOGRAMA FRONTAL

- Angulo venoso-Línea media.: 16,5
- Talamoestriada-Línea media: 8

Referencias angiográficas complementarias

- Arteriograma frontal: gran desplazamiento proximal y distal de la arteria cerebral anterior. Acusado desplazamiento medial de todos los vasos silvianos.
- Arteriograma lateral: ligera elevación del triángulo silviano.



FIG. 180

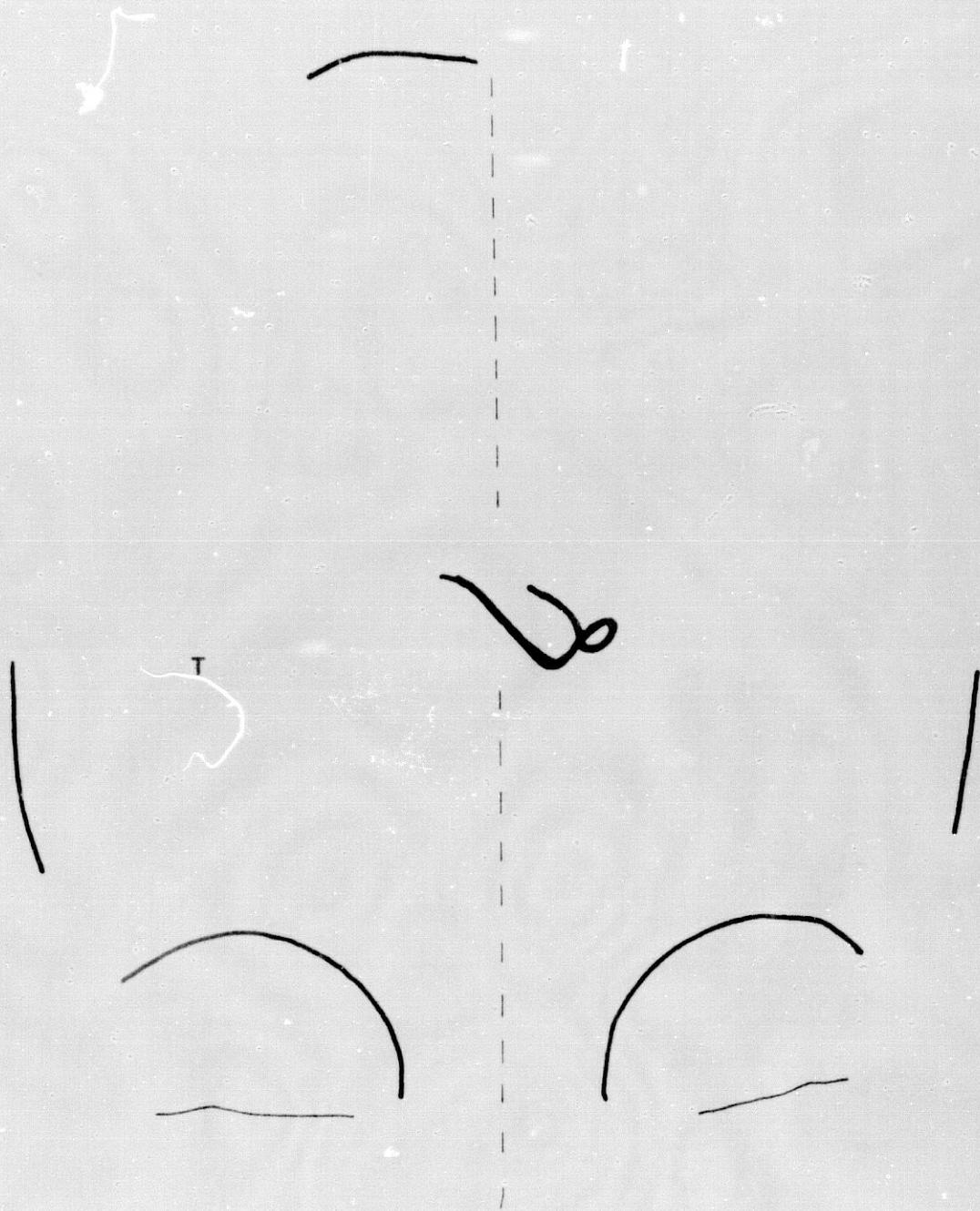


FIG. 181

S E R I E: Patológica

- Masa infraaxial anterior lateral
- (Presilviana)

Caso nº P-14 (H-300)

Reseña personal: E.F.M. Mujer. 61 años.

Reseña clínica: Neoplasia frontal derecha. (El paciente no fue intervenido: no se pudo determinar la naturaleza exacta del tumor).

.....

FLEBOGRAMA LATERAL

Parámetros del ángulo venoso

- Método de Laine.....:	H: 35;	V: 18,5
- Método de Fischer.....:	H: -17,5;	V: 4
- Bisectriz de Fischer.....:	B: 21,2°;	M: 27,5°; D: 6,3°
- Método de Newton.....:	V: 3,5;	H: -10
Ang. Tubérculo-Inion-Monro.:	27,5°	
Ang. Monro-Inion-Bregma.....:	15°	
Ang. Tubérculo-Lambda-Monro:	14°	
Ang. Monro-Glabela-Bregma...:	47°	
Ang. Monro-Bregma-Tubérculo:	47,5°	
Ang. Monro-Tubérculo-Inion.:	50,5°	
Ang. Apex-Tubérculo-Monro...:	20°	
Ang. Monro-Apex-Bregma.....:	42°	
Lín. fleboaxial-Monro.....:	3	

FLEBOGRAMA LATERAL

Parámetros de la v. cerebral interna

- Método de Potts y Taveras: A-B: 25; b: 8; c: 2; d: 0,2
- Método de Shah-Kendall...: A: 38,1; B: 39,3; C: 24,3
- Método de Babin y cols...: c: 73°; b: 38°
- Cociente de giro sagital.: 56
- Arco venoso profundo.....: 3,5

Proyecciones de la v. basal

Eje incisural-vena basal.: A: -; B: -4,5; C: -10; D: -7

FLEBOGRAMA FRONTAL

- Angulo venoso-Línea media.: 9
- Talamoestriada-Línea media: 10

Referencias angiográficas complementarias

- Arteriograma frontal: proliferación de vasos tumorales en el área correspondiente a los dos tercios laterales de la fosa anterior. Desviación redonda de la arteria cerebral anterior.
- Arteriograma lateral: gran proliferación de vasos tumorales sobre la fosa anterior que obligan a un desplazamiento posterior de los vasos silvianos, con cierre del sifón carotídeo.

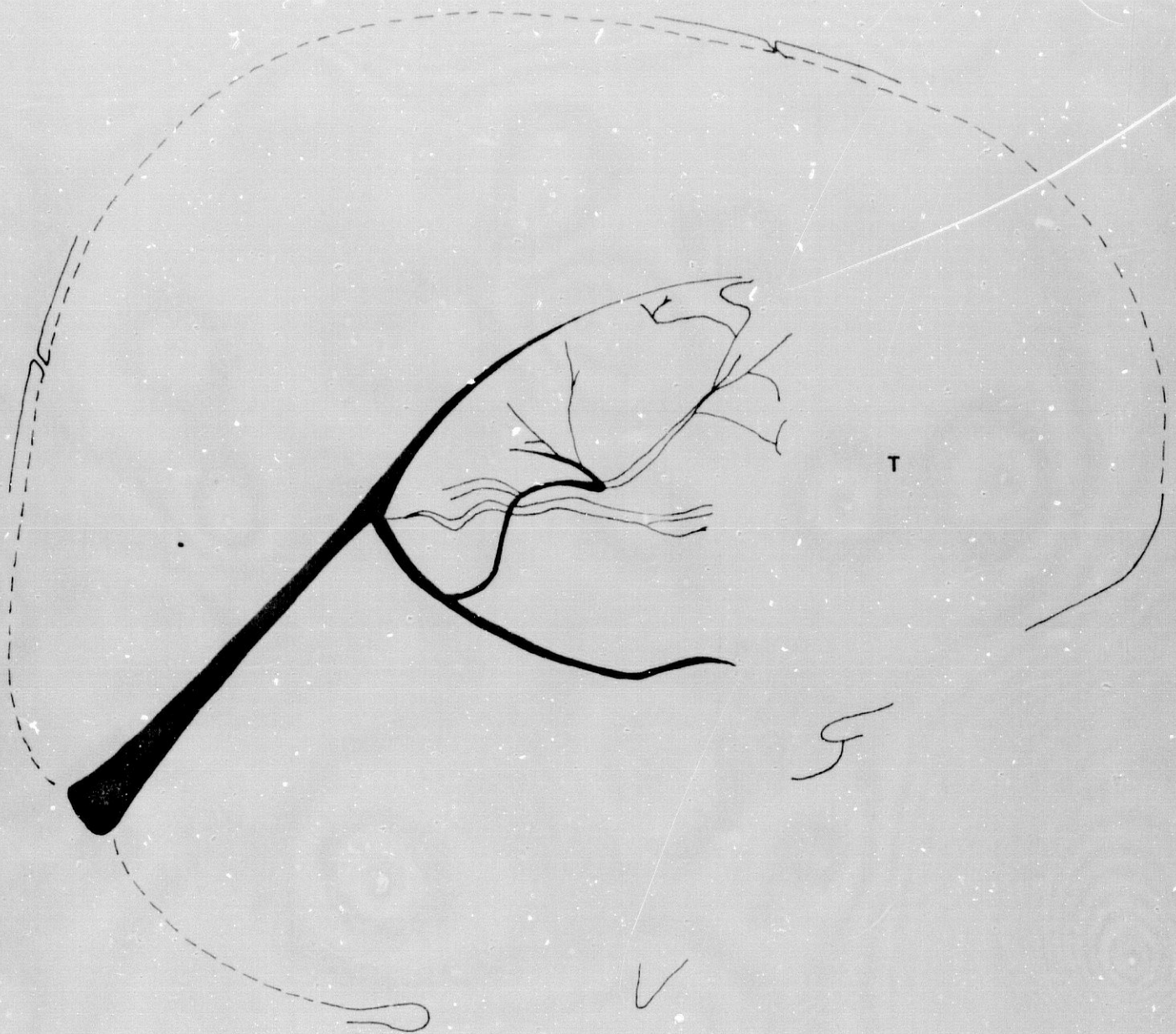


FIG. 182

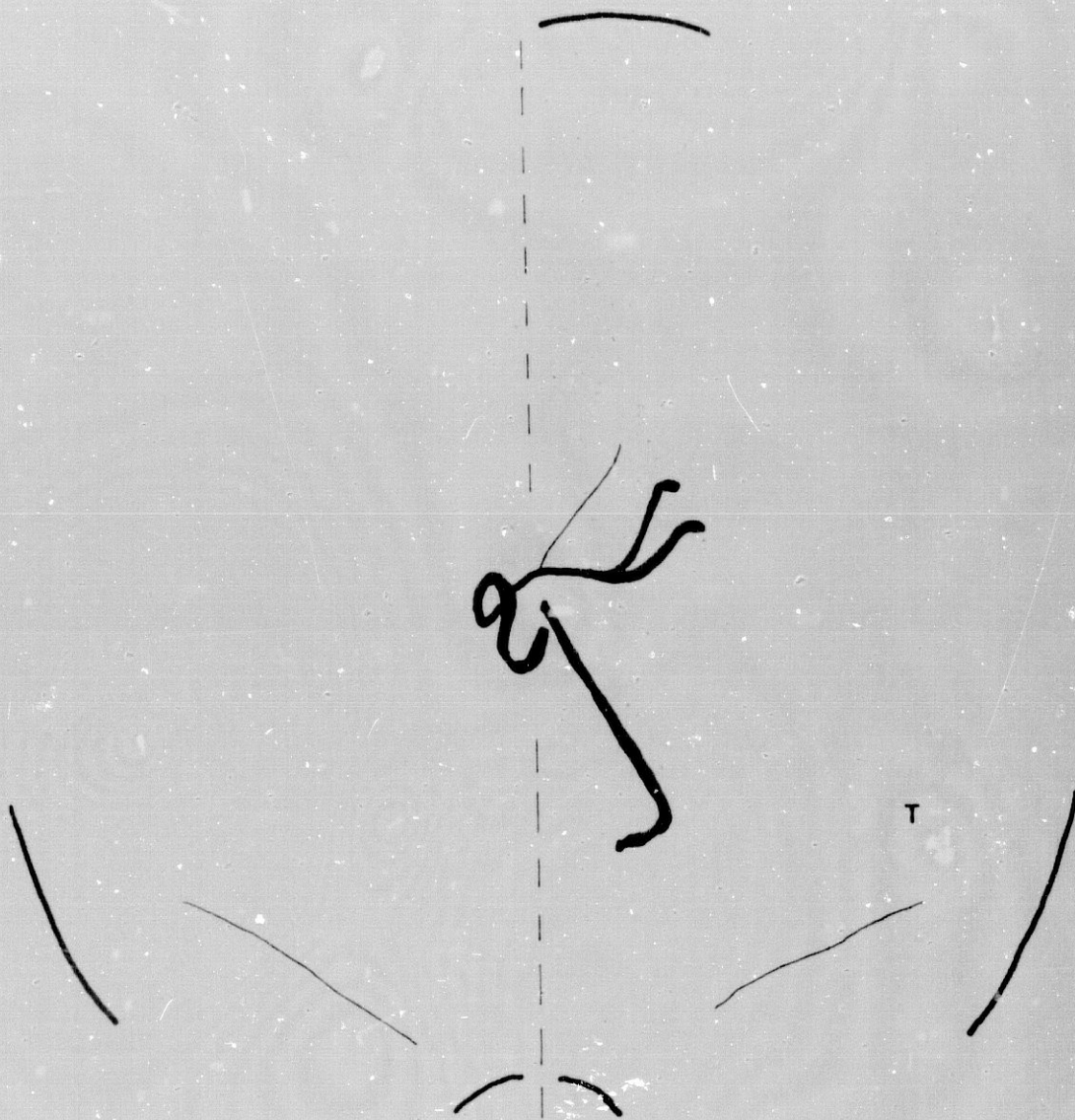


FIG. 183

Tumores infraaxiales medios parasagitales

S E R I E: Patológica

- Masa infraaxial media parasagital
- (Selar)

Caso nº P-15(H-1)

Reseña personal: A.V.V. Varón. 23 años.

Reseña clínica: Adenoma eosinófilo

.....

FLEBOGRAMA LATERAL
=====

Parámetros del ángulo venoso

- Método de Laine.....: H: 37,5; V: 27
- Método de Fischer.....: H: -13; V: 9,5
- Bisectriz de Fischer.....: B: 21,7º; M: 28,5º; D: 6,8º
- Método de Newton.....: V: 16; H: 2,5
- Ang. Tubérculo-Inion-Monro.: 28,5º
- Ang. Monro-Inion-Bregma....: 15º
- Ang. Tuberculo-Lambda-Monro: 15º
- Ang. Monro-Glabela-Bregma...: 37,5º
- Ang. Monro-Bregma-Tubérculo: 24º
- Ang. Monro-Tubérculo-Inion.: 51º
- Ang. Apex-Tubérculo-Monro...: 27,5º
- Ang. Monro-Apex-Bregma.....: 39,5º
- Lín. fleboaxial-Monro.....: 10,2

FLEBOGRAMA LATERAL

Parámetros de la v. cerebral interna

- Método de Potts y Taveras: A-B: 32; b: 3; c: 0,2; d: 0
- Método de Shah-Kendall...: A: 40,7; B: 37,5; C: 22,2
- Método de Babin y cols...: c: 65°; b: 33°
- Cociente de giro sagital.: 63
- Arco venoso profundo.....: 7

Proyecciones de la v. basal

- Eje incisural-vena basal.: A: 14; B: 4; C: -5,5; D: -

FLEBOGRAMA FRONTAL

- Angulo venoso-Línea media.: 2
- Talamoestriada-Línea media: 18,5

Referencias angiográficas complementarias

- Arteriograma frontal: elevación y desplazamiento lateral de la arteria carótida supraclinoidea y del segmento horizontal de la arteria cerebral anterior.
- Arteriograma lateral: acusada concavidad anterior del complejo cerebral anterior.

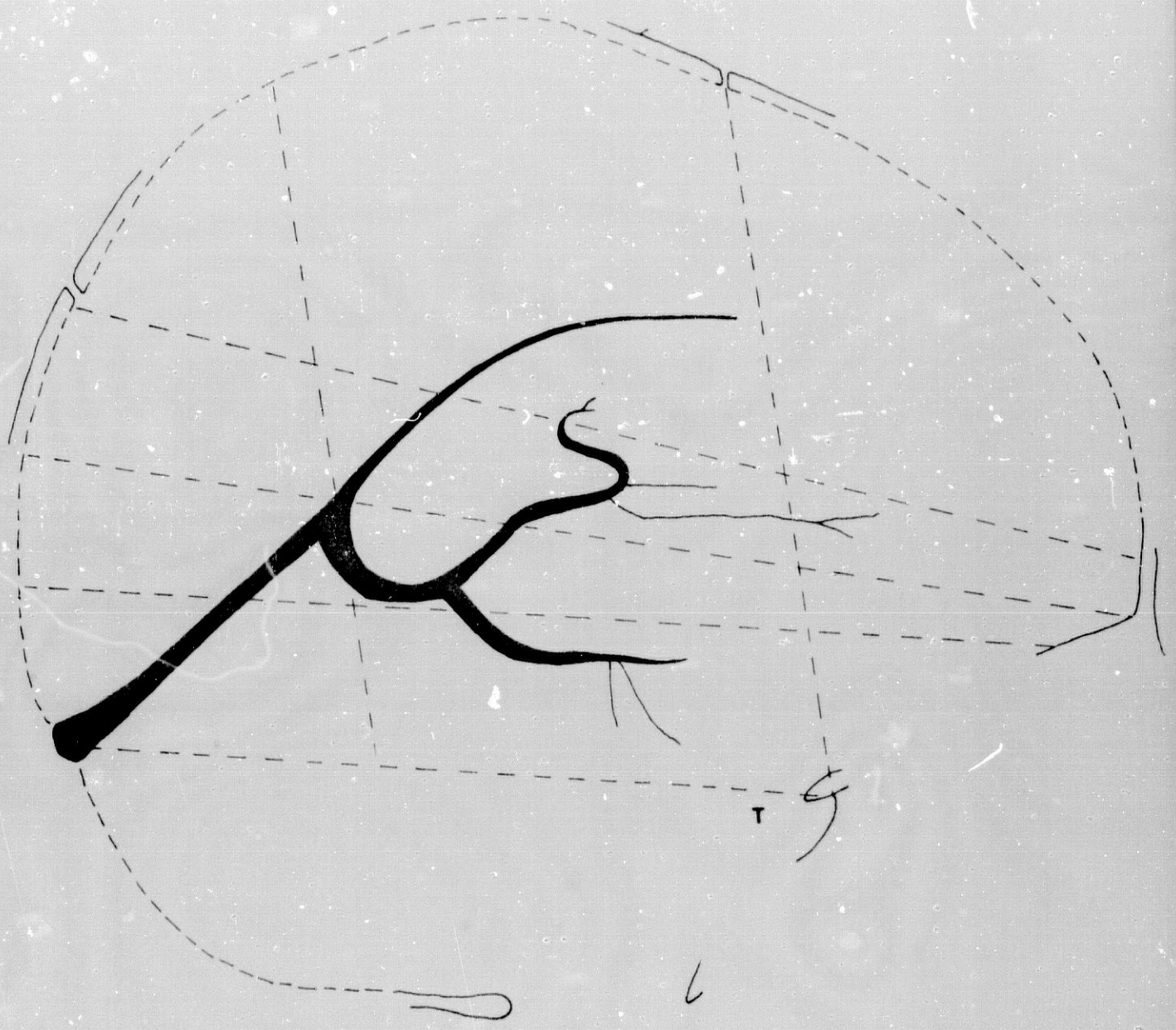


FIG. 186

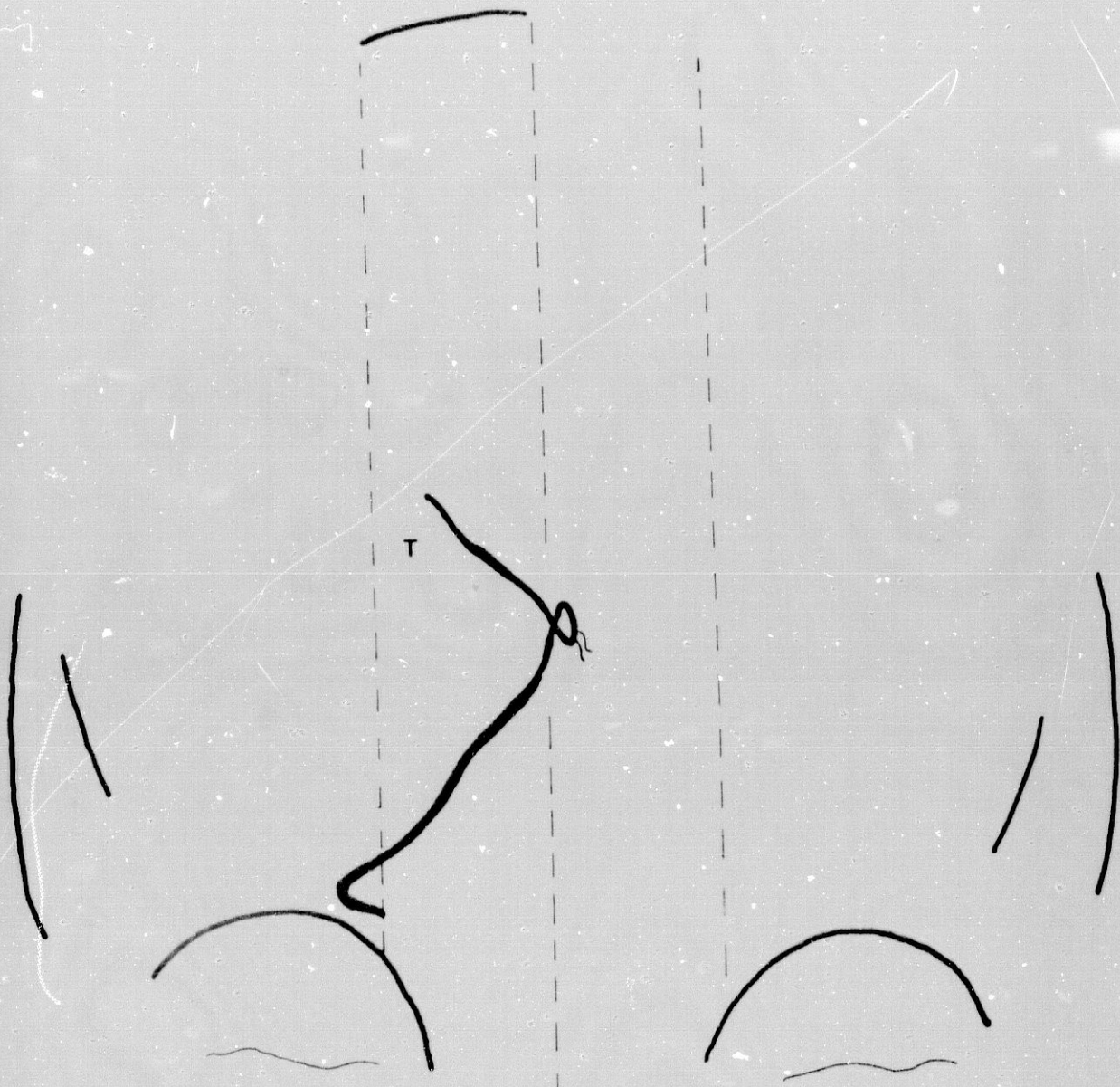


FIG. 187

S E R I E: Patológica

- Masa infraaxial media parasagital
- (Supraselar medial)

Caso nº P-16(H-73)

Reseña personal: D.P.G. Mujer. 55 años.

Reseña clínica: Quiste aracnoideo en cisterna supraselar.

.....

FLEBOGRAMA LATERAL
=====

Parámetros del ángulo venoso

- Método de Laine.....:	H: 11;	V: 28	
- Método de Fischer.....:	H: 5;	V: 12	
- Bisectriz de Fischer.....:	B: 21,5º;	M: 24º;	D: 2,5º
- Método de Newton.....:	V: 10;	H: 12,5	
Ang. Tubérculo-Inion-Monro.:	24º		
Ang. Monro-Inion-Bregma.....:	19º		
Ang. Tubérculo-Lambda-Monro:	12,5º		
Ang. Monro-Glabela-Bregma...:	33º		
Ang. Monro-Bregma-Tubérculo:	12º		
Ang. Monro-Tubérculo-Inion.:	76º		
Ang. Apex-Tubérculo-Monro...:	41º		
Ang. Monro-Apex-Bregma.....:	43º		
Lín. fleboaxial-Monro.....:	11		

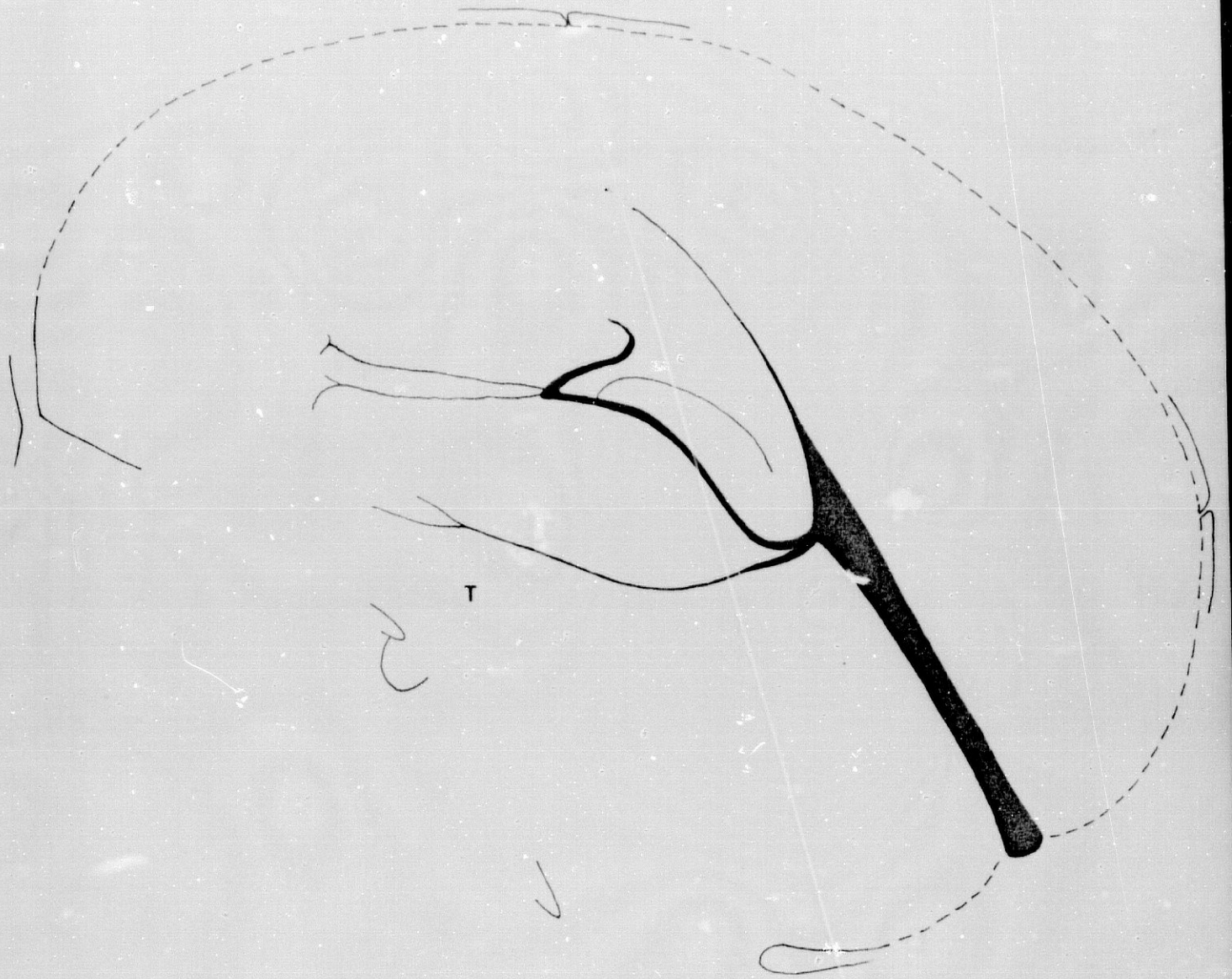


FIG. 188

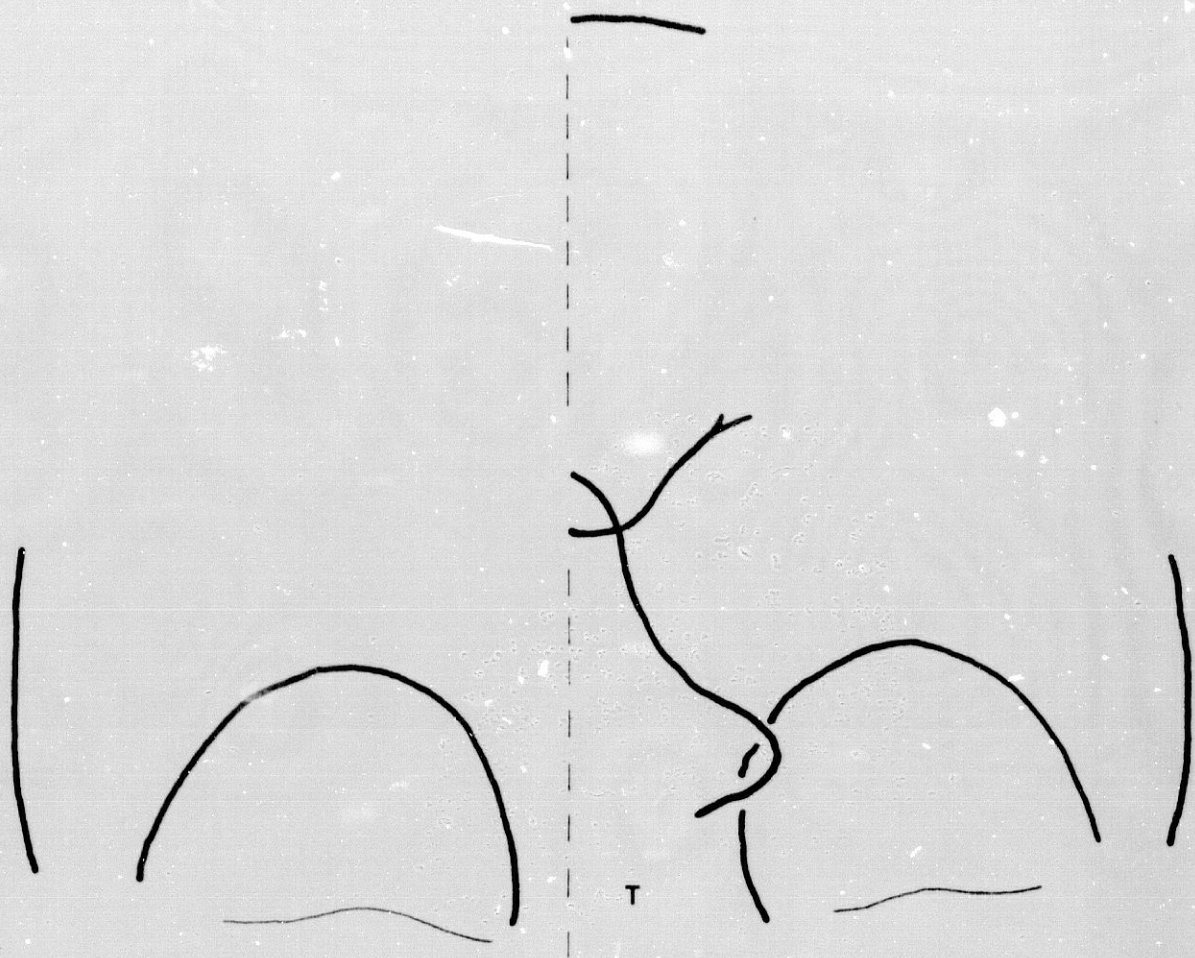


FIG. 189

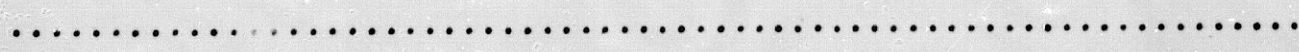
S E R I E: Patológica

- Masa infraaxial media parasagital
- (Paraselar con predominio derecho)

Caso nº P-17 (H-136)

Reseña personal: J.C.M. Varón. 45 años.

Reseña clínica: Adenoma cromóforo.



FLEBOGRAMA LATERAL

Parámetros del ángulo venoso

- Método de Laine.....: H: 30; V: 32,5
- Método de Fischer.....: H: -11; V: 17
- Bisectriz de Fischer.....: B: 19,2º; M: 26º; D: 6,8º
- Método de Newton.....: V: 14; H: 2,5
- Ang. Tubérculo-Inion-Monro.: 26º
- Ang. Monro-Inion-Bregma....: 12,5º
- Ang. Tubérculo-Lambda-Monro: 18º
- Ang. Monro-Glabela-Bregma...: 40º
- Ang. Monro-Bregma-Tubérculo: 30º
- Ang. Monro-Tubérculo-Inion.: 58º
- Ang. Apex-Tubérculo-Monro...: 34,5º
- Ang. Monro-Apex-Bregma.....: 26º
- Lín. fleboaxial-Monro.....: 17

FLEBOGRAMA LATERAL

Parámetros de la v. cerebral interna

- Método de Potts y Taveras:	A-B: 45;	b: 9;	c: 0;	d: -1
- Método de Shah-Kendall....:	A: 42,9;	B: 41;	C: 22,6	
- Método de Babin y cols....:	c: 60°;	b: 34°		
Cociente de giro sagital.:	71			
Arco venoso profundo.....:	7,5			

Proyecciones de la v. basal

Eje incisural-vena basal.: A: 17; B: 10,5; C: -7; D:-

FLEBOGRAMA FRONTAL

- Angulo venoso-Línea media.: 7
- Talamoestriada-Línea media: 16

Referencias angiográficas complementarias

- Arteriograma frontal: ligera desviación proximal de la arteria cerebral anterior.
- Arteriograma lateral: incurvación de algunos vasos carotídeos que delimitan una masa tumoral supraselar. Desviación posterior de la porción inicial del triángulo silviano.

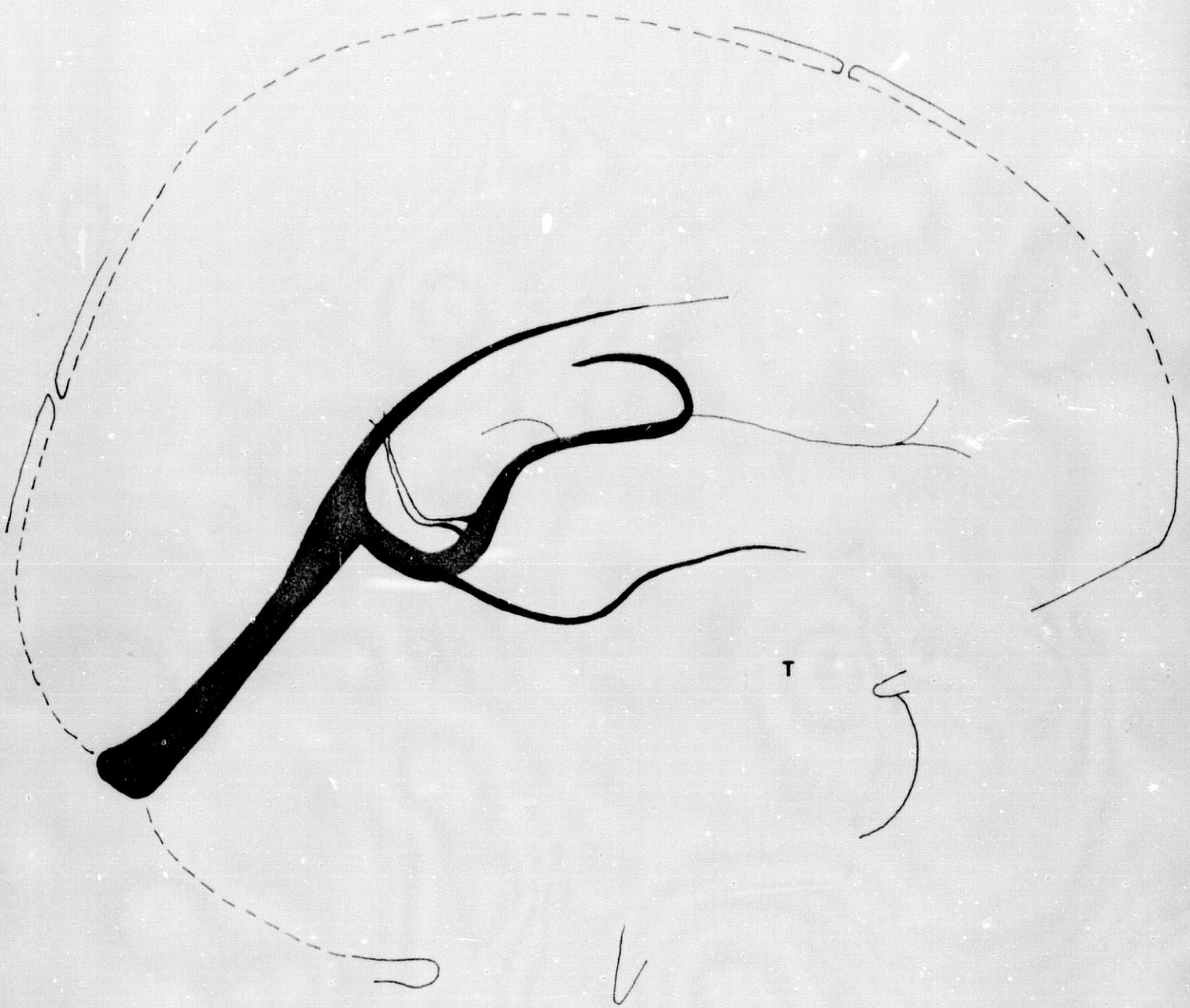


FIG. 190

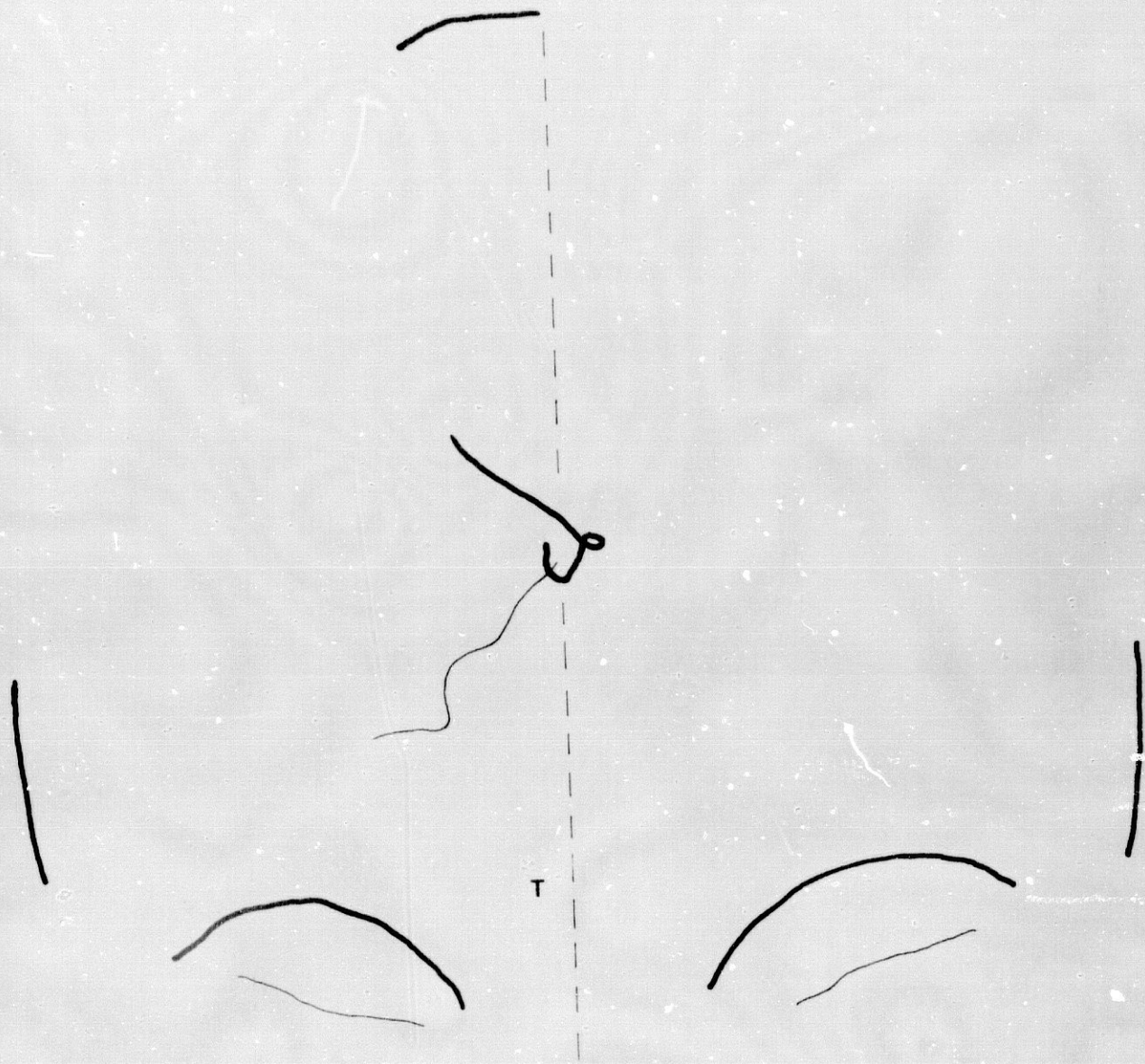


FIG. 191

S E R I E: Patológica

- Masa infraaxial media parasagital

- (Selar)

Caso nº P-18(H-180)

Reseña personal: L.C.C. Varón. 54 años.

Reseña clínica: Adenoma cromóforo malignizado.

.....

FLEBOGRAMA LATERAL

Parámetros del ángulo venoso

- Método de Laine.....:	H: 30;	V: 20
- Método de Fischer.....:	H: -7;	V: 5
- Bisectriz de Fischer.....:	B: 19,5º;	M: 24,5º; D: 5º
- Método de Newton.....:	V: 8,5;	H: -3,8
Ang. Tubérculo-Inion-Monro.:	24,5º	
Ang. Monro-Inion-Bregma....:	14,5º	
Ang. Tubérculo-Lambda-Monro:	16º	
Ang. Monro-Glabela-Bregma..:	38,5º	
Ang. Monro-Bregma-Tubérculo:	28,5º	
Ang. Monro-Tubérculo-Inion.:	52,5º	
Ang. Apex-Tubérculo-Monro..:	23,5º	
Ang. Monro-Apex-Bregma.....:	38,5º	
Lín. fleboaxial-Monro.....:	9,8	

FLEBOGRAMA LATERAL

Parámetros de la v. cerebral interna

- Método de Potts y Taveras: A-B: 26; b: 4,8; c: 1,5; d: -0,2
- Método de Shah-Kendall...: A: 39,2; B: 40,6; C: 29
- Método de Babin y cols...: c: 61º; b: 41º
- Cociente de giro sagital.: 48
- Arco venoso profundo.....: 8

Proyecciones de la v. basal

- Eje incisural-vena basal.: A: -; B: 7; C: -10; D: -10

FLEBOGRAMA FRONTAL

- Angulo venoso-Línea media.: 0
- Talamoestriada-Línea media: 16

Referencias angiográficas complementarias

- Arteriograma frontal: elevación y desplazamiento lateral de la carótida supraclinoidea y del segmento horizontal de la arteria cerebral anterior.
- Arteriograma lateral: apertura del sifón carotídeo. Proliferación de vasos yuxtaseculares procedentes de la carótida externa y de la arteria oftálmica, que enmarcan la masa tumoral en el interior de la enorme silla turca, con extensión supraselar anterior que determina un aumento de la concavidad anterior de la porción inicial ascendente de la pericallosa.

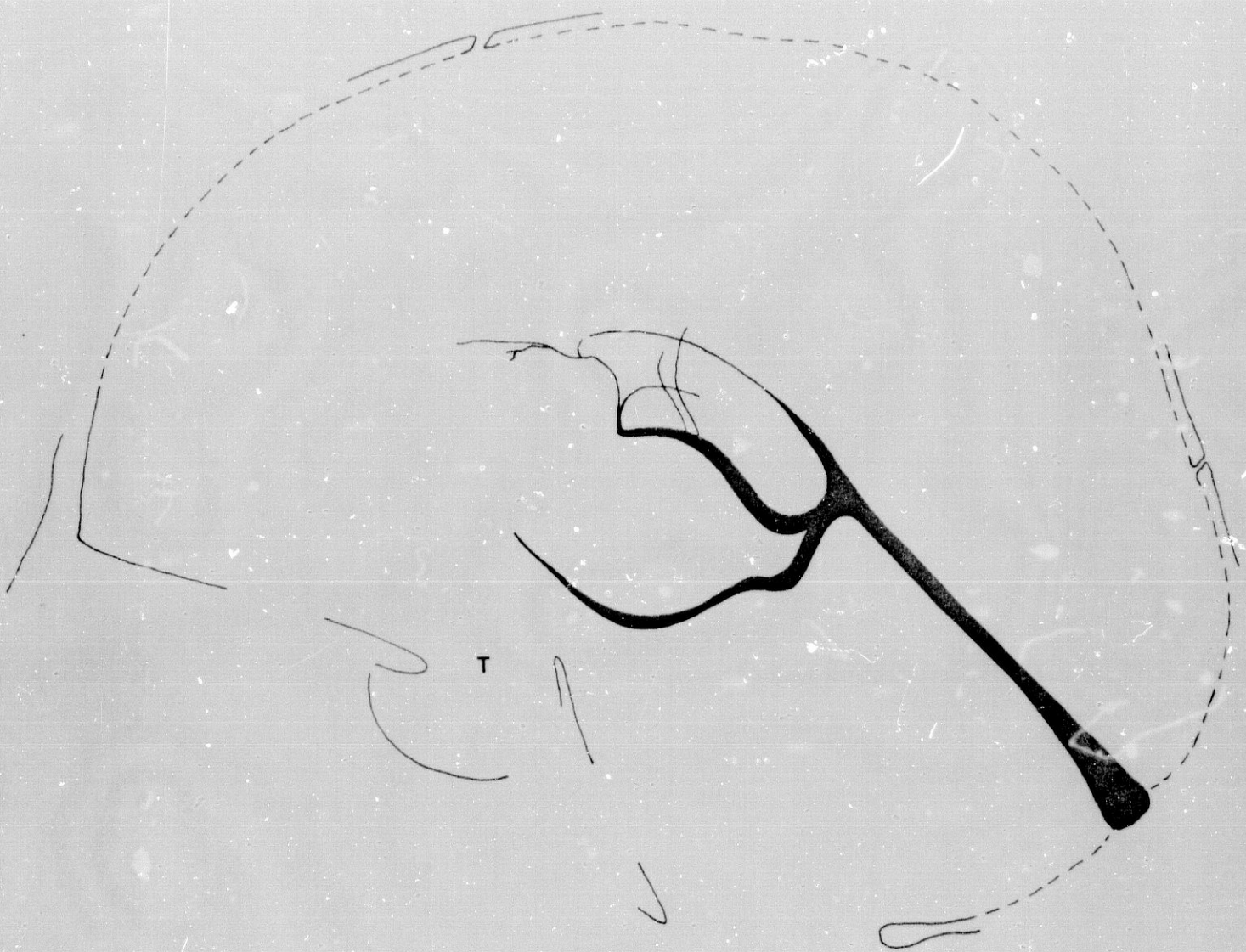


FIG. 192

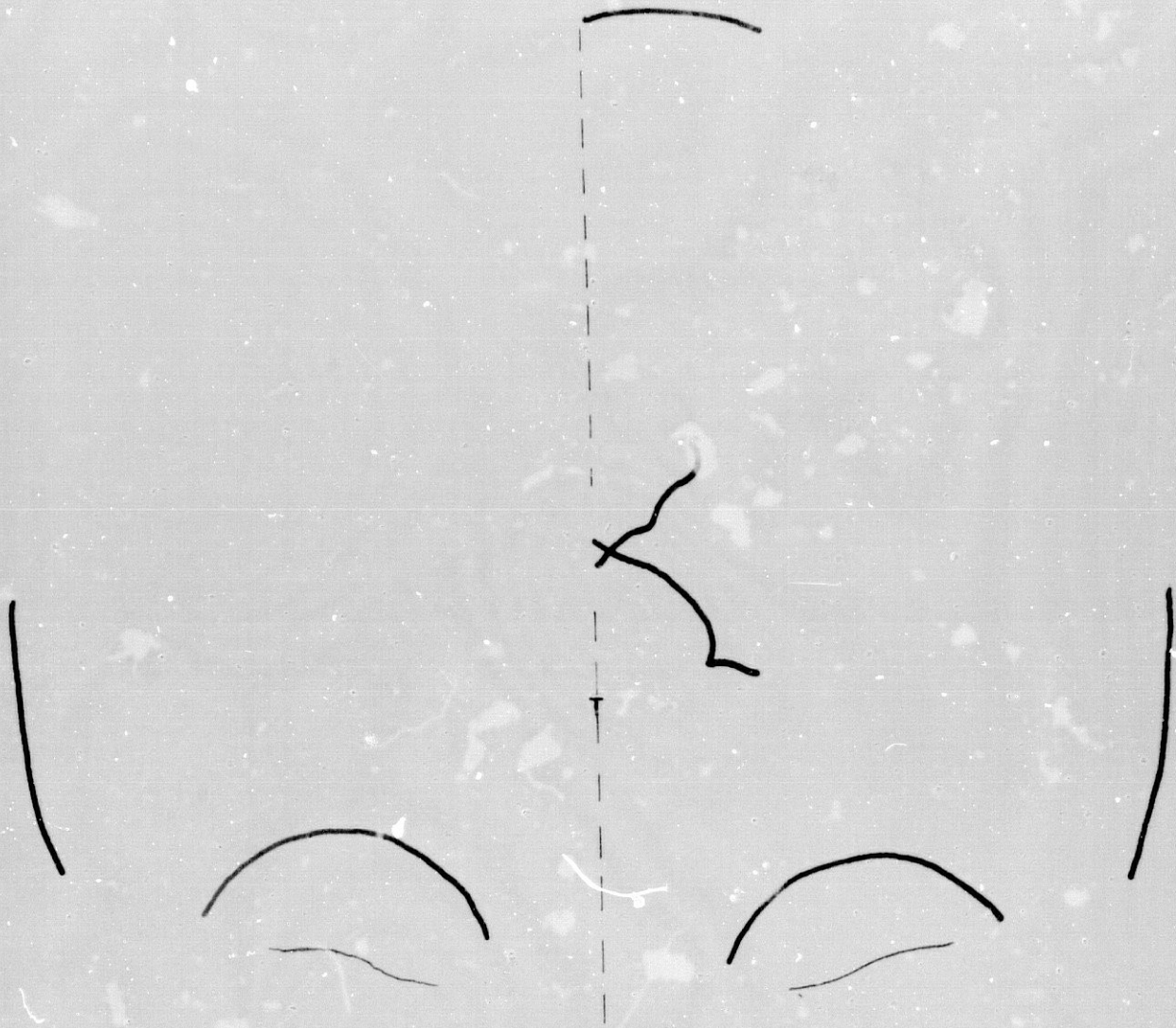


FIG 193

S E R I E: Patológica

- Masa infraaxial media parasagital

- (Selar)

Caso nº P-19 (H-185)

Reseña personal: L.M.R. Varón. 51 años.

Reseña clínica: Craneofaringioma quístico.

.....

FLEBOGRAMA LATERAL

Parámetros del ángulo venoso

- Método de Laine.....:	H: 15;	V: 26,8	
- Método de Fischer.....:	H: 0;	V: 10	
- Bisectriz de Fischer.....:	B: 18,5º;	M: 20º;	D: 1,5º
- Método de Newton.....:	V: 5;	H: 7	
Ang. Tubérculo-Inion-Monro.:	20º		
Ang. Monro-Inion-Bregma....:	17º		
Ang. Tubérculo-Lambda-Monro:	14,5º		
Ang. Monro-Glabela-Bregma...:	37,8º		
Ang. Monro-Bregma-Tubérculo:	17,2º		
Ang. Monro-Tubérculo-Inion.:	68º		
Ang. Apex-Tubérculo-Monro...:	40º		
Ang. Monro-Apex-Bregma.....:	36º		
Lín. fleboaxial-Monro.....:	10		

FLEBOGRAMA LATERAL

Parámetros de la v. cerebral interna

- Método de Potts y Taveras: A-B: 44; b: 6; c: 1; d: 0,8
- Método de Shah-Kendall...: A: 36,6; B: 37,9; C: 24,6
- Método de Babin y cols...: c: 55°; b: 42°
- Cociente de giro sagital.: 63
- Arco venoso profundo.....: 3

Proyecciones de la v. basal

- Eje incisural-vena basal.: A: -; B: 9,5; C: 5; D: -

FLEBOGRAMA FRONTAL

- Angulo venoso-Línea media.: 2
- Talamoestriada-Línea media: 23

Referencias angiográficas complementarias

- Arteriograma frontal: ligero desplazamiento superior de la porción horizontal de la arteria cerebral anterior; y desplazamiento lateral de la porción supraclinoidea de la arteria carótida interna.
- Arteriograma lateral: proliferación vascular que se proyecta en el área selar. Leve desplazamiento superoposterior del primer segmento ascendente de la arteria cerebral anterior.



FIG. 194

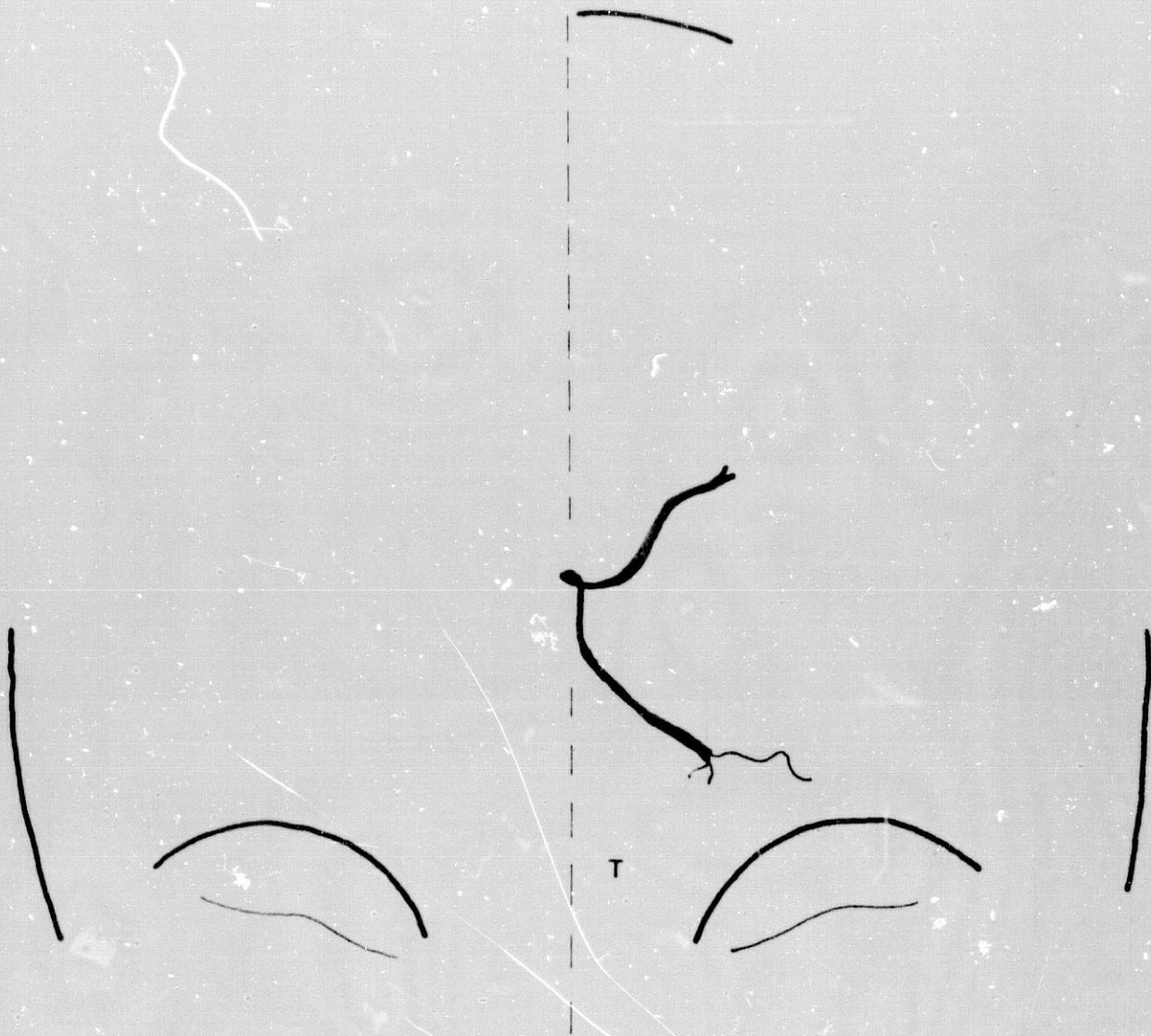


FIG. 195

S E R I E: Patológica

- Masa infraaxial media parasagital
- (Selar)

Caso nº P-20(H-194)

Reseña personal: MC.L.V. Varón. 22 años.

Reseña clínica: Craneofaringioma de predominio izquierdo.

.....

FLEBOGRAMA LATERAL

Parámetros del ángulo venoso

- Método de Laine.....:	H: 16;	V: 28	
- Método de Fischer.....:	H: -2;	V: 8	
- Bisectriz de Fischer.....:	B: 20°;	M: 24°;	D: 4°
- Método de Newton.....:	V: 7;	H: 1;	
Ang. Tubérculo-Inion-Monro.:	24°		
Ang. Monro-Inion-Bregma....:	16°		
Ang. Tubérculo-Lambda-Monro:	17°		
Ang. Monro-Glabela-Bregma...:	38,5°		
Ang. Monro-Bregma-Tubérculo:	19°		
Ang. Monro-Tubérculo-Inion.:	69,5°		
Ang. Apex-Tubérculo-Monro...:	38,5°		
Ang. Monro-Apex-Bregma.....:	35°		
Lín. fleboaxial-Monro.....:	12,8		

FLEBOGRAMA LATERAL

Parámetros de la v. cerebral interna

- Método de Potts y Taveras: A-B: 40; b: 6; c: 2; d: 0,2
- Método de Shah-Kendall...: A: 40,5; B: 41; C: 24
- Método de Babin y cols...: c: 58,5°; b: 45°
- Cociente de giro sagital.: 54
- Arco venoso profundo.....: 9,5

Proyecciones de la v. basal

Eje incisural-vena basal.: Inviabile (la v. basal no es anastomótica)

FLEBOGRAMA FRONTAL

- Angulo venoso-Línea media.: 0
- Talamoestriada-Línea media: 12,5

Referencias angiográficas complementarias

- Arteriograma frontal: ligera desviación lateral de la porción horizontal de la arteria cerebral anterior. Elevación del tramo horizontal de la arteria cerebral media.
- Arteriograma lateral: algunos vasos originados en las arterias coroidea anterior, cerebral media y oftálmica delimitan una masa tumoral preselar por delante de una gran silla turca. Apertura del sifón carotídeo y rectificación acusada de la arteria carótida interna. Despliegue de la arteria pericallosa y ligera elevación del triángulo silviano (signos ambos de dilatación ventricular).



FIG. 196

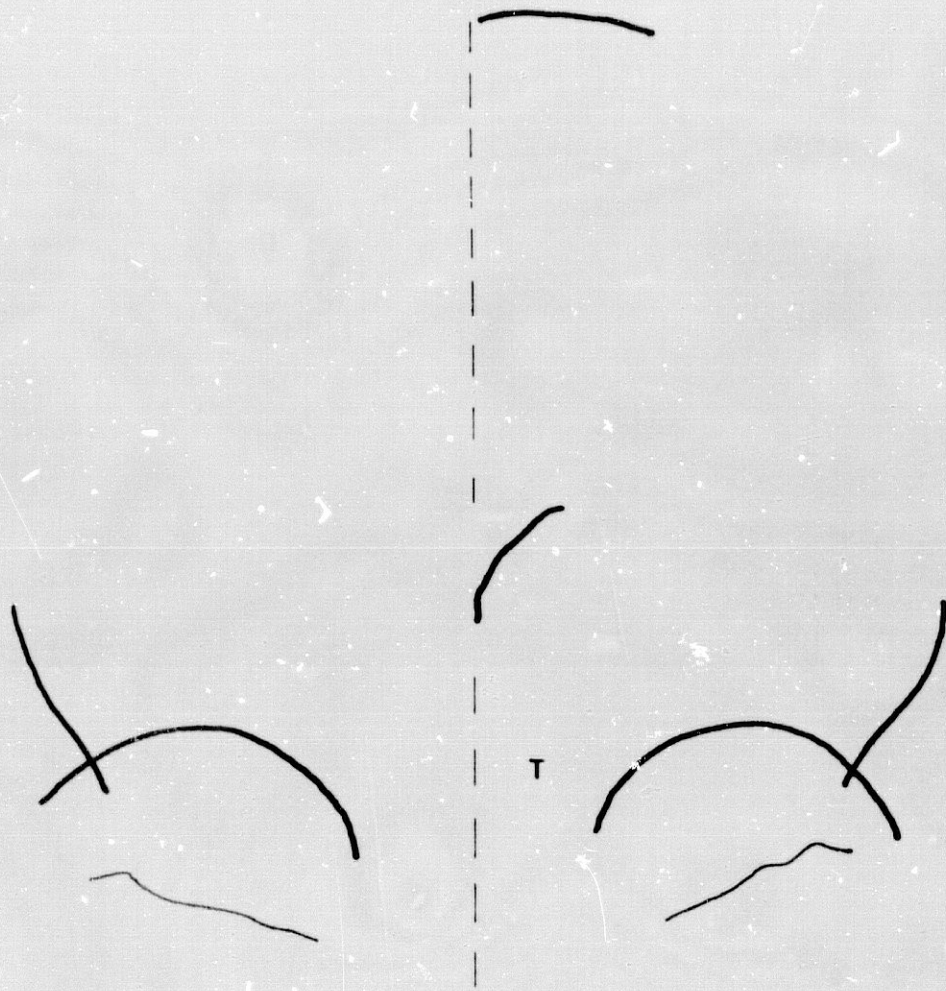


FIG. 197

S E R I E: Patológica

- Masa infraaxial media parasagital
- (Paraselar)

Caso nº P-21(H-224)

Reseña personal: N.B.C. Varón. 48 años.

Reseña clínica: Adenoma cromóforo

.....

FLEBOGRAMA LATERAL
=====

Parámetros del ángulo venoso

- Método de Laine.....:	H: 10;	V: 30	
- Método de Fischer.....:	H: -5,5;	V: 15	
- Bisectriz de Fischer.....:	B: 18°;	M: 20°;	D: 2°
- Método de Newton.....:	V: 17,5;	H: 14	
Ang. Tubérculo-Inion-Monro.:	20°		
Ang. Monro-Inion-Bregma.....:	16°		
Ang. Tubérculo-Lambda-Monro:	16°		
Ang. Monro-Glabela-Bregma...:	34,5°		
Ang. Monro-Bregma-Tubérculo:	13°		
Ang. Monro-Tubérculo-Inion.:	76,5°		
Ang. Apex-Tubérculo-Monro...:	43,5°		
Ang. Monro-Apex-Bregma.....:	38°		
Lín. fleboaxial-Monro.....:	10,5		

FLEBOGRAMA LATERAL

Parámetros de la v. cerebral interna

- Método de Potts y Taveras: A-B: 49; b: 6,3; c: 0; d: -0,5
- Método de Shah-Kendall...: A: 36,9; B: 40,2; C: 27,3
- Método de Babin y cols...: c: 57º; b: 33º
- Cociente de giro sagital.: 81
- Arco venoso profundo.....: 9

Proyecciones de la v. basal

- Eje incisural-vena basal.: A: -; B: 4; C: -5; D: -10

FLEBOGRAMA FRONTAL

- Angulo venoso-Línea media.: -7
- Talamoestriada-Línea media: 24

Referencias angiográficas complementarias

- Arteriograma frontal: desviación lateral de la carótida supraclinoidea. Elevación de la porción horizontal de la arteria cerebral anterior.
- Arteriograma lateral: apertura del sifón carotídeo. Desplazamiento superior de la arteria pericallosa a nivel de la rodilla del cuerpo calloso. Rechazo anterior de los vasos silvianos iniciales y del borde inferior del triángulo silviano.

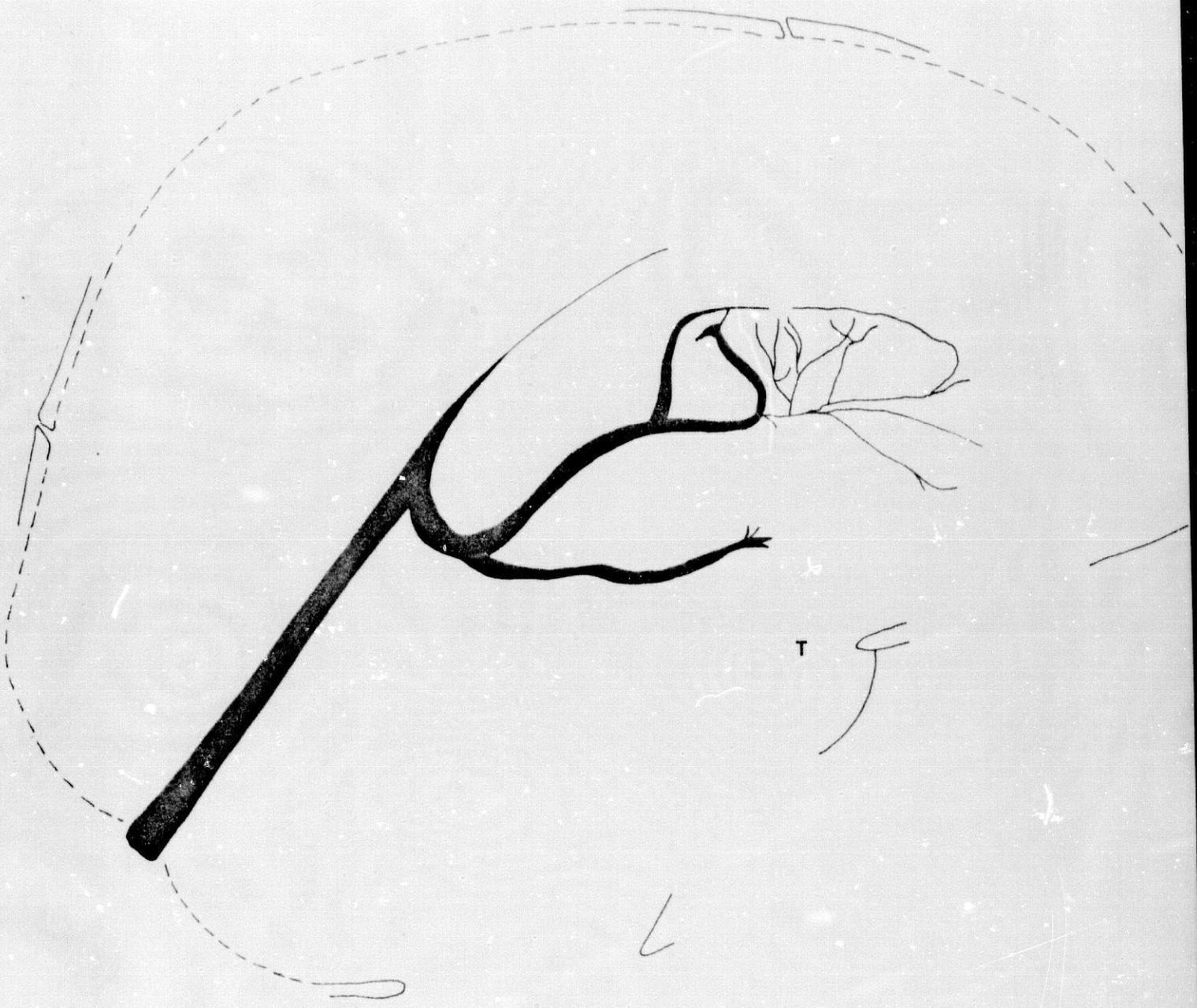


FIG. 198



FIG. 199

S E R I E: Patológica

- Masa infraaxial media parasagital
- (Paraselar)

Caso nº P-22 (H-244)

Reseña personal: S.V.P. Varón. 47 años.

Reseña clínica: Aneurisma gigante de la carótida interna en el seno cavernoso derecho.

.....

FLEBOGRAMA LATERAL
=====

Parámetros del ángulo venoso

- Método de Laine.....:	H: 10;	V: 21
- Método de Fischer.....:	H: -1,8;	V: 12
- Bisectriz de Fischer.....:	B: 17,2º;	M: 19,5º; D: 2,3º
- Método de Newton.....:	V: 1,5;	H: 4,5
Ang. Tubérculo-Inion-Monro.:	19,5º	
Ang. Monro-Inion-Bregma.....:	15º	
Ang. Tubérculo-Lambda-Monro:	14º	
Ang. Monro-Glabela-Bregma..:	41º	
Ang. Monro-Bregma-Tubérculo:	17º	
Ang. Monro-Tubérculo-Inion.:	74º	
Ang. Apex-Tubérculo-Monro...:	37º	
Ang. Monro-Apex-Bregma.....:	39,5º	
Lín. fleboaxial-Monro.....:	4,8	

FLEBOGRAMA LATERAL

Parámetros de la v. cerebral interna

- Método de Potts y Taveras: A-B: 42; b: 4,8; c: 0; d:-0,8
- Método de Shah-Kendall...: A: 33,2; B: 37; C: 30,6;
- Método de Babin y cols...: c: 43º; b: 46,5º
- Cociente de giro sagital.: 95
- Arco venoso profundo.....: 3

Proyecciones de la v. basal

- Eje incisural-vena basal.: A:-; B: -; C: -9,5; D: -

FLEBOGRAMA FRONTAL

- Angulo venoso-Línea media.: -1,5
- Talamoestriada-Línea media: 21

Referencias angiográficas complementarias

- Arteriograma frontal: se especifica claramente un aneurisma sacular gigante de la porción intracavernosa de la carótida interna, con extensión hacia arriba y atrás que comprime el tronco carotídeo supratinoideo.
- Arteriograma lateral: se visualiza la misma imagen.

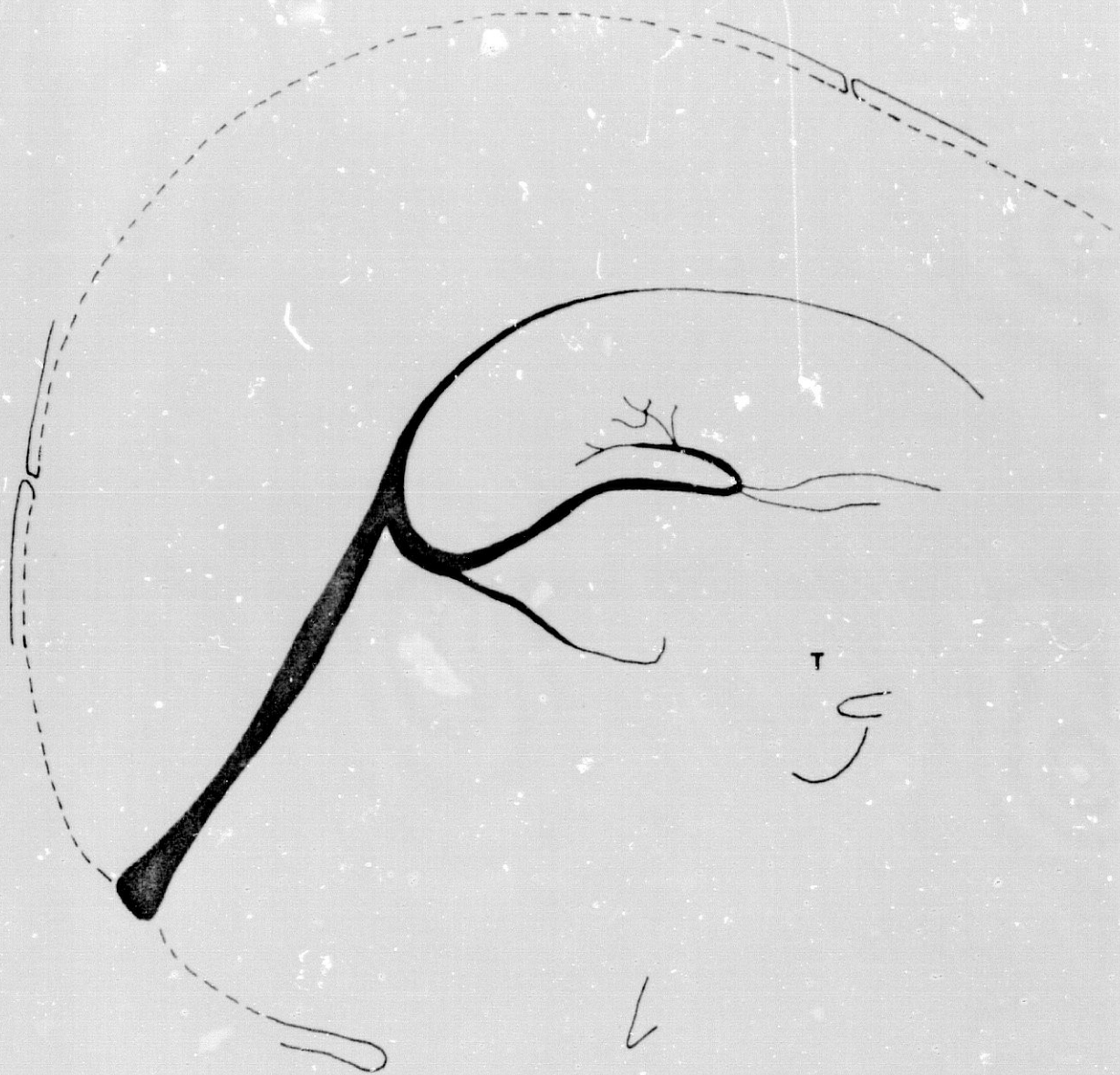


FIG. 200

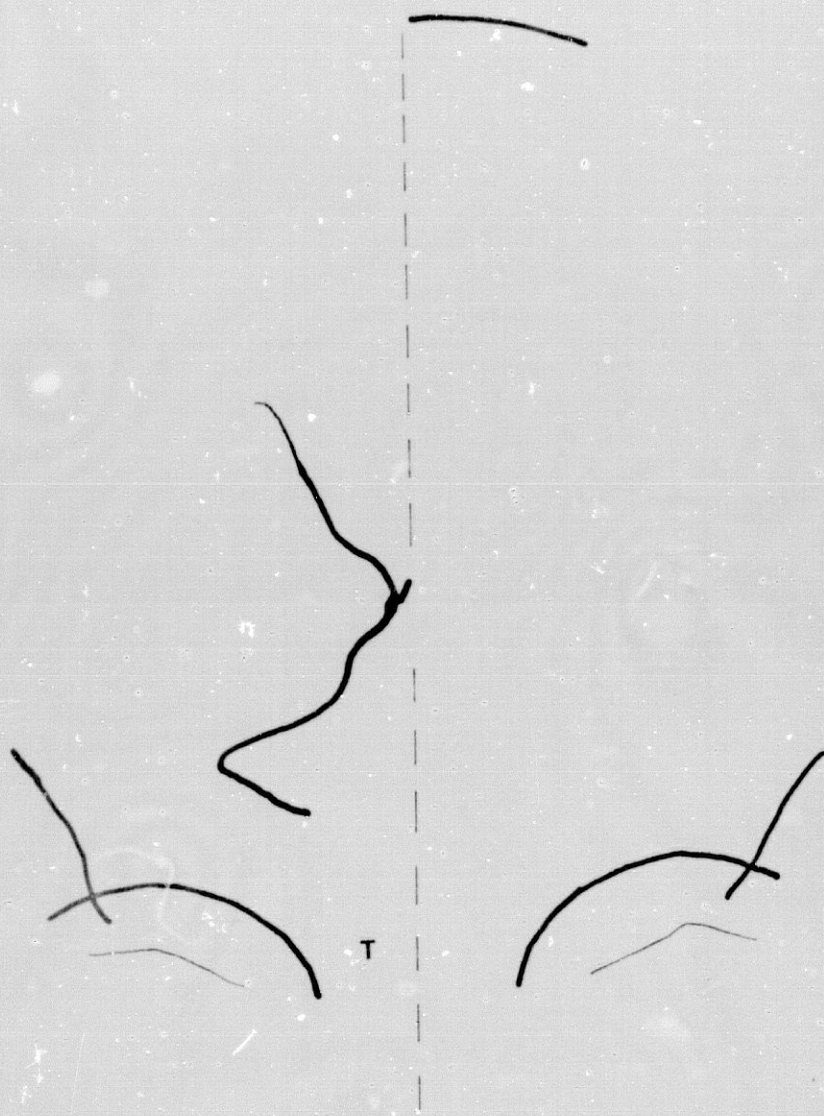


FIG. 201

Tumores infraaxiales medios laterales

S E R I E: Patológica

- Masa infraaxial media lateral
- (Infrasilviana)

Caso nº P-23 (H-2)

Reseña personal: A.D.D. Mujer. 54 años.

Reseña clínica: Astrocitoma temporal izquierdo.

.....

FLEBOGRAMA LATERAL
=====

Parámetros del ángulo venoso

- Método de Laine.....	H: 16;	V: 26
- Método de Fischer.....	H: -10;	V: 10
- Bisectriz de Fischer.....	B: 19,7º;	M: 27º; D: 7,3º
- Método de Newton.....	V: 11;	H: 1
Ang. Tubérculo-Inion-Monro.:	27º	
Ang. Monro-Inion-Bregma....:	12,5º	
Ang. Tubérculo-Lambda-Monro:	18º	
Ang. Monro-Glabela-Bregma..:	39º	
Ang. Monro-Bregma-Tubérculo:	23º	
Ang. Monro-Tubérculo-Inion.:	69º	
Ang. Apex-Tubérculo-Monro...:	33,5º	
Ang. Monro-Apex-Bregma.....:	33º	
Lín. fleboaxial-Monro.....:	10	

FLEBOGRAMA LATERAL

Parámetros de la v. cerebral interna

- Método de Potts y Taveras: A-B: 34; b: 7; c: 0,2; d: -1
- Método de Shah-Kendall...: A: 43,1; B: 46,1; C: 31
- Método de Babin y cols...: c: 69°; b: 50°
- Cociente de giro sagital.: 51
- Arco venoso profundo.....: 7

Proyecciones de la v. basal

- Eje incisural-vena basal.: A: 8,5; B: -2; C: -8,5; D: -6

FLEBOGRAMA FRONTAL

- Angulo venoso-Línea media.: 10,5
- Talamoestriada-Línea media: 17

Referencias angiográficas complementarias

- Arteriograma frontal: desviación redonda de la arteria cerebral anterior. Elevación y desplazamiento medial del tramo horizontal de la cerebral media. Desplazamiento medial de las arterias coroidea anterior y lenticuloestriadas.
- Arteriograma lateral: gran elevación del borde inferior del triángulo silviano con desplazamiento anterior. Acusado estiramiento de la arteria coroidea anterior.

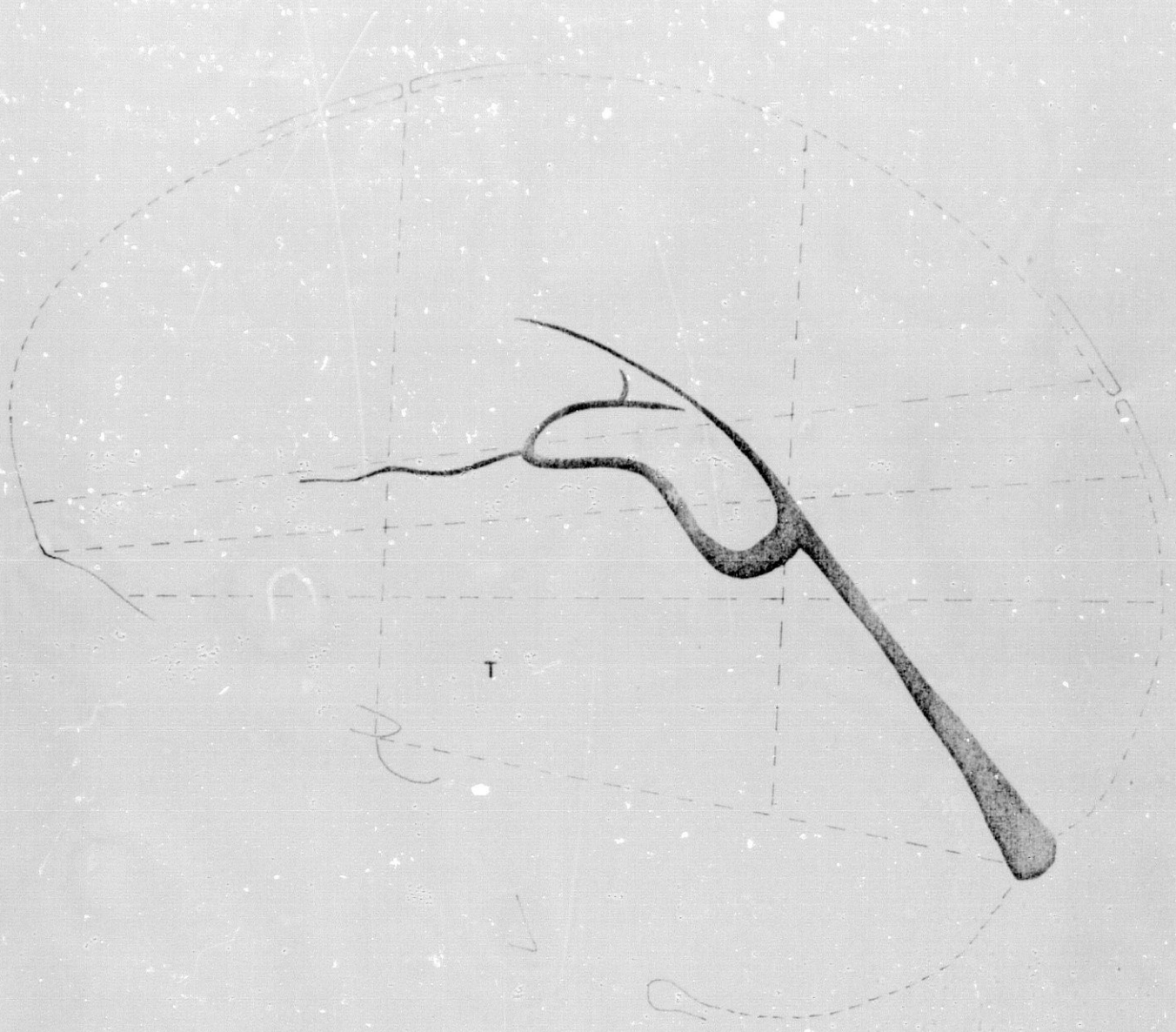


FIG. 204

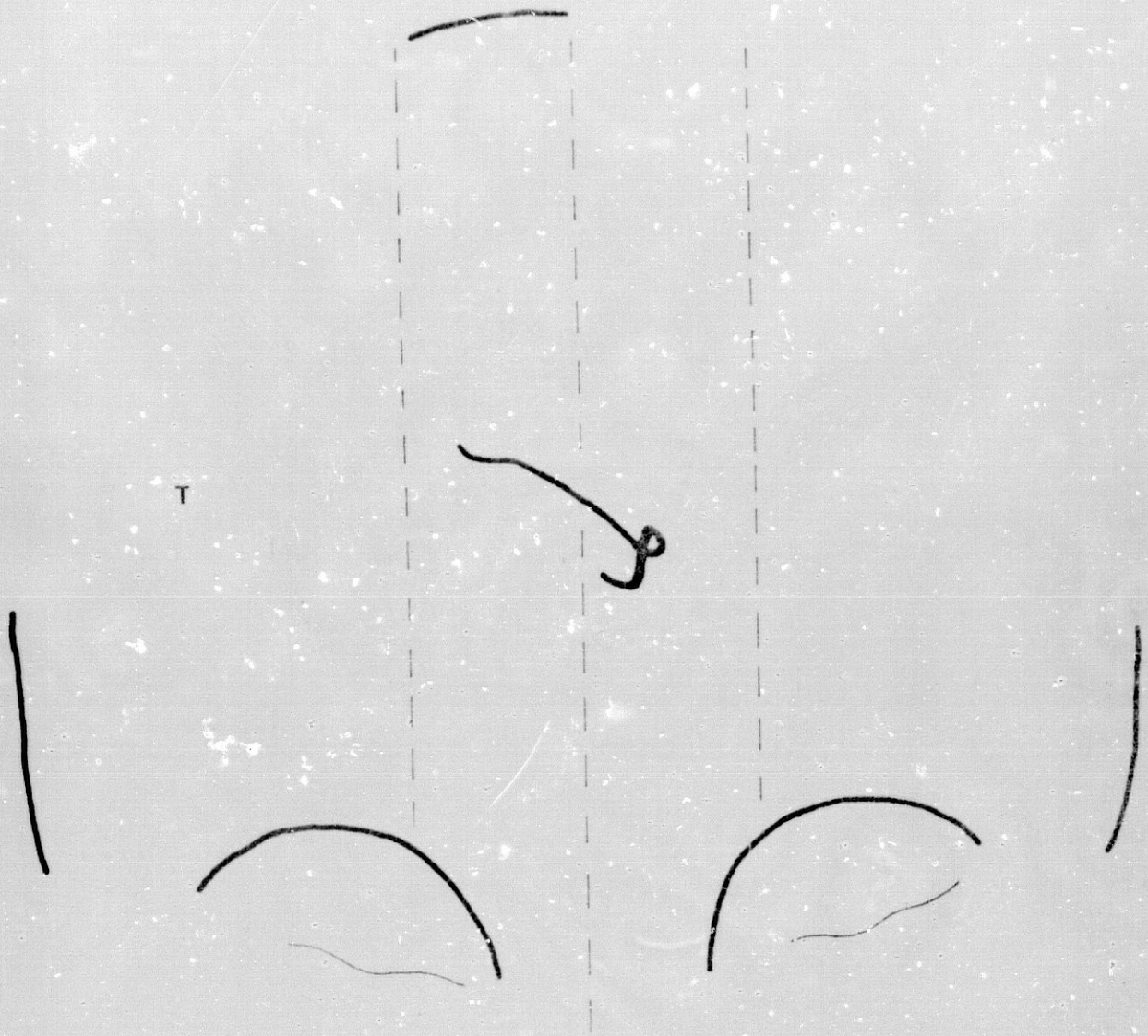


FIG. 205

S E R I E: Patológica

- Masa infraaxial media lateral

- (Infrasilviana)

Caso nº P-24(II-4)

Reseña personal: A.B.C. Varón. 55 años.

Reseña clínica: Tumor temporal izquierdo. El paciente no fue intervenido: no se pudo determinar la naturaleza exacta del tumor.

.....

FLEBOGRAMA LATERAL

Parámetros del ángulo venoso

- Método de Laine.....: H: 11; V: 26
- Método de Fischer.....: H: 4; V: 11
- Bisectriz de Fischer.....: B: 21,2º; M: 23,5º; D: 2,3º
- Método de Newton.....: V: 8,5; H: 10
- Ang. Tubérculo-Inion-Monro.: 23,5º
- Ang. Monro-Inion-Bregma.....: 19º
- Ang. Tubérculo-Lambda-Monro: 17º
- Ang. Monro-Glabela-Bregma...: 37º
- Ang. Monro-Bregma-Tubérculo: 11º
- Ang. Monro-Tubérculo-Inion.: 71º
- Ang. Apex-Tubérculo-Monro...: 30,5º
- Ang. Monro-Apex-Bregma.....: 48,5º
- Lín. fleboaxial-Monro.....: 4

S E R I E: Patológica

- Masa infraaxial media lateral

- (Infrasilviana)

Caso nº P-24(II-4)

Reseña personal: A.B.C. Varón. 55 años.

Reseña clínica: Tumor temporal izquierdo. El paciente no fue intervenido: no se pudo determinar la naturaleza exacta del tumor.

.....

FLEBOGRAMA LATERAL

Parámetros del ángulo venoso

- Método de Laine.....	H: 11;	V: 26
- Método de Fischer.....	H: 4;	V: 11
- Bisectriz de Fischer.....	B: 21,2º;	M: 23,5º; D: 2,3º
- Método de Newton.....	V: 8,5;	H: 10
Ang. Tubérculo-Inion-Monro.:	23,5º	
Ang. Monro-Inion-Bregma.....	19º	
Ang. Tubérculo-Lambda-Monro:	17º	
Ang. Monro-Glabela-Bregma..:	37º	
Ang. Monro-Bregma-Tubérculo:	11º	
Ang. Monro-Tubérculo-Inion.:	71º	
Ang. Apex-Tubérculo-Monro..:	30,5º	
Ang. Monro-Apex-Bregma.....	48,5º	
Lín. fleboaxial-Monro.....	4	

FLEBOGRAMA LATERAL

Parámetros de la v. cerebral interna

- Método de Potts y Taveras: A-B: 34; b: 3,2; c: 0,2; d: -0,2
- Método de Shah-Kendall...: A: 40,5; B: 38,9; C: 30,3
- Método de Babin y cols...: c: 59º; b: 47º
- Cociente de giro sagital.: 74
- Arco venoso profundo.....: 12

Proyecciones de la v. basal

- Eje incisural-vena basal.: A: 15; B: 3; C: -13,5; D: -10

FLEBOGRAMA FRONTAL

- Angulo venoso-Línea media.: -
- Talamoestriada-Línea media: -

Referencias angiográficas complementarias

- No se computan, por dudosos, los datos del flebograma frontal.
- Arteriograma frontal: desviación distal acusada de la arteria cerebral anterior. Elevación y desplazamiento medial de la arteria coroidea anterior y del segmento horizontal de la cerebral media.
- Arteriograma lateral: gran estiramiento elevación y adelantamiento de la arteria coroidea anterior. Gran elevación y adelantamiento de todos los vasos del grupo silviano.

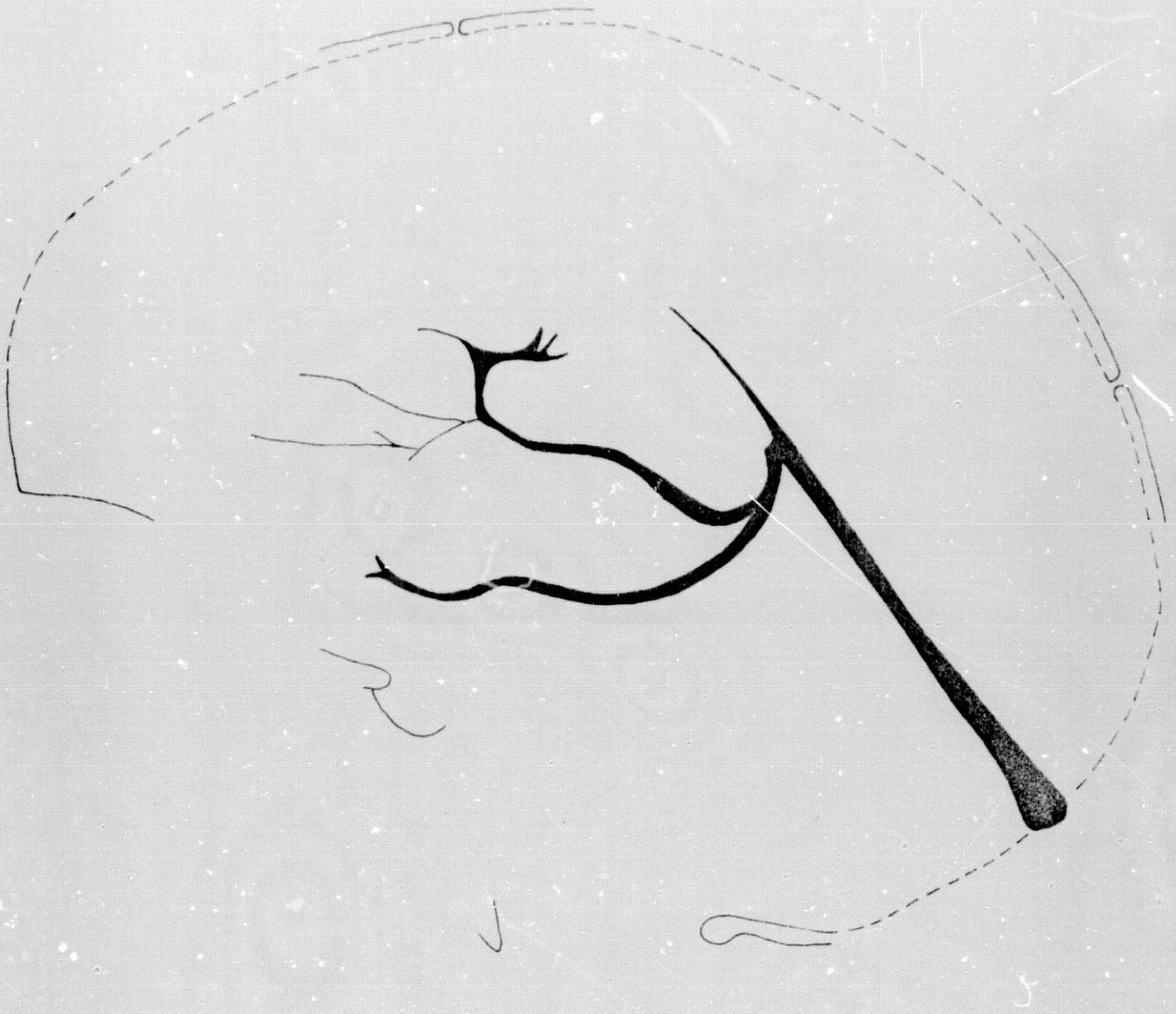


FIG. 206

S E R I E: Patológica

- Masa infraaxial media lateral
- (Infrasilviana anterior)

Caso nº P-25 (H-58)

Reseña personal: C.L.A. Mujer. 56 años.

Reseña clínica: Astrocitoma fibrilar temporal derecho.



FLEBOGRAMA LATERAL
=====

Parámetros del ángulo venoso

- Método de Laine.....:	H: 18;	V: 21	
- Método de Fischer.....:	H: 0;	V: 5,5	
- Bisectriz de Fischer.....:	B: 19,2º;	M: 21º	D: 1,8º
- Método de Newton.....:	V: 3;	H: -2	
Ang. Tubérculo-Inion-Monro.:	21º		
Ang. Monro-Inion-Bregma.....:	17,5º		
Ang. Tubérculo-Lambda-Monro:	13,5º		
Ang. Monro-Glabela-Bregma...:	40,5º		
Ang. Monro-Bregma-Tubérculo:	17,5º		
Ang. Monro-Tubérculo-Inion.:	59º		
Ang. Apex-Tubérculo-Monro...:	27º		
Ang. Monro-Apex-Bregma.....:	43º		
Lín. fleboaxial-Monro.....:	7		

FLEBOGRAMA LATERAL

Parámetros de la v. cerebral interna

- Método de Potts y Taveras:	A-B: 33;	b: 7,2;	c: 1;	d: 0
- Método de Shah-Kendall....:	A: 35,5;	B: 39;	C: 24,8	
- Método de Babin y cols....:	c: 62°;	b: 43°		
Cociente de giro sagital.:	60			
Arco venoso profundo.....:	5			

Proyecciones de la v. basal

Eje incisural-vena basal.:	A: 11,5;	B: -9;	C: -11;	D: -
----------------------------	----------	--------	---------	------

FLEBOGRAMA FRONTAL

- Angulo venoso-Línea media.:	6
- Talamoestriada-Línea media:	7

Referencias angiográficas complementarias

- Arteriograma frontal: desviación proximal de la arteria cerebral anterior.
- Arteriograma lateral: opacificación prematura (en fase arterial) de una gruesa vena basal de Rosenthal desde su porción anterior.



FIG. 207

S E R I E: Patológica

- Masa infraaxial media lateral

- (Infrasilviana)

Caso nº P-26 (H-94)

Reseña personal: F.A.J. Varón. 51 años.

Reseña clínica: Meningioma temporal izquierdo.

.....

FLEBOGRAMA LATERAL

Parámetros del ángulo venoso

- Método de Laine.....:	H: 14;	V: 23	
- Método de Fischer.....:	H: -3;	V: 6	
- Bisectriz de Fischer.....:	B: 17,7;	M: 20°;	D: 2,3°
- Método de Newton.....:	V: 6;	H: 9	
Ang. Tubérculo-Inion-Monro.:	20°		
Ang. Monro-Inion-Bregma.....:	15,5°		
Ang. Tubérculo-Lambda-Monro:	13,7°		
Ang. Monro-Glabela-Bregma...:	38,7°		
Ang. Monro-Bregma-Tubérculo:	18°		
Ang. Monro-Tubérculo-Inion.:	69°		
Ang. Apex-Tubérculo-Monro...:	35°		
Ang. Monro-Apex-Bregma.....:	39,5°		
Lín. fleboaxial-Monro.....:	8		

FLEBOGRAMA LATERAL

Parámetros de la v. cerebral interna

- Método de Potts y Taveras: A-B: 35; b: 3; c: 0; d: 1,5
- Método de Shan-Kendall...: A: 37,2; B: 37,2; C: 31,1
- Método de Babin y cols...: c: 53°; b: 47°
- Cociente de giro sagital.: 61
- Arco venoso profundo.....: 7

Proyecciones de la v. basal

- Eje incisural-vena basal.: A: -; B: -10; C: -13,5; D: -11

FLEBOGRAMA FRONTAL

- Angulo venoso-Línea media.: -
- Talamoestriada-Línea media: -

Referencias angiográficas complementarias

- No se computan, por dudosos, los datos del flebograma frontal.
- Arteriograma frontal: desviación distal y proximal de la arteria cerebral anterior. Gran desplazamiento medial y elevación de todos los vasos silvianos.
- Arteriograma lateral: elevación de la arteria coroidea anterior. Gran elevación y desplazamiento anterior de los vasos silvianos. Signos de herniación transesfenoidal ascendente.



FIG. 208

S E R I E: Patológica

- Masa infraaxial media lateral

- (Infrasilviana anterior)

Caso nº P-27 (H-95)

Reseña personal: F.C.M. Varón. 39 años.

Reseña clínica: Oligodendroglioma temporal derecho.

.....

FLEBOGRAMA LATERAL

Parámetros del ángulo venoso

- Método de Laine.....:	H: 21,5;	V: 25
- Método de Fischer.....:	H: -8;	V: 10,5
- Bisectriz de Fischer.....:	B: 19,7º;	M: 24,5º; D: 4,8º
- Método de Newton.....:	V: 2;	H: 7
Ang. Tubérculo-Inion-Monro.:	24,5º	
Ang. Monro-Inion-Bregma.....:	15º	
Ang. Tubérculo-Lambda-Monro:	14º	
Ang. Monro-Glabela-Bregma..:	44,5º	
Ang. Monro-Bregma-Tubérculo:	22º	
Ang. Monro-Tubérculo-Inion.:	63,5º	
Ang. Apex-Tubérculo-Monro..:	31º	
Ang. Monro-Apex-Bregma.....:	39º	
Lín. fleboaxial-Monro.....:	2	

FLEBOGRAMA LATERAL

Parámetros de la v. cerebral interna

- Método de Potts y Taveras: A-B: 38; b: 3; c: 0,2; d: -0,2
- Método de Shah-Kendall...: A: 38,7; B: 40,5; C: 30
- Método de Babin y cols...: c: 57°; b: 44°
- Cociente de giro sagital.: 55
- Arco venoso profundo.....: 11

Proyecciones de la v. basal

- Eje incisural-vena basal.: A: -; B: 17; C: 5; D: -6,5

FLEBOGRAMA FRONTAL

- Angulo venoso-Línea media.: 11,5
- Talamoestriada-Línea media: 7

Referencias angiográficas complementarias

- Arteriograma frontal: gran desplazamiento medial de la porción horizontal de la arteria cerebral media y de las ramas insulares.
- Arteriograma lateral: considerable elevación y adelantamiento de los vasos silvianos.

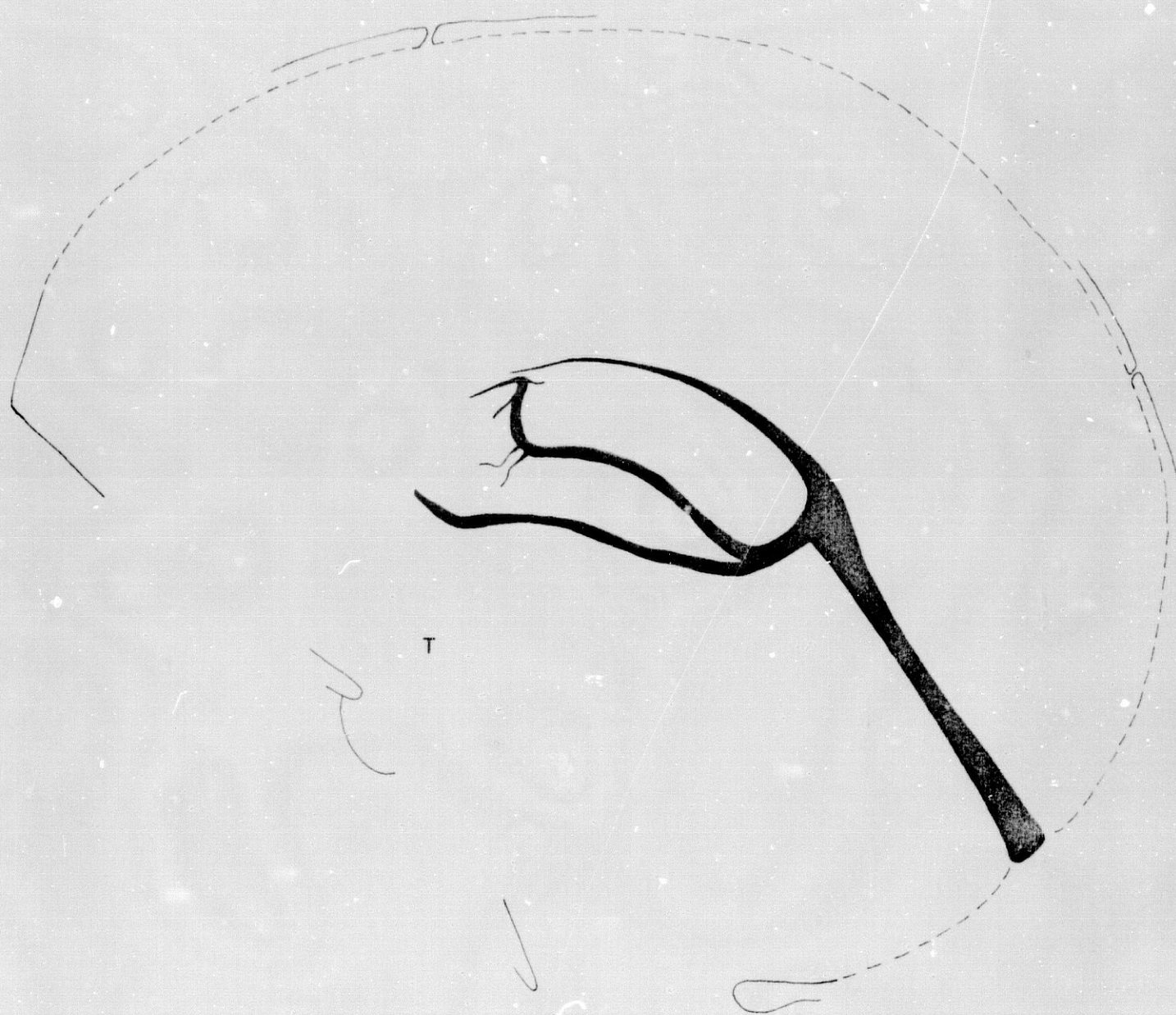


FIG. 209



FIG. 210

S E R I E: Patológica

- Masa infraaxial media lateral
- (Infrasilviana media)

Caso nº P-28 (H-115)

Reseña personal: H.P.S. Varón. 49 años.

Reseña clínica: Oligodendroglioma frontotemporal izquierdo.

.....

FLEBOGRAMA LATERAL

Parámetros del ángulo venoso

- Método de Laine.....:	H: 27;	V: 21
- Método de Fischer.....:	H: -17;	V: 2,5
- Bisectriz de Fischer.....:	B: 19º;	M: 23,7º; D: 4,7º
- Método de Newton.....:	V: 5;	H: -8,5
Ang. Tubérculo-Inion-Monro..:	23,7º	
Ang. Monro-Inion-Bregma.....:	14,3º	
Ang. Tubérculo-Lambda-Monro:	14,5º	
Ang. Monro-Glabela-Bregma...:	42,5º	
Ang. Monro-Bregma-Tubérculo:	27,5º	
Ang. Monro-Tubérculo-Inion..:	50,5º	
Ang. Apex-Tubérculo-Monro...:	21,5º	
Ang. Monro-Apex-Bregma.....:	37º	
Lín. fleboaxial-Monro.....:	4,5	

FLEBOGRAMA LATERAL

Parámetros de la v. cerebral interna

- Método de Potts y Taveras: Inviabile (rectificación total de la v.c.i.)
- Método de Shah-Kendall....: A: 37,9; B: 37; C: 32,8
- Método de Babin y cols....: c: 50º; b: 37,5º
- Cociente de giro sagital.: 82
- Arco venoso profundo.....: 2,5

Proyecciones de la v. basal

Eje incisural-vena basal.: A: 18; B: 13; C: -7; D: -9

FLEBOGRAMA FRONTAL

- Angulo venoso-Línea media.: 15
- Talamoestriada-Línea media: 8

Referencias angiográficas complementarias

- Arteriograma frontal: desviación distal y proximal de la arteria cerebral anterior. Gran desplazamiento medial de la arteria coroidea anterior. _
Apreciable elevación de los vasos silvianos.
- Arteriograma lateral: gran elevación de la arteria coroidea anterior. Con
siderable elevación y adelantamiento de la totalidad del triángulo silvia
no.



FIG. 211

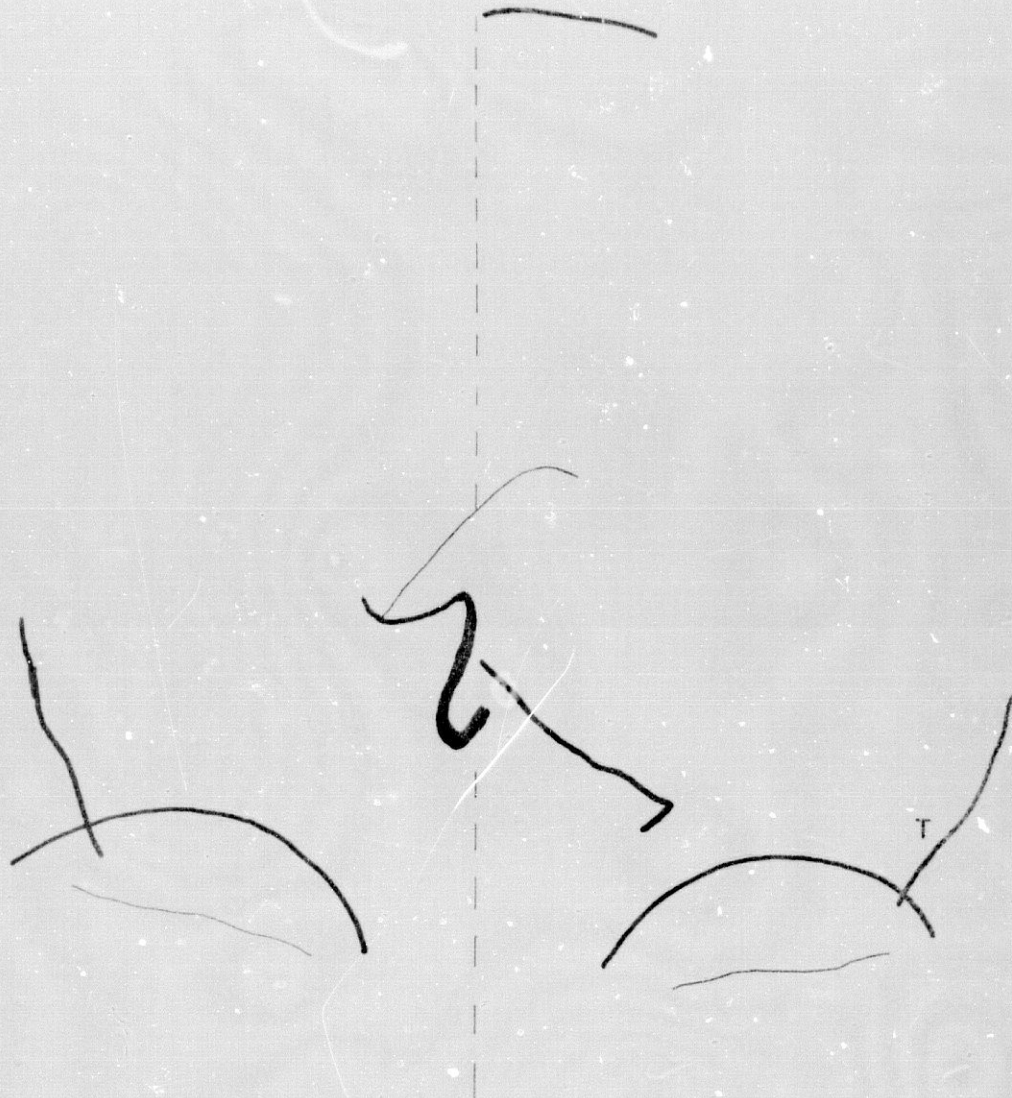


FIG. 212

S E R I E: Patológica

- Masa infraaxial media lateral

- (Infrasilviana posterior)

Caso nº P-29 (H-139)

Reseña personal: JF.M.M. Mujer. 56 años.

Reseña clínica: Glioblastoma temporoparietal izquierdo

.....

FLEBOGRAMA LATERAL

Parámetros del ángulo venoso

- Método de Laine.....:	H: 12;	V: 23
- Método de Fischer.....:	H: 5;	V: 2
- Bisectriz de Fischer.....:	B: 20°;	M: 18,5°; D: -1,5°
- Método de Newton.....:	V: 0;	H: 7,5
Ang. Tubérculo-Inion-Monro.:	18,5°	
Ang. Monro-Inion-Bregma....:	21,5°	
Ang. Tubérculo-Lambda-Monro:	14°	
Ang. Monro-Glabela-Bregma..:	41,5°	
Ang. Monro-Bregma-Tubérculo:	9°	
Ang. Monro-Tubérculo-Inion.:	71,5°	
Ang. Apex-Tubérculo-Monro..:	42,5°	
Ang. Monro-Apex-Bregma.....:	48°	
Lín. fleboaxial-Monro.....:	8	

FLEBOGRAMA LATERAL

Parámetros de la v. cerebral interna

- Método de Potts y Taveras: A-B: 37; b: 7; c: 1,2; d: 0,2
- Método de Shah-Kendall...: A: 33,7; B: 37,7; C: 25,5
- Método de Babin y cols...: c: 61°; b: 49°
- Cociente de giro sagital.: 88
- Arco venoso profundo.....: 12

Proyecciones de la v. basal

Eje incisural-vena basal.: A: 6; B: -0,5; C: -18,5; D: -7,5

FLEBOGRAMA FRONTAL

- Angulo venoso-Línea media.: 9,5
- Talamoestriada-Línea media: 8

Referencias angiográficas complementarias

- Arteriograma frontal: desviación proximal de la arteria cerebral anterior. Desplazamiento medial de las arterias lenticuloestriadas.
- Arteriograma lateral: elevación de la porción posterior del triángulo silviano. Gran acumulación de vasos patológicos que se proyectan a nivel de la ínsula.

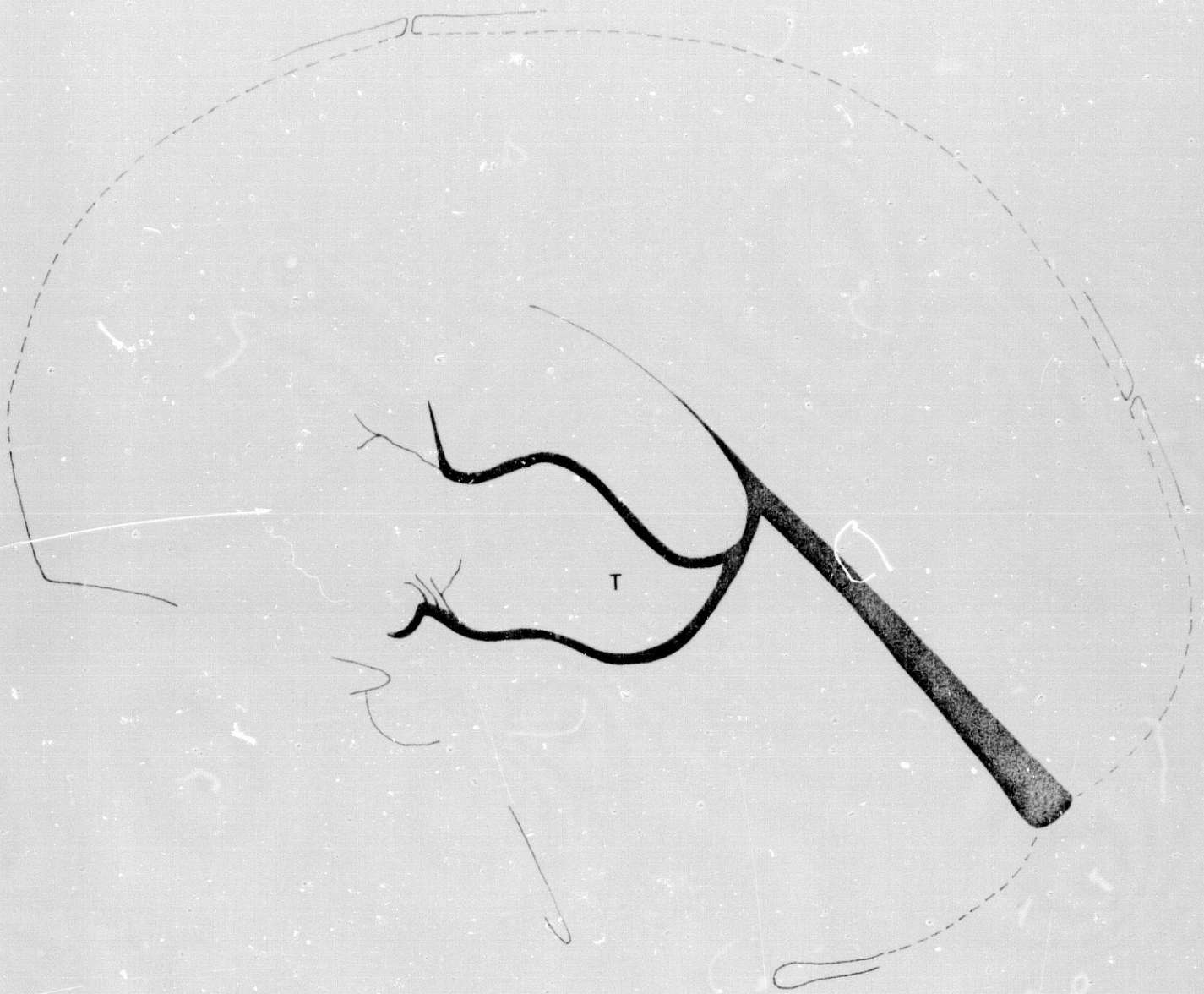


FIG. 213

S E R I E: Patológica

- Masa infraaxial media lateral
- (Infrasilviana)

Caso nº P-30 (H-152)

Historia personal: J.M.C. Varón. 39 años.

Historia clínica: Hematoma intraparenquimatoso temporal izquierdo.

.....

FLEBOGRAMA LATERAL

Parámetros del ángulo venoso

- Método de Laine.....: H: 22,5; V: 23
- Método de Fischer.....: H: -5,5; V: 4,5
- Bisectriz de Fischer.....: B: 20,7º; M: 25º; D: 4,3º
- Método de Newton.....: V: 9; H: 4
- Ang. Tubérculo-Inion-Monro.: 25º
- Ang. Monro-Inion-Bregma....: 16,5º
- Ang. Tubérculo-Lambda-Monro: 15,5º
- Ang. Monro-Glabela-Bregma..: 40º
- Ang. Monro-Bregma-Tubérculo: 22,5º
- Ang. Monro-Tubérculo-Inion.: 63º
- Ang. Apex-Tubérculo-Monro..: 29º
- Ang. Monro-Apex-Bregma.....: 41º
- Lín. fleboaxial-Monro.....: 5,5

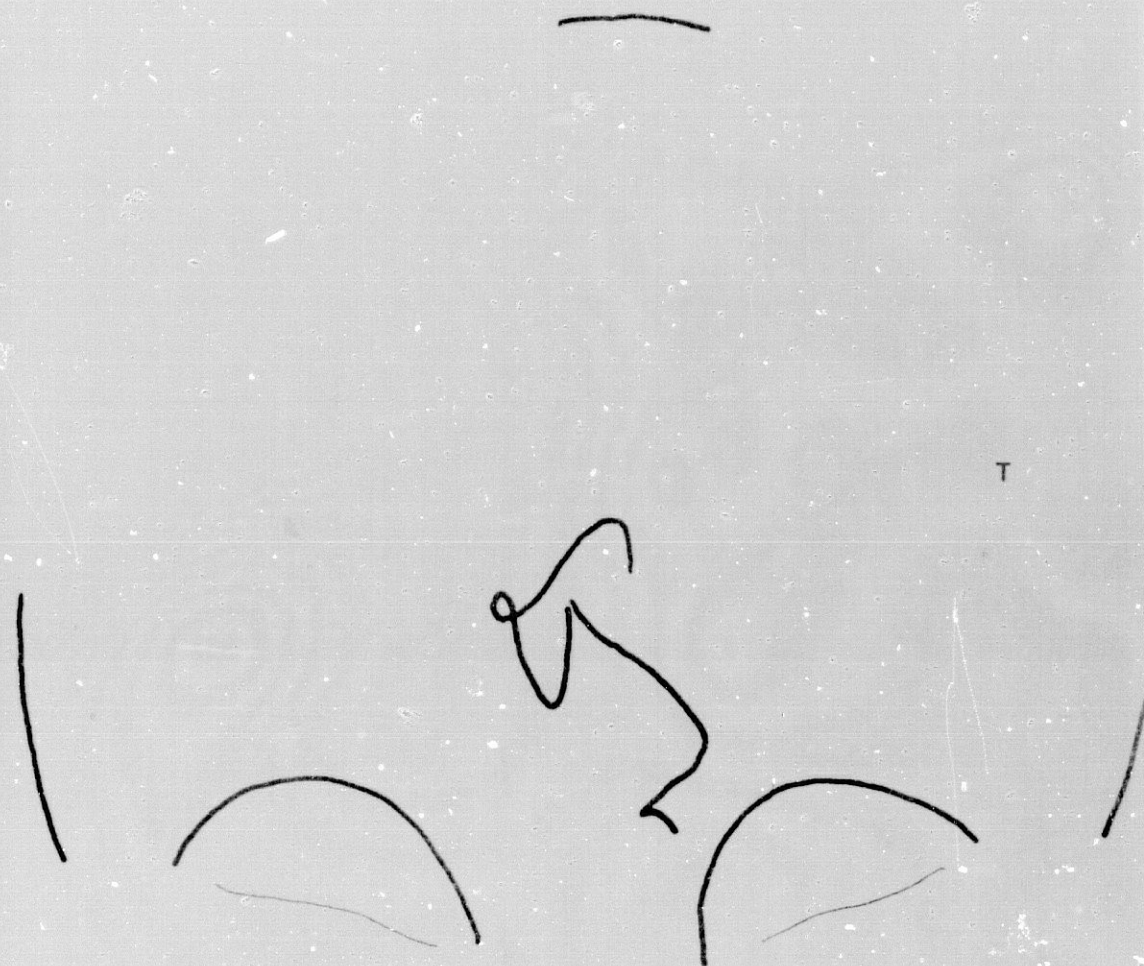


FIG. 214

FLEBOGRAMA LATERAL

Parámetros de la v. cerebral interna

- Método de Potts y Taveras: A-B: 30; b: 4; c: 0,2; d: -0,5
- Método de Shah-Kendall...: A: 39,7; B: 39,8; C: 30,5
- Método de Babin y cols...: c: 60°; b: 45
- Cociente de giro sagital.: 57
- Arco venoso profundo.....: 9

Proyecciones de la v. basal

- Eje incisural-vena basal.: A: -; B: 14; C: -3; D: -

FLEBOGRAMA FRONTAL

- Angulo venoso-Línea media.: 7
- Talamoestriada-Línea media: 10,5

Referencias angiográficas complementarias

- Arteriograma frontal: posible desviación de la arteria cerebral anterior. Desplazamiento medial de las arterias lenticuloestriadas. Elevación y desplazamiento medial de los vasos silvianos.
- Arteriograma lateral: gran elevación y aumento de calibre de la arteria coroidea anterior. Considerable elevación de todos los vasos del grupo silviano, con "signo del manto" de las ramas operculares temporales.



FIG. 215

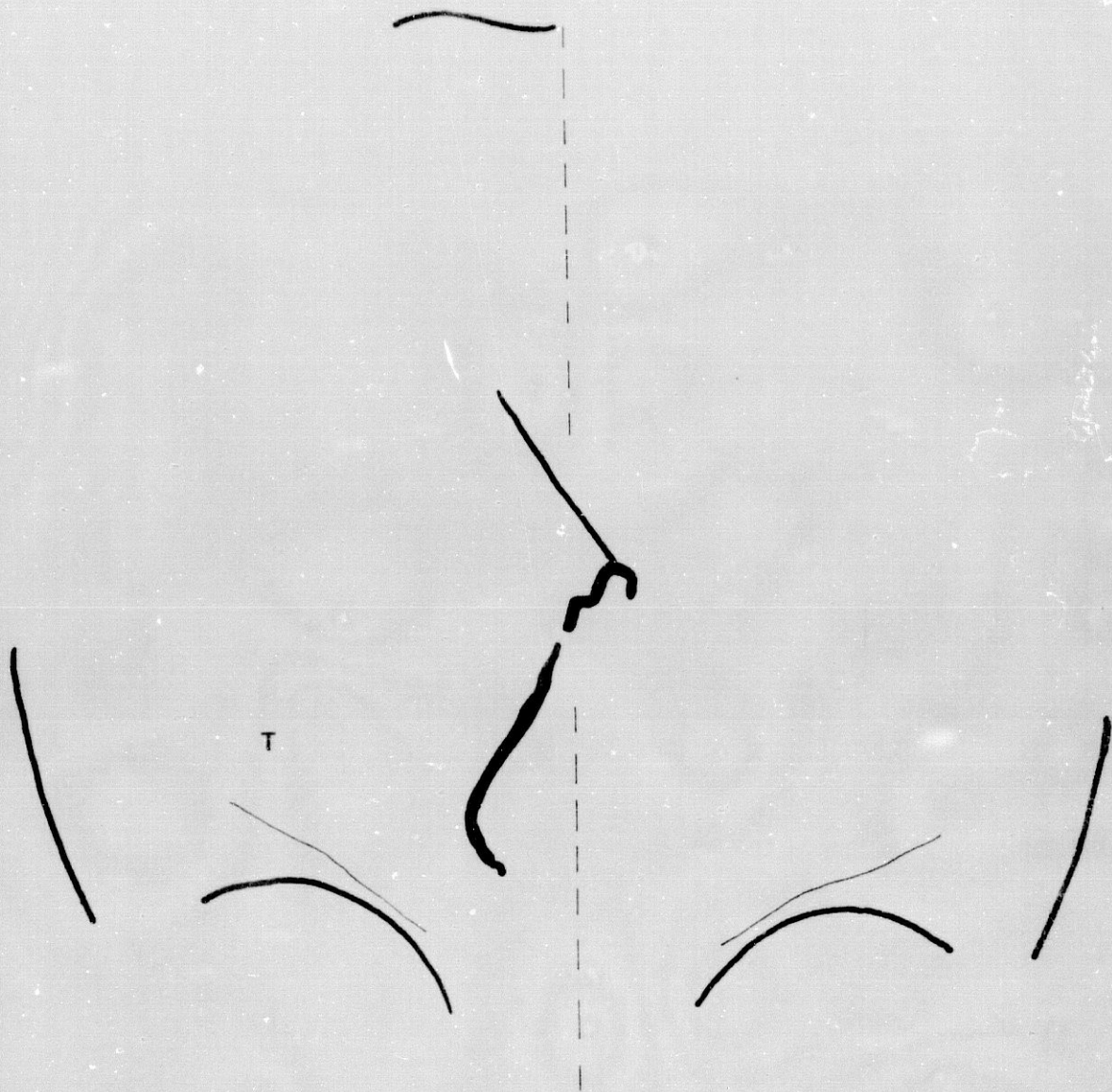


FIG. 216

S E R I E: Patológica

- Masa infraaxial media lateral
- (Infrasilviana)

Caso nº P-31 (H-154)

Reseña personal: J.M.L. Mujer. 21 años.

Reseña clínica: Tumor temporal derecho. El paciente no fue intervenido: no se pudo determinar la naturaleza exacta del tumor.

.....

FLEBOGRAMA LATERAL

Parámetros del ángulo venoso

- Método de Laine.....:	H: 15,5;	V: 19	
- Método de Fischer.....:	H: -6,5;	V: 9	
- Bisectriz de Fischer.....:	B: 18°;	M: 22°;	D: 4°
- Método de Newton.....:	V: 7;	H: 3	
Ang. Tubérculo-Inion-Monro..:	22°		
Ang. Monro-Inion-Bregma.....:	14°		
Ang. Tubérculo-Lambda-Monro:	16°		
Ang. Monro-Glabela-Bregma...:	38°		
Ang. Monro-Bregma-Tubérculo:	21°		
Ang. Monro-Tubérculo-Inion..:	68°		
Ang. Apex-Tubérculo-Monro...:	27°		
Ang. Monro-Apex-Bregma.....:	43,5°		
Lín. fleboaxial-Monro.....:	5,5		

FLEBOGRAMA LATERAL

Parámetros de la v. cerebral interna

- Método de Potts y Taveras: A-B: 38; b: 7,5; c: 1; d: 0
- Método de Shah-Kendall...: A: 39,4; B: 42,6; C: 27,3
- Método de Babin y cols...: c: 62°; b: 45°
- Cociente de giro sagital.: 68
- Arco venoso profundo.....: 7

Proyecciones de la v. basal

- Eje incisural-vena basal.: A: 6; B: 0; C: -12,5; D: -

FLEBOGRAMA FRONTAL

- Angulo venoso-Línea media.: 10
- Talamoestriada-Línea media: 11,5

Referencias angiográficas complementarias

- Arteriograma frontal: ligera desviación proximal de la arteria cerebral anterior. Gran elevación y desplazamiento medial del complejo de la arteria cerebral media.
- Arteriograma lateral: notable rectificación y depresión de la arteria cerebral posterior. Acusado estiramiento de la arteria coroidea anterior. Gran elevación de todos los vasos silvianos.

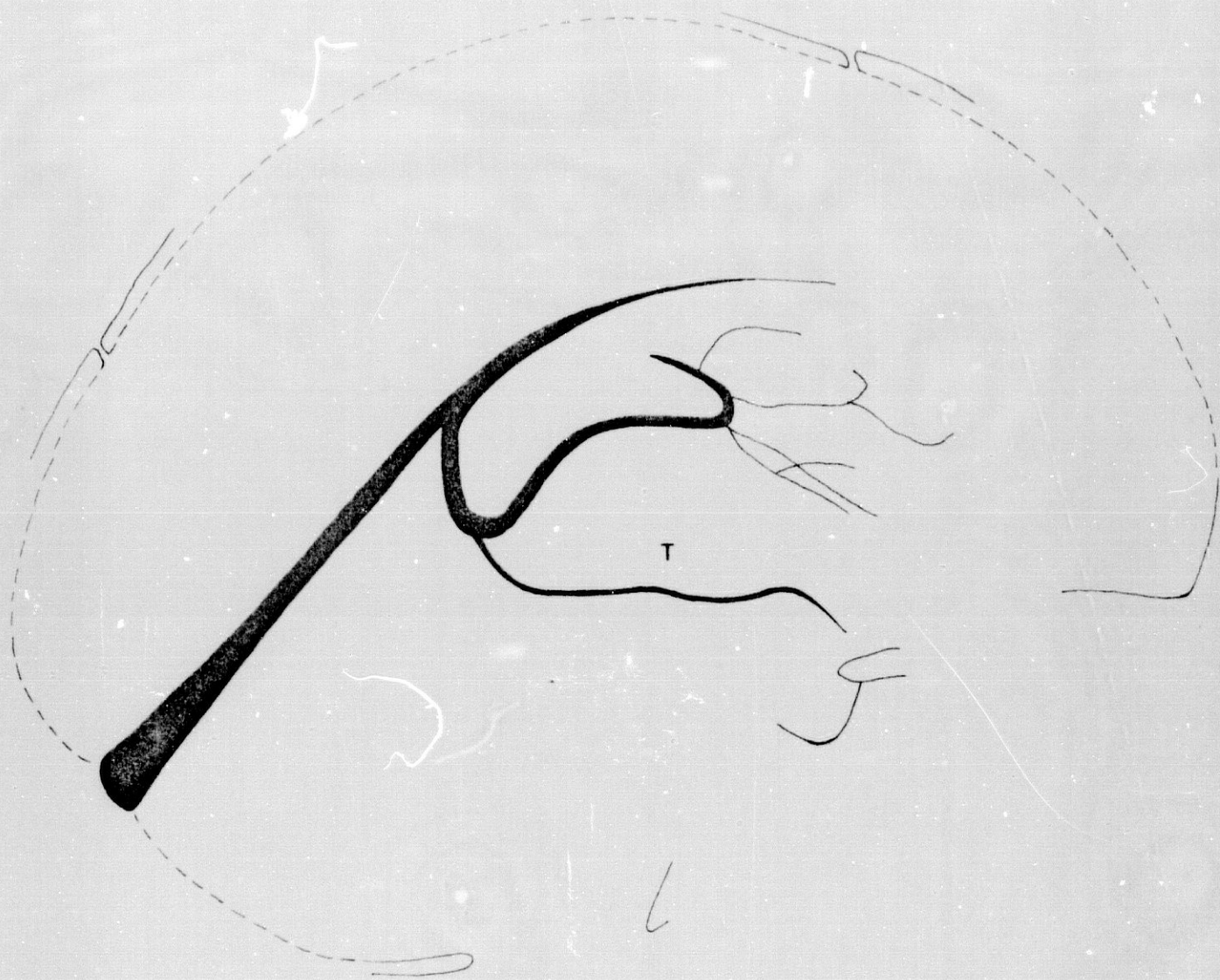


FIG. 217

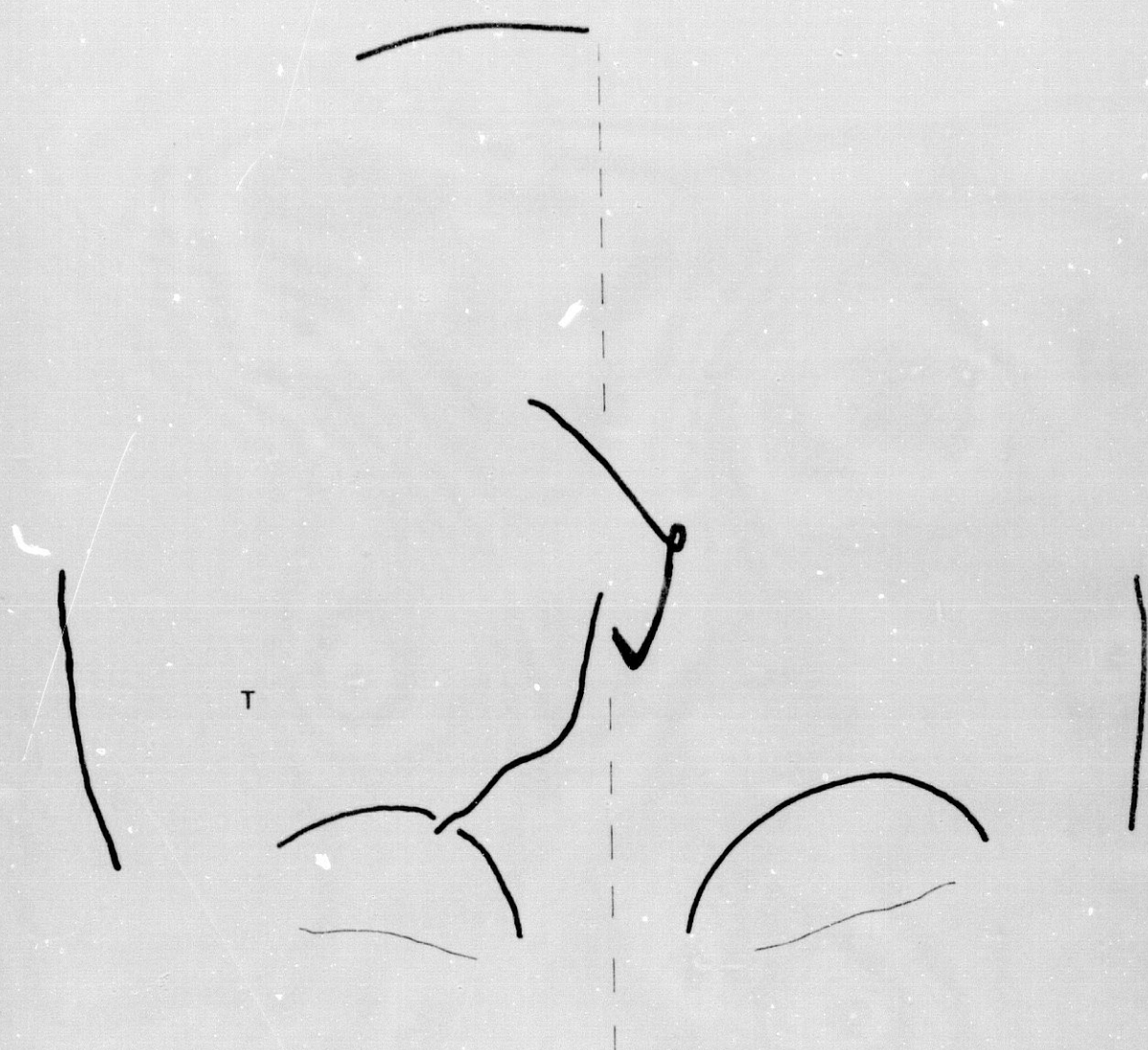


FIG. 218

S E R I E: Patológica

- Masa infraaxial media lateral

- (Infrasilviana)

Caso nº P-32 (H-163)

Reseña personal: J.P.C. Mujer. 30 años.

Reseña clínica: Glioma temporal izquierdo

.....

FLEBOGRAMA LATERAL
=====

Parámetros del ángulo venoso

- Método de Laine.....:	H: 15,5;	V: 22	
- Método de Fischer.....:	H: -3;	V: 5	
- Bisectriz de Fischer.....:	B: 20,2º;	M: 24º;	D: 3,8º
- Método de Newton.....:	V: 4;	H: -2	
Ang. Tubérculo-Inion-Monro.:	24º		
Ang. Monro-Inion-Bregma.....:	16,5º		
Ang. Tubérculo-Lambda-Monro:	17º		
Ang. Monro-Glabela-Bregma...:	39º		
Ang. Monro-Bregma-Tubérculo:	18º		
Ang. Monro-Tubérculo-Inion.:	68,5º		
Ang. Apex-Tubérculo-Monro...:	36,5º		
Ang. Monro-Apex-Bregma.....:	41º		
Lín. fleboaxial-Monro.....:	8		

FLEBOGRAMA LATERAL

Parámetros de la v. cerebral interna

- Método de Potts y Taveras: A-B: 36; b: 5,5; c: 0; d: 0,2
- Método de Shah-Kendall...: A: 31; B: 38,6; C: 26,4
- Método de Babin y cols...: c: 57,2°; b: 43°
- Cociente de giro sagital.: 76
- Arco venoso profundo.....: 6,5

Proyecciones de la v. basal

- Eje incisural-vena basal.: A: -; B: -3; C: -2; D: -

FLEBOGRAMA FRONTAL

- Angulo venoso-Línea media.: 17
- Talamoestriada-Línea media: 11,5

Referencias angiográficas complementarias

- Arteriograma frontal: no se rellena la arteria cerebral anterior. Elevación y desviación medial de la arteria cerebral media y de los vasos silvianos. Desplazamiento medial de las arterias coroidea anterior y lenticuloestriadas.
- Arteriograma lateral: falsa apertura del sifón carotídeo. Acusada desviación inferior de la arteria comunicante posterior y paradójica elevación del segmento suprapetroso de la cerebral posterior. Elevación y estiramiento de la arteria coroidea anterior. Elevación del borde inferior del triángulo silviano con "signo del manto".



FIG. 219

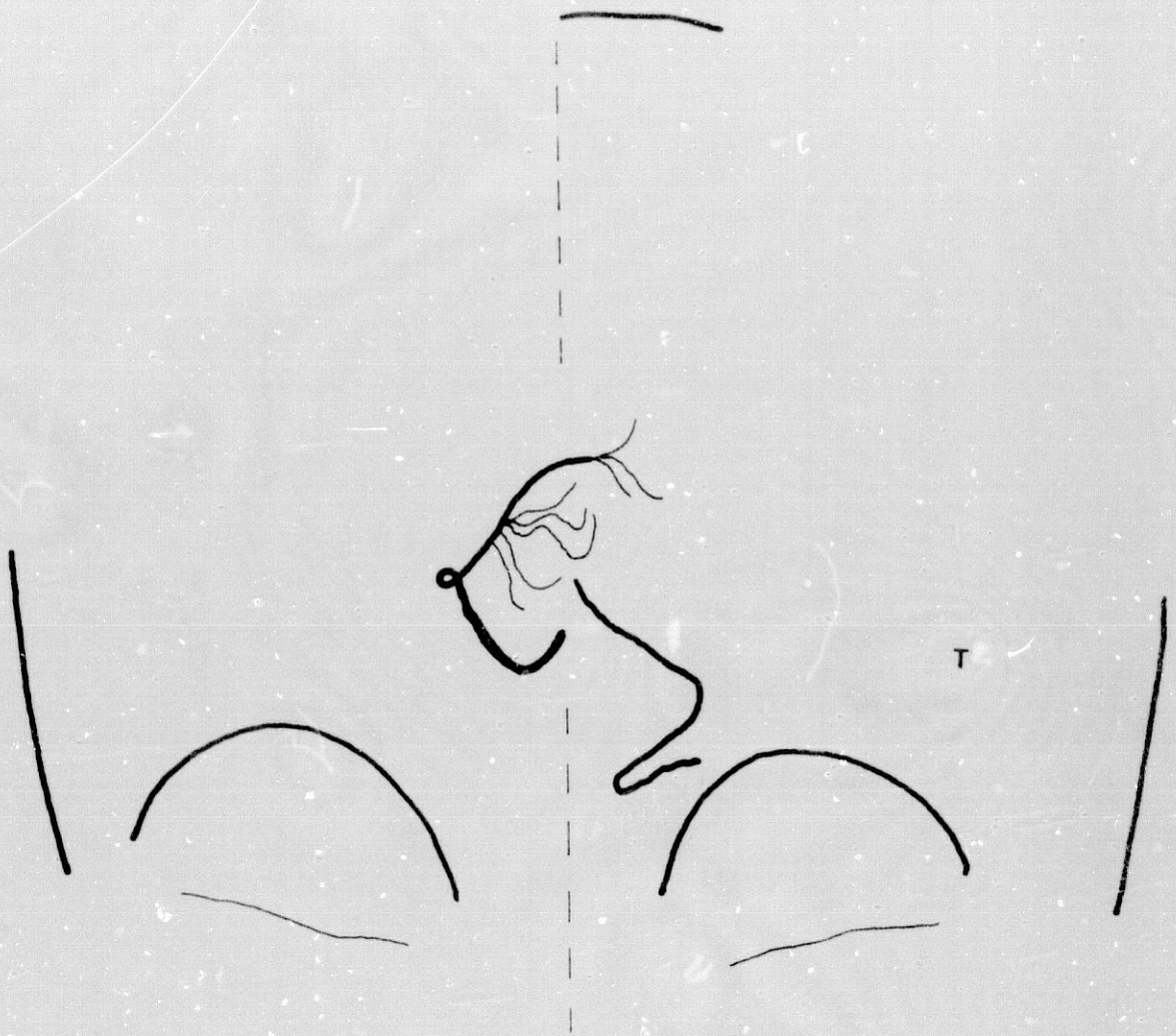


FIG. 220

S E R I E: Patológica

- Masa infraaxial media lateral
- (Infrasilviana)

Caso nº P-33 (II-197)

Reseña personal: M.D.G. Mujer. 47 años.

Reseña clínica: Astrocitoma temporal izquierdo

.....

FLEBOGRAMA LATERAL
=====

Parámetros del ángulo venoso

- Método de Laine.....:	H: 29,5;	V: 26	
- Método de Fischer.....:	H: -6;	V: 6,5	
- Bisectriz de Fischer.....:	B: 21,2º;	M: 27º;	D: 5,8º
- Método de Newton.....:	V: 15;	H: 2	
Ang. Tubérculo-Inion-Monro.:	27º		
Ang. Monro-Inion-Bregma....:	15,5º		
Ang. Tubérculo-Lambda-Monro:	20º		
Ang. Monro-Glabela-Bregma...:	40º		
Ang. Monro-Bregma-Tubérculo:	24º		
Ang. Monro-Tubérculo-Inion.:	58,5º		
Ang. Apex-Tubérculo-Monro...:	27,5º		
Ang. Monro-Apex-Bregma.....:	39º		
Lín. fleboaxial-Monro.....:	7		

FLEBOGRAMA LATERAL

Parámetros de la v. cerebral interna

- Método de Potts y Taveras: A-B: 35; b: 3,5; c: 1; d:
- Método de Shah-Kendall...: A: 41,7; B: 37,4; C: 25,9
- Método de Babin y cols...: c: 65º; b: 41,5º
- Cociente de giro sagital.: 67
- Arco venoso profundo.....: 8

Proyecciones de la v. basal

- Eje incisural-vena basal.: A: -; B: -3; C: -11; D:

FLEBOGRAMA FRONTAL

- Angulo venoso-Línea media.: 9
- Talamoestriada-Línea media: 10

Referencias angiográficas complementarias

- Arteriograma frontal: ligera desviación cuadrada de la arteria cerebral anterior. Desplazamiento medial de la arteria coroidea anterior. Elevación del punto angiográfico silviano.
- Arteriograma lateral: elevación de la arteria coroidea anterior y de totalidad de los vasos silvianos.



FIG. 221

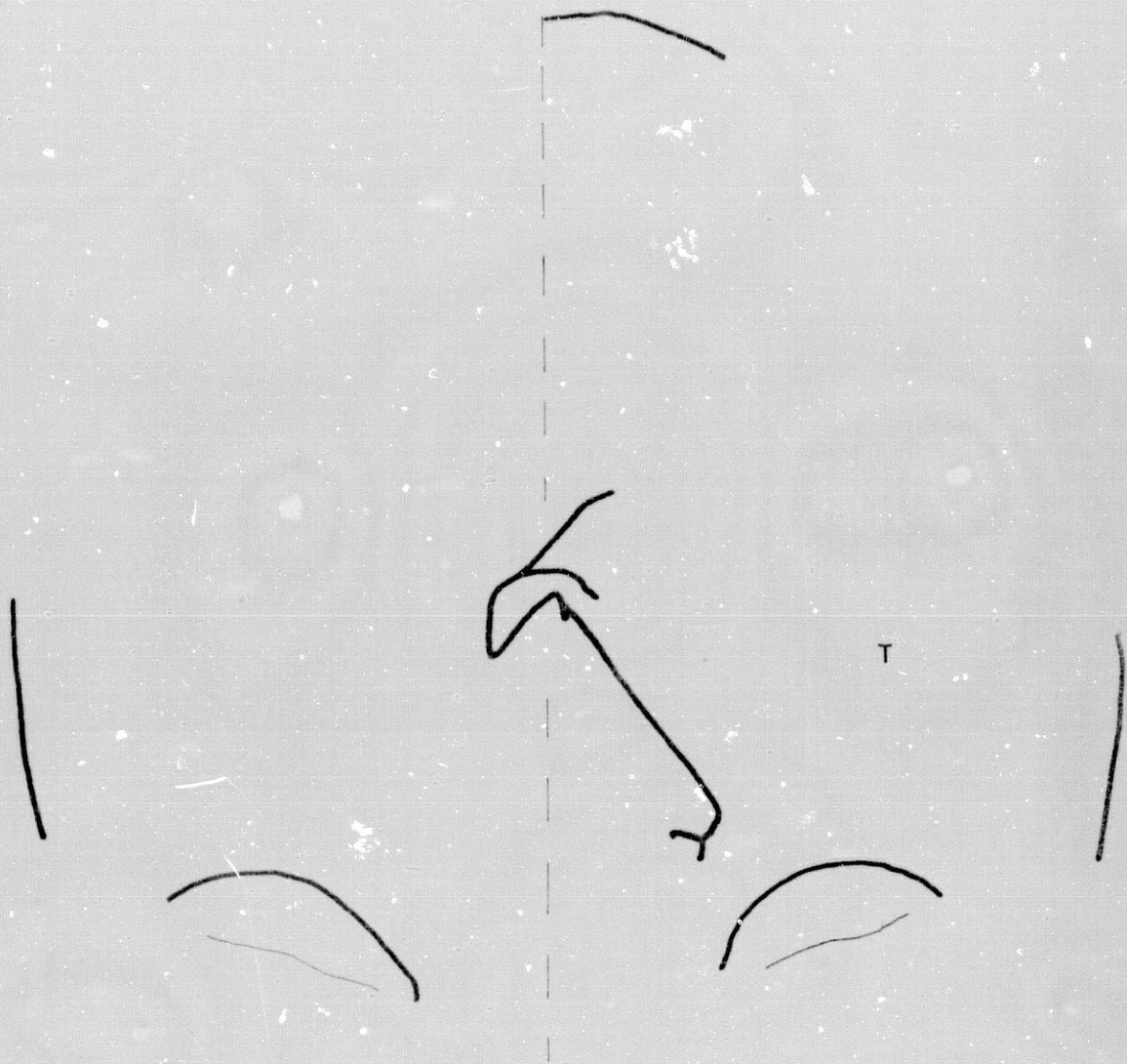


FIG. 222

S E R I E: Patológica

- Masa infraaxial media lateral

- (Infrasilviana)

Caso nº P-34 (H-218)

Reseña personal: M.S.C. Varón. 56 años.

Reseña clínica: Hemorragia intraparenquimatosa temporal derecha.

.....

FLEBOGRAMA LATERAL
=====

Parámetros del ángulo venoso

- Método de Laine.....: H: 17,5; V: 24
- Método de Fischer.....: H: 2,5; V: 2,5
- Bisectriz de Fischer.....: B: 21º; M: 20,5º; D: -0,5º
- Método de Newton.....: V: 2; H: 5
- Ang. Tubérculo-Inion-Monro.: 20,5º
- Ang. Monro-Inion-Bregma....: 21,5º
- Ang. Tubérculo-Lambda-Monro: 14º
- Ang. Monro-Glabela-Bregma..: 42,5º
- Ang. Monro-Bregma-Tubérculo: 13º
- Ang. Monro-Tubérculo-Inion.: 66º
- Ang. Apex-Tubérculo-Monro..: 35º
- Ang. Monro-Apex-Bregma.....: 47º
- Lín. fleboaxial-Monro.....: 5

FLEBOGRAMA LATERAL

Parámetros de la v. cerebral interna

- Método de Potts y Taveras: A-B: 42; b: 9; c: 1; d: -0,5
- Método de Shah-Kendall...: A: 33,5; B: 39,7; C: 25,4
- Método de Babin y cols...: c: 53°; b: 41°
- Cociente de giro sagital.: 81
- Arco venoso profundo.....: 5

Proyecciones de la v. basal

Eje incisural-vena basal.: A: -; B: 7; C: 2,5; D: -

FLEBOGRAMA FRONTAL

- Angulo venoso-Línea media.: 8,5
- Talamoestriada-Línea media: 18,5

Referencias angiográficas complementarias

- Arteriograma frontal: desviación progresivamente distal de la arteria cerebral anterior. Desplazamiento medial de los vasos silvianos, especialmente de sus porciones inicial y media.
- Arteriograma lateral: elevación de la arteria coroidea anterior. Acusada elevación del triángulo silviano y de todos los vasos del lóbulo temporal, con signo del manto.

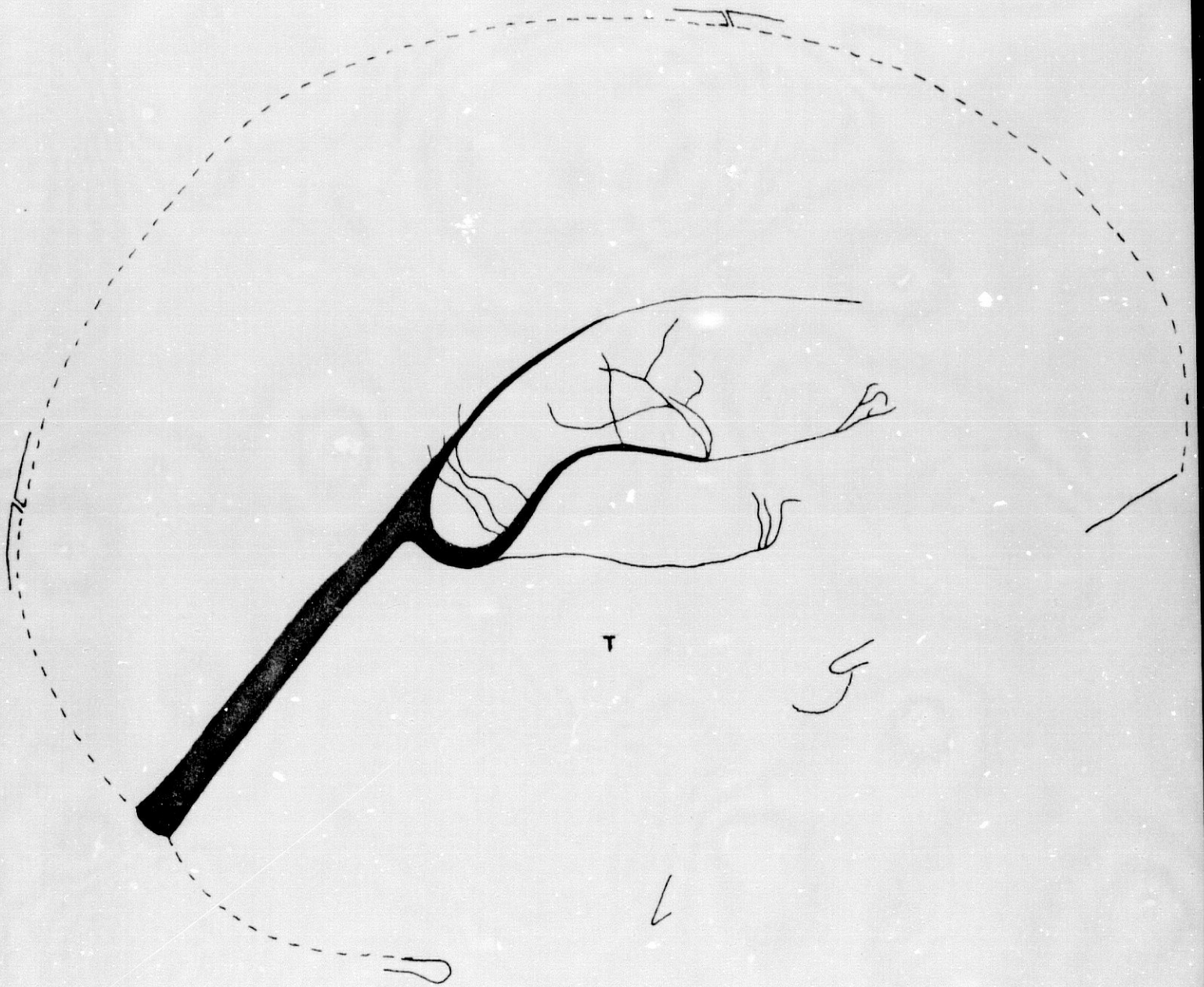


FIG. 223

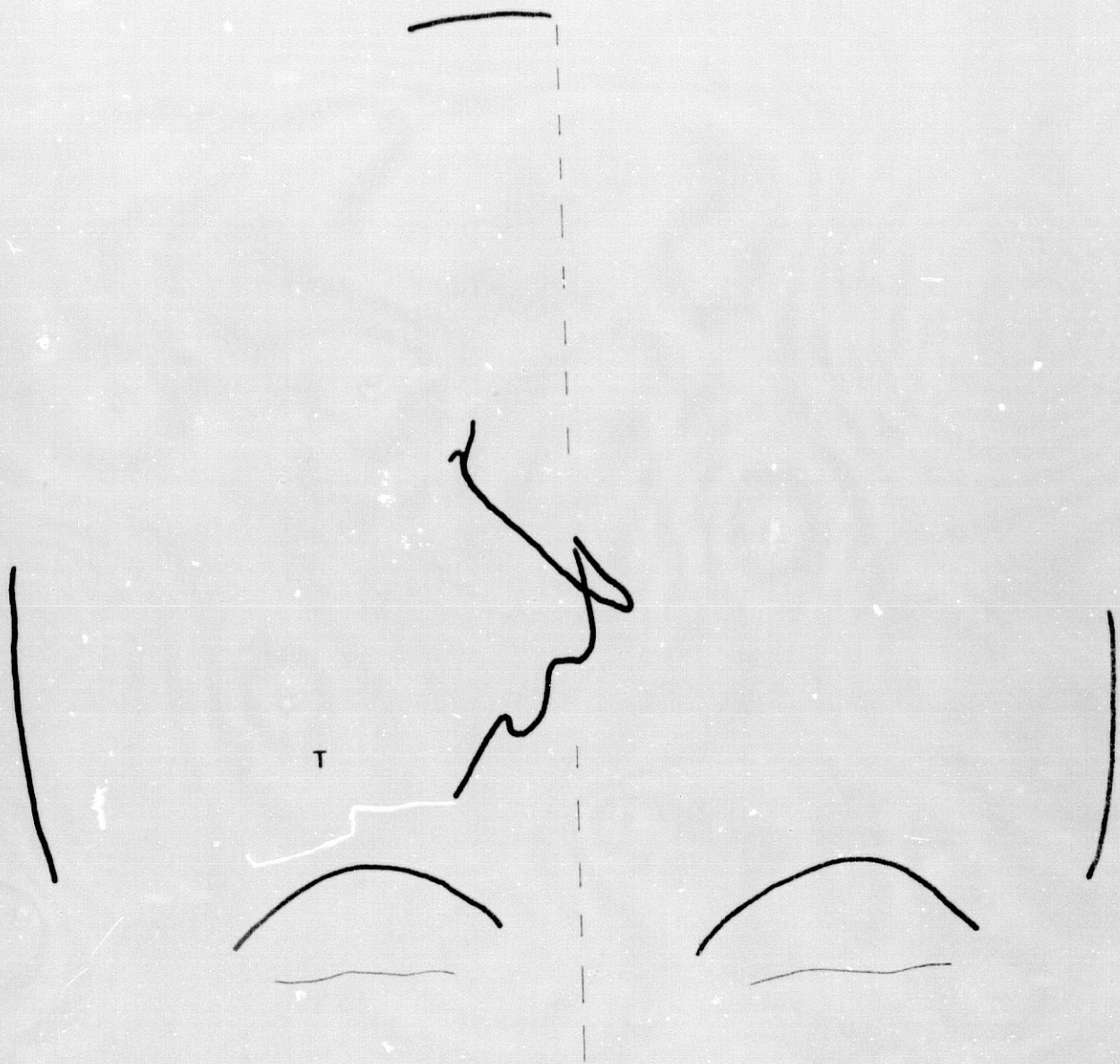


FIG. 224

S E R I E: Patológica

- Masa infraaxial media lateral
- (Infrasilviana profunda)

Caso nº P-35(H-225)

Reseña personal: N.G.R. Varón. 51 años.

Reseña clínica: Sarcoma meníngeo temporal derecho

.....

FLEBOGRAMA LATERAL
=====

Parámetros del ángulo venoso

- Método de Laine.....:	H: 8;	V: 25	
- Método de Fischer.....:	H: 7,5;	V: 11	
- Bisectriz de Fischer.....:	B: 19,2º;	M: 18º;	D: -1,2º
- Método de Newton.....:	V: 2,2;	H: 10	
Ang. Tubérculo-Inion-Monro.:	18º		
Ang. Monro-Inion-Bregma.....:	20,5º		
Ang. Tubérculo-Lambda-Monro:	14,5º		
Ang. Monro-Glabela-Bregma...:	35º		
Ang. Monro-Bregma-Tubérculo:	9,4º		
Ang. Monro-Tubérculo-Inion.:	76º		
Ang. Apex-Tubérculo-Monro...:	47º		
Ang. Monro-Apex-Bregma.....:	42º		
Lín. fleboaxial-Monro.....:	11		

FLEBOGRAMA LATERAL

Parámetros de la v. cerebral interna

- Método de Potts y Taveras: A-B: 42; b: 5,5; c: 0,2; d: 0
- Método de Shah-Kendall...: A: 34,7; B: 36,7; C: 21,8
- Método de Babin y cols...: c: 59,5º; b: 43º
- Cociente de giro sagital.: 66
- Arco venoso profundo.....: 7

Proyecciones de la v. basal

- Eje incisural-vena basal.: A: 6,5; B: -13; C: -14; D: -10

FLEBOGRAMA FRONTAL

- Angulo venoso-Línea media.: 17
- Talamoestriada-Línea media: 7

Referencias angiográficas complementarias

- Arteriograma frontal: elevación de los vasos silvianos.
- Arteriograma lateral: considerable depresión de la arteria cerebral posterior. Rechazo hacia atrás de las arterias coroideas posteriores y posterolaterales. Elevación del triángulo silviano con falsa apertura del si fón carotídeo.

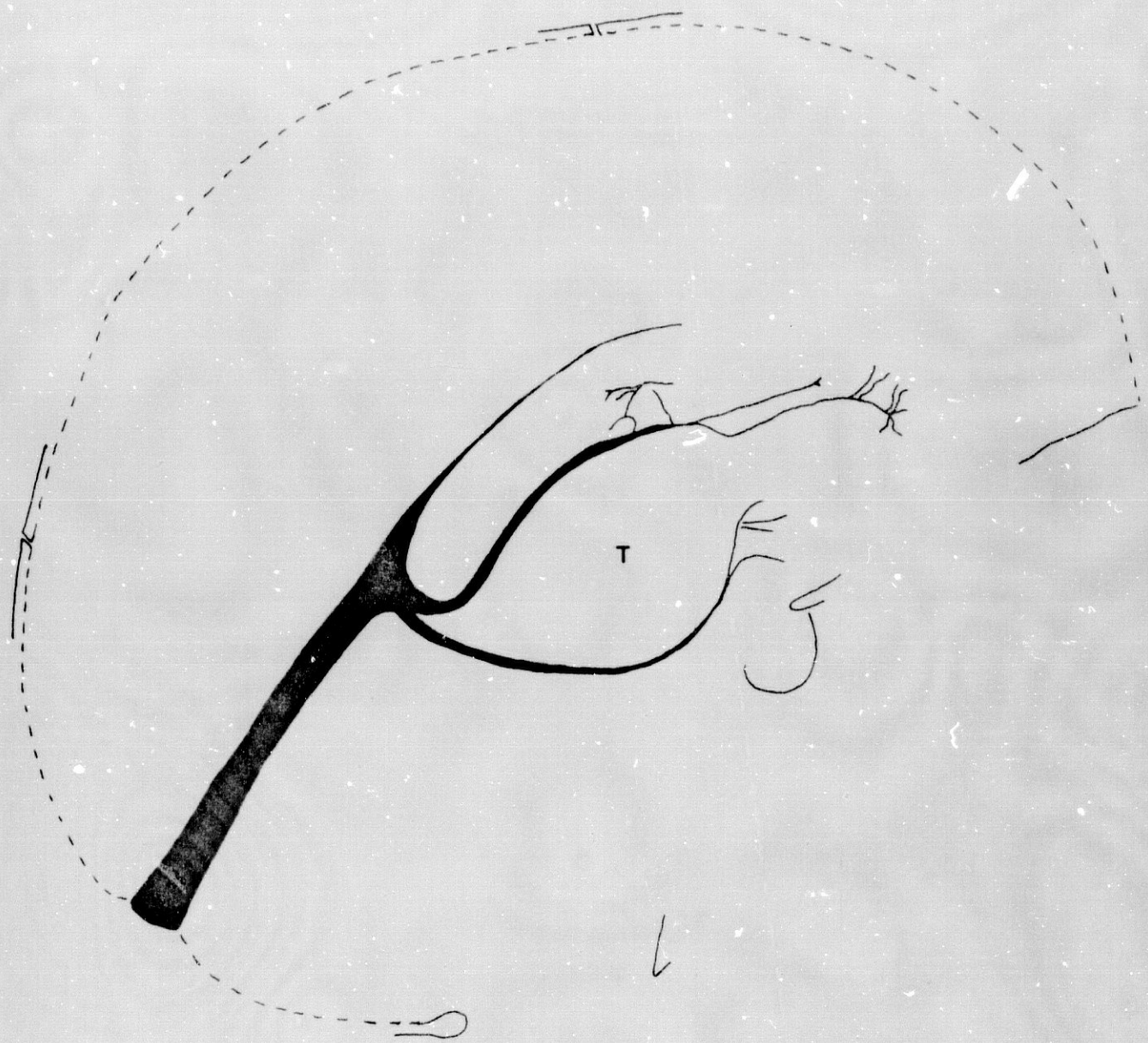


FIG. 225

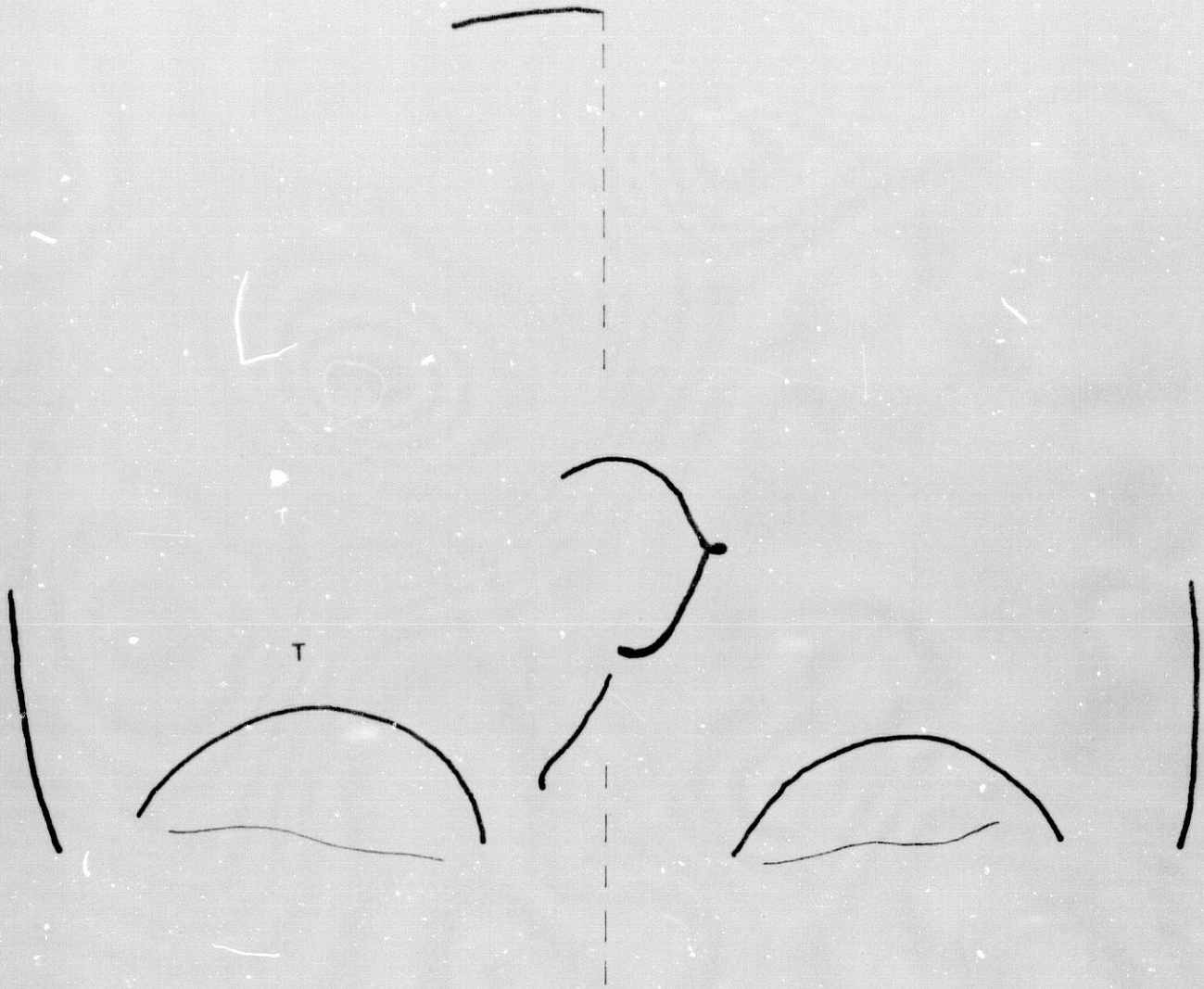


FIG. 226

S E R I E: Patológica

- Masa infraaxial media lateral

- (Infrasilviana)

Caso nº P-36(H-227)

Reseña personal: P.C.V. Varón. 55 años.

Reseña clínica: Glioblastoma multiforme temporal izquierdo.

.....

FLEBOGRAMA LATERAL

Parámetros del ángulo venoso

- Método de Laine.....:	H: 17;	V: 29,5	
- Método de Fischer.....:	H: -5,5;	V: 11,5	
- Bisectriz de Fischer.....:	B: 20°;	M: 24°;	D: 4°
- Método de Newton.....:	V: 9,5;	H: 1,8	
Ang. Tubérculo-Inion-Monro.:	24°		
Ang. Monro-Inion-Bregma.....:	16°		
Ang. Tubérculo-Lambda-Monro:	19°		
Ang. Monro-Glabela-Bregma...:	34°		
Ang. Monro-Bregma-Tubérculo:	18,5°		
Ang. Monro-Tubérculo-Inion.:	69°		
Ang. Apex-Tubérculo-Monro...:	40°		
Ang. Monro-Apex-Bregma.....:	34°		
Lín. fleboaxial-Monro.....:	19		

FLEBOGRAMA LATERAL

Parámetros de la v. cerebral interna

- Método de Potts y Taveras: A-B: 40; b: 4,5; c: -1; d: 0
- Método de Shah-Kendall...: A: 24,6; B: 38,9; C: 39,3
- Método de Babin y cols...: c: 66,5º; b: 42º
- Cociente de giro sagital.: 66
- Arco venoso profundo.....: 11

Proyecciones de la v. basal

Eje incisural-vena basal.: A: 7; B: -4; C: -3,5; D: -9

FLEBOGRAMA FRONTAL

- Angulo venoso-Línea media.: 5,5
- Talamoestriada-Línea media: 15,5

Referencias angiográficas complementarias

- Arteriograma frontal: desplazamiento medial de la arteria coroidea anterior.
- Arteriograma lateral: gran proliferación de vasos patológicos que se proyecta sobre el área correspondiente a la porción anterior del opérculo temporal. Circulación rápida con opacificación, en fase arterial, de las venas profundas. Gran estiramiento y elevación de las arterias coroidea anterior y lenticuloestriadas. Elevación de todos los vasos silvianos.



FIG. 227

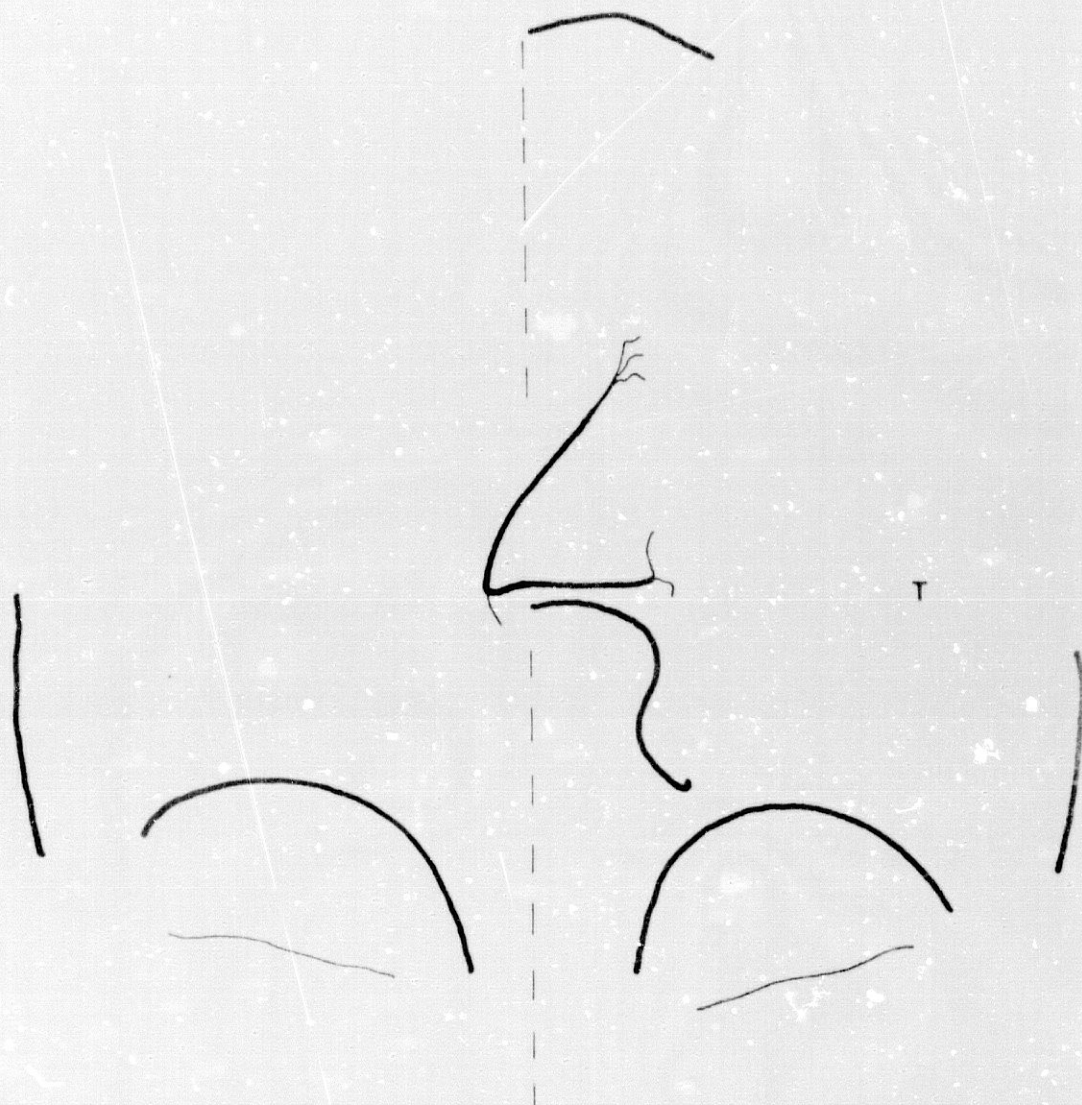


FIG. 228

S E R I E: Patológica

- Masa infraaxial media lateral

- (Infrasilviana)

Caso nº P-37(H-233)

Reseña personal: P.G.C. Varón. 51 años.

Reseña clínica: Astrocitoma temporoparietal derecho.

.....

FLEBOGRAMA LATERAL
=====

Parámetros del ángulo venoso

- Método de Laine.....:	H: 10;	V: 38
- Método de Fischer.....:	H: -5;	V: 19
- Bisectriz de Fischer.....:	B: 18,7º;	M: 26,5º; D: 7,8º
- Método de Newton.....:	V: 17;	H: 15
Ang. Tubérculo-Inion-Monro.:	26,5º	
Ang. Monro-Inion-Bregma.....:	11º	
Ang. Tubérculo-Lambda-Monro:	20º	
Ang. Monro-Glabela-Bregma...:	28º	
Ang. Monro-Bregma-Tubérculo:	19º	
Ang. Monro-Tubérculo-Inion.:	78º	
Ang. Apex-Tubérculo-Monro...:	45º	
Ang. Monro-Apex-Bregma.....:	26,5º	
Lín. fleboaxial-Monro.....:	25	

FLEBOGRAMA LATERAL

Parámetros de la v. cerebral interna

- Método de Potts y Taveras: A-B: 45; b: 4,6; c: -0,5; d: -0,5
- Método de Shah-Kendall...: A: 45,8; B: 41,7; C: 27
- Método de Babin y cols...: c: 72º; b: 49º
- Cociente de giro sagital.: 48
- Arco venoso profundo.....: 7

Proyecciones de la v. basal

Eje incisural-vena basal.: A: -; B: 5,5; C: -6; D: -9

FLEBOGRAMA FRONTAL

- Angulo venoso-Línea media.: 8
- Talamoestriada-Línea media: 24

Referencias angiográficas complementarias

- Arteriograma frontal: desviación proximal y distal de la arteria cerebral anterior. Desplazamiento medial de las arterias lenticuloestriadas. Elevación de los vasos silvianos.
- Arteriograma lateral: prominentes ramas operculares laterales marcan la posición del tumor. Elevación de todo el grupo silviano, sobre todo de sus dos tercios posteriores.



FIG. 229

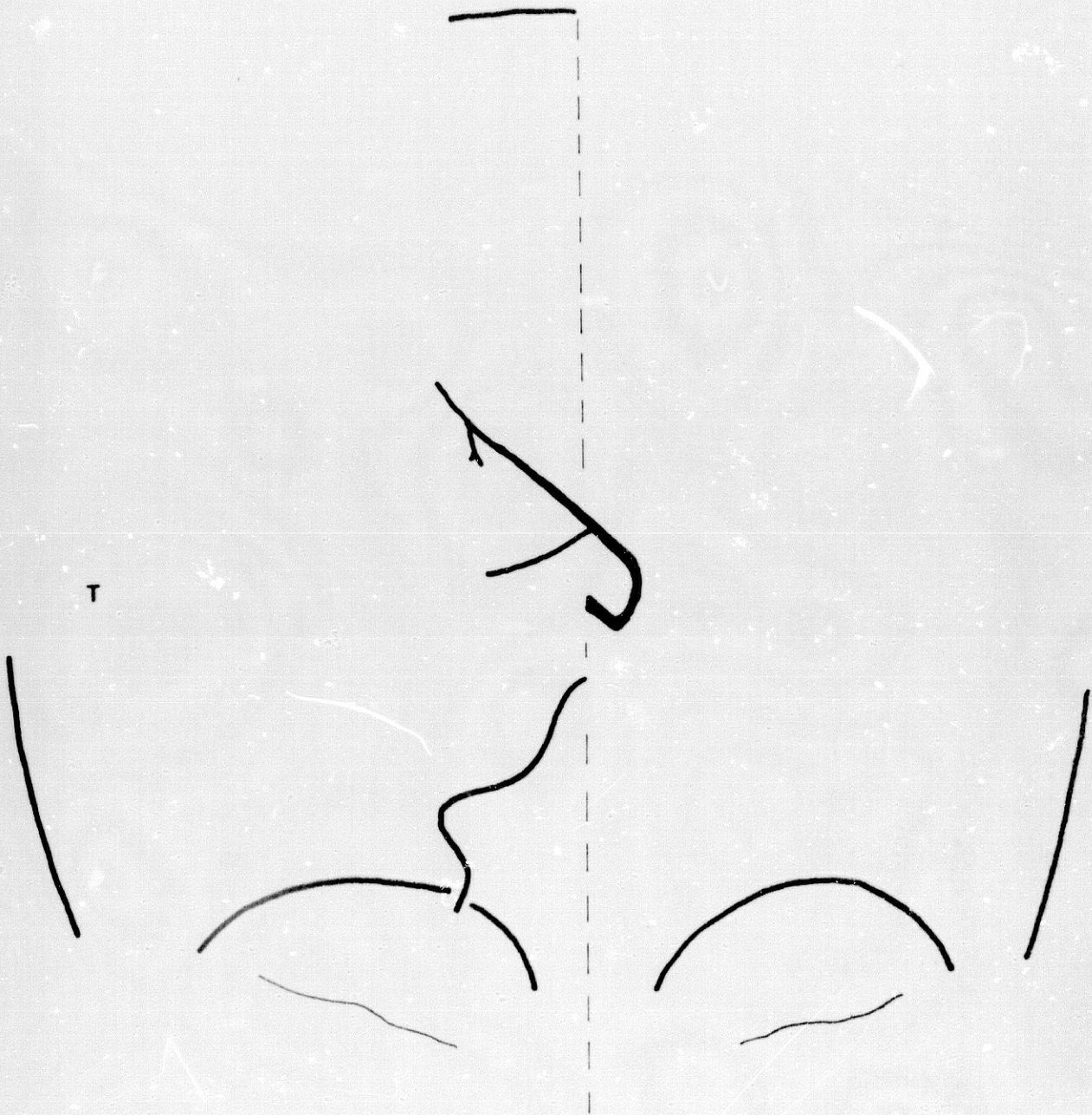


FIG. 230

S E R I E: Patológica

- Masa infraaxial media lateral
- (Infrasilviana)

Caso nº P-38(H-247)

Reseña personal: T.H.G. Varón. 68 años.

Reseña clínica: Glioblastoma multiforme temporal derecho.

.....

FLEBOGRAMA LATERAL

Parámetros del ángulo venoso

- Método de Laine.....:	H: 6,5;	V: 27	
- Método de Fischer.....:	H: 17;	V: 5	
- Bisectriz de Fischer.....:	B: 19,7°;	M: 20°;	D: 0,3°
- Método de Newton.....:	V: 4;	H: 11,8	
Ang. Tubérculo-Inion-Monro.:	20°		
Ang. Monro-Inion-Bregma.....:	19,5°		
Ang. Tubérculo-Lambda-Monro:	16°		
Ang. Monro-Glabela-Bregma...:	37,5°		
Ang. Monro-Bregma-Tubérculo:	9°		
Ang. Monro-Tubérculo-Inion.:	80,5°		
Ang. Apex-Tubérculo-Monro...:	42°		
Ang. Monro-Apex-Bregma.....:	45°		
Lín. fleboaxial-Monro.....:	8		

FLEBOGRAMA LATERAL

Parámetros de la v. cerebral interna

- Método de Potts y Taveras: A-B: 49; b: 6,5; c: 1; d: 0,8
- Método de Shah-Kendall...: A: 36; B: 35,2; C: 33,4
- Método de Babin y cols...: c: 52°; b: 51,5°
- Cociente de giro sagital.: 62
- Arco venoso profundo.....: 8

Proyecciones de la v. basal

- Eje incisural-vena basal.: A: 16; B: 6; C: -9; D: -10

FLEBOGRAMA FRONTAL

- Angulo venoso-Línea media.: 12
- Talamoestriada-Línea media: 10

Referencias angiográficas complementarias

- Arteriograma frontal: ligera desviación redonda de la arteria cerebral anterior. Desplazamiento medial de las arterias cerebral posterior, coroidea anterior y lenticuloestriadas. Elevación de los vasos silvianos.
- Arteriograma lateral: gran depresión de la arteria cerebral posterior. Elevación y adelantamiento del triángulo silviano.

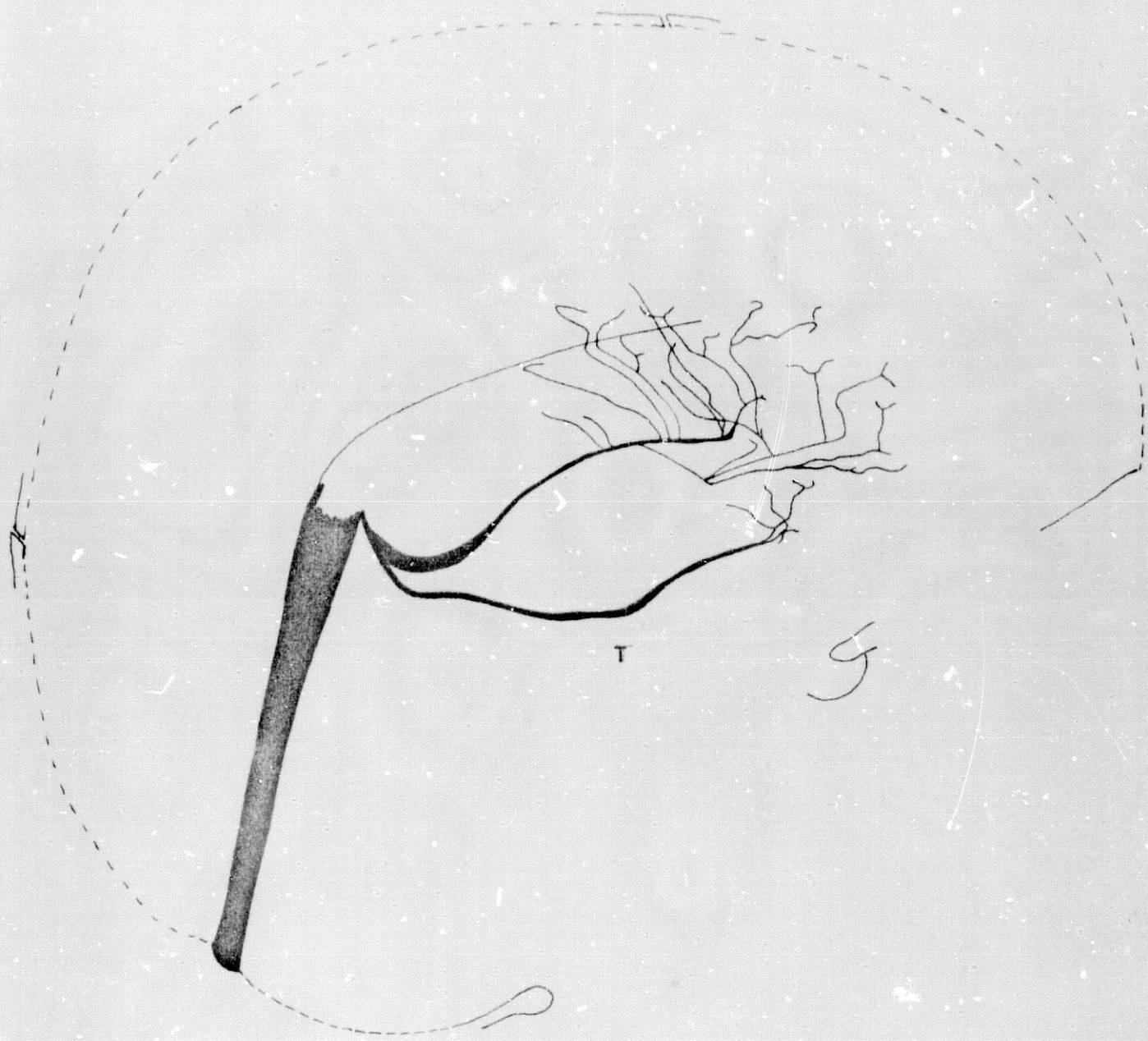


FIG. 231

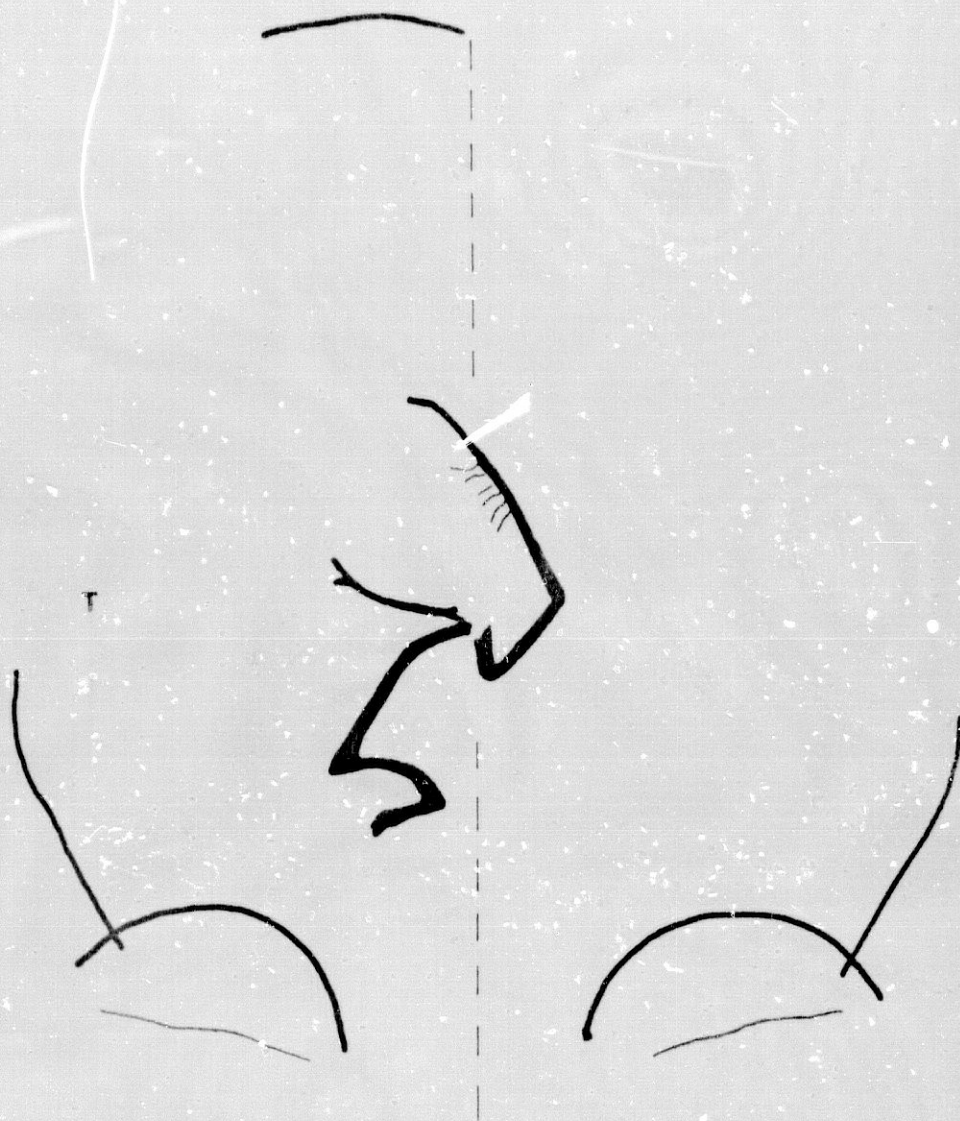


FIG. 232

S E R I E: Patológica

- Masa infraaxial media lateral
- (Infrasilviana)

Caso nº P-39 (H-250)

Reseña personal: V.A.A. Mujer. 64 años.

Reseña clínica: Glioblastoma multiforme temporal izquierdo

.....

FLEBOGRAMA LATERAL

Parámetros del ángulo venoso

- Método de Laine.....: H: 5; V: 27
- Método de Fischer.....: H: 4,5; V: 8,5
- Bisectriz de Fischer.....: B: 19°; M: 20°; D: 1°
- Método de Newton.....: V: 5; H: 10
- Ang. Tubérculo-Inion-Monro.: 20°
- Ang. Monro-Inion-Bregma....: 18°
- Ang. Tubérculo-Lambda-Monro: 17°
- Ang. Monro-Glabela-Bregma...: 32°
- Ang. Monro-Bregma-Tubérculo: 12,5°
- Ang. Monro-Tubérculo-Inion.: 82°
- Ang. Apex-Tubérculo-Monro...: 47°
- Ang. Monro-Apex-Bregma.....: 43°
- Lín. fleboaxial-Monro.....: 9

FLEBOGRAMA LATERAL

Parámetros de la v. cerebral interna

- Método de Potts y Taveras: A-B: 36; b: 4; c: -1; d: 0,2
- Método de Shah-Kendall...: A: 37,8; B: 37,9; C: 36,7
- Método de Babin y cols...: c: 63,5º; b: 51º
- Cociente de giro sagital.: 60
- Arco venoso profundo.....: 12

Proyecciones de la v. basai

Eje incisural-vena basal.: A: -; B: 1; C: -3; D: -

FLEBOGRAMA FRONTAL

- Angulo venoso-Línea media.: 6,2
- Talamoestriada-Línea media: 23,5

Referencias angiográficas complementarias

- Arteriograma frontal: rápida aparición de gruesas venas de drenaje a nivel de la porción media y posterior de los vasos silvianos. Ligero desplazamiento medial de las arterias lenticuloestriadas laterales.
- Arteriograma lateral: persisten los vasos patológicos, que se proyectan sobre el área correspondiente al asta esfenoidal del ventrículo lateral. Una prominente arteria cerebral posterior aparece deprimida, dejando un espacio avascular entre ella y la masa de vasos patológicos. Una engrosada arteria coroidea anterior participa en la nutrición del tumor. Elevación de los vasos silvianos.



FIG. 233

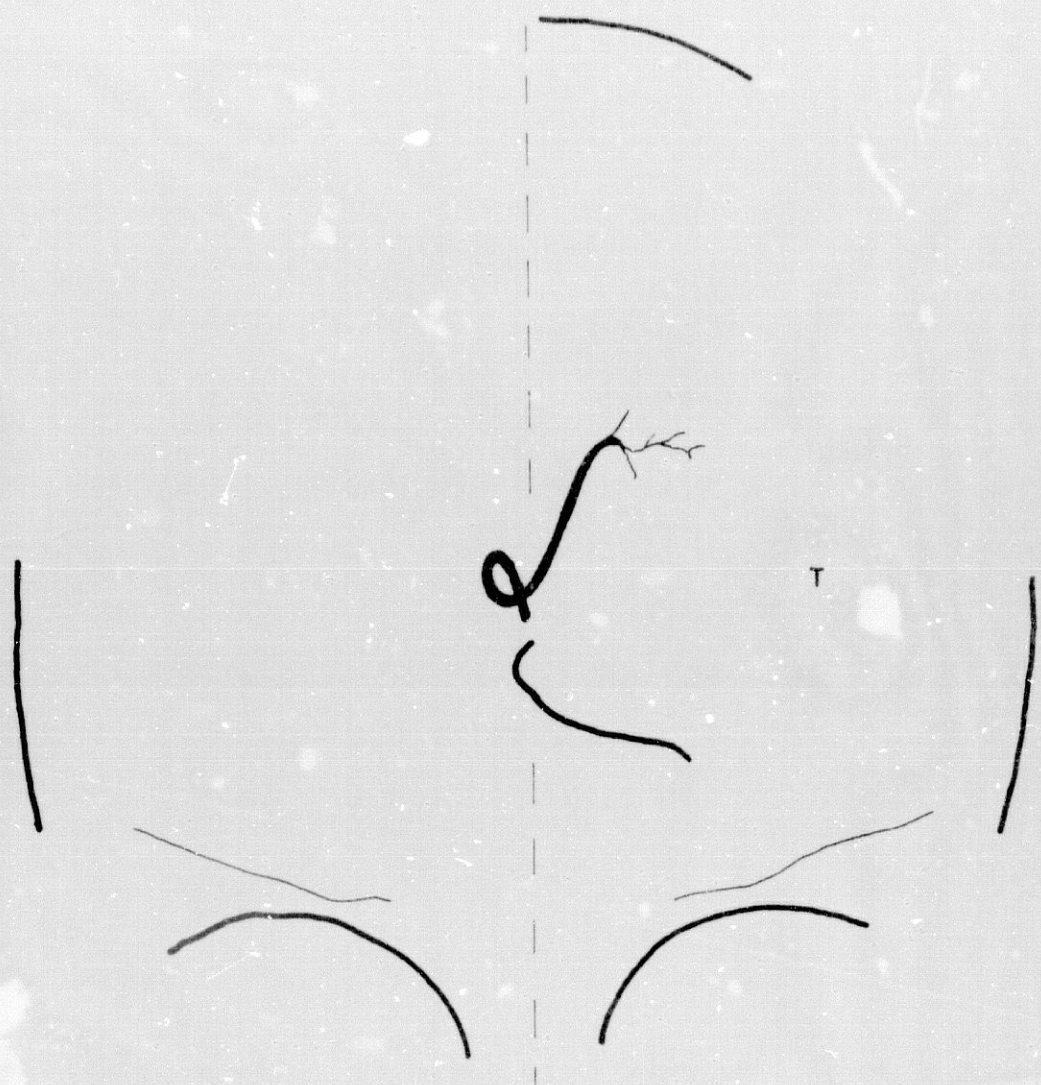


FIG. 234

S E R I E: Patológica

- Masa infraaxial media lateral
- (Infrasilviana posterior)

Caso nº P-40 (H-256)

Reseña personal: V.P.G. Mujer. 66 años.

Reseña clínica: Glioblastoma multiforme parietotemporoccipital izquierdo.

.....

FLEBOGRAMA LATERAL

Parámetros del ángulo venoso

- Método de Laine.....:	H: 3;	V: 31	
- Método de Fischer.....:	H: 3;	V: 1	
- Bisectriz de Fischer.....:	B: 21°;	M: 20°;	D: -1°
- Método de Newton.....:	V: 3;	H: 14,5	
Ang. Tubérculo-Inion-Monro.:	20°		
Ang. Monro-Inion-Bregma.....:	22°		
Ang. Tubérculo-Lambda-Monro:	16°		
Ang. Monro-Glabela-Bregma..:	40,5°		
Ang. Monro-Bregma-Tubérculo:	4°		
Ang. Monro-Tubérculo-Inion.:	89°		
Ang. Apex-Tubérculo-Monro..:	63°		
Ang. Monro-Apex-Bregma.....:	36°		
Lín. fleboaxial-Monro.....:	11,5		

FLEBOGRAMA LATERALParámetros de la v. cerebral interna

- Método de Potts y Taveras: A-B: 65; b: 10; c: 3;
- Método de Shah-Kendall...: A: 35,6; B: 39,6; C: 11,8
- Método de Babin y cols...: c: 56,52; b: 372
- Cociente de giro sagital.: 125
- Arco venoso profundo.....: 16

Proyecciones de la v. basal

Eje incisural-vena basal.: Inviabile (la v. basal no es an

FLEBOGRAMA FRONTAL

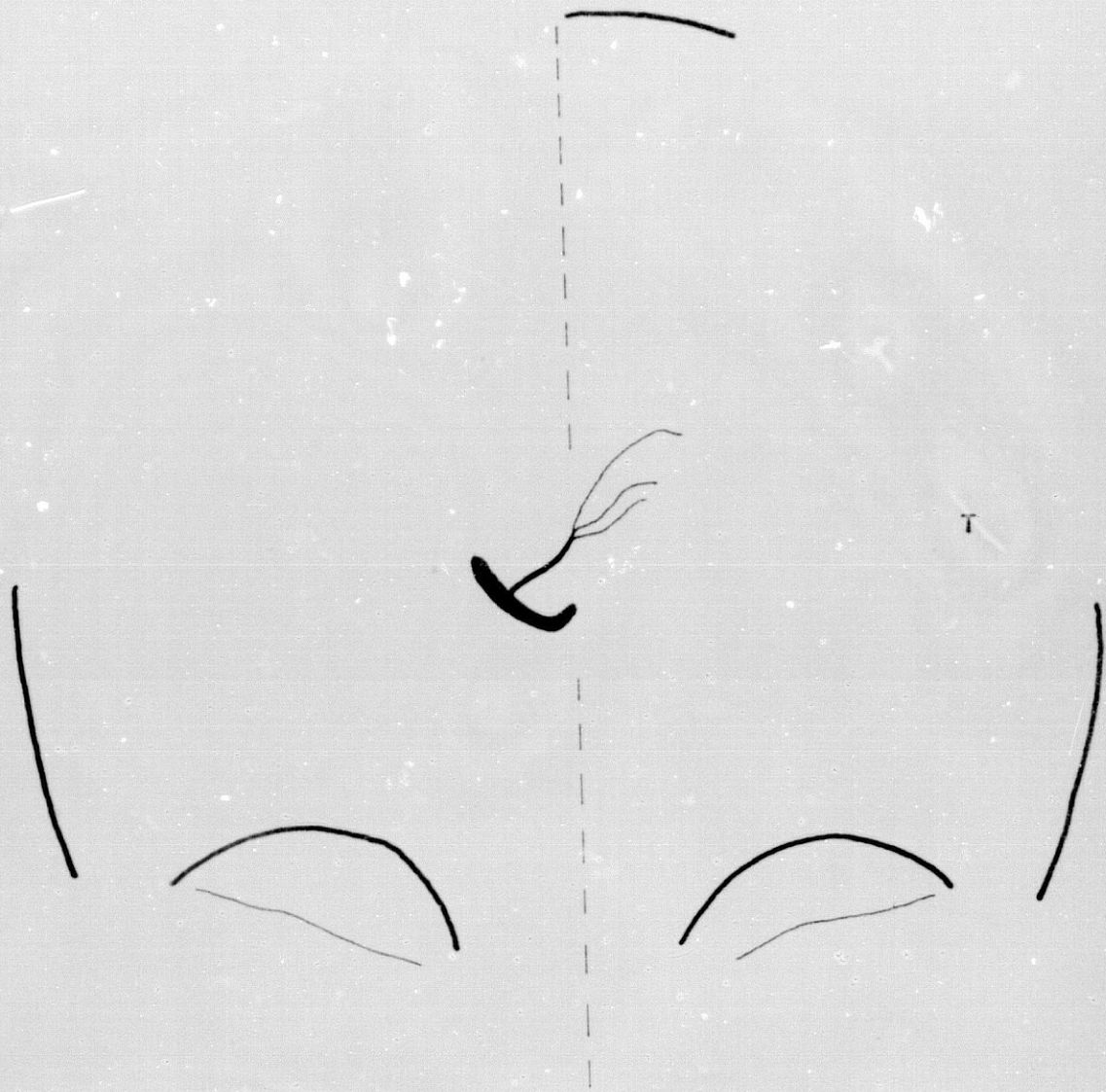
- Angulo venoso-Línea media.: 9
- Talamoestriada-Línea media: 15,5

Referencias angiográficas complementarias

- Arteriograma frontal: ligera desviación preferentemente distal de la arteria cerebral anterior.
- Arteriograma lateral: falsa apertura del sifón carotídeo. Gran opacificación de los dos tercios posteriores del triángulo silviano.



FIG. 235



T

FIG. 236

Tumores infraaxiales posteriores laterales

S E R I E: Patológica

- Masa infraaxial posterior lateral

- (Infratentorial)

Caso nº P-41 (H-46)

Reseña personal: B.M.P. Varón. 22 años.

Reseña clínica: Angioma cerebeloso izquierdo

.....

FLEBOGRAMA LATERAL
=====

Parámetros del ángulo venoso

- Método de Laine.....:	H: 12;	V: 25	
- Método de Fischer.....:	H: -3,5;	V: -9,5	
- Bisectriz de Fischer.....:	B: 19,5º;	M: 24º;	D: 4,5º
- Método de Newton.....:	V: 9;	H: 5,5	
Ang. Tubérculo-Inion-Monro.:	24º		
Ang. Monro-Inion-Bregma.....:	15º		
Ang. Tubérculo-Lambda-Monro:	19º		
Ang. Monro-Glabela-Bregma...:	40º		
Ang. Monro-Bregma-Tubérculo:	17º		
Ang. Monro-Tubérculo-Inion.:	72,5º		
Ang. Apex-Tubérculo-Monro...:	41,5º		
Ang. Monro-Apex-Bregma.....:	38º		
Lín. fleboaxial-Monro.....:	9		

FLEBOGRAMA LATERAL

Parámetros de la v. cerebral interna

- Método de Potts y Taveras: A-B: 42; b: 4; c: 1,5; D: -1
- Método de Shah-Kendall...: A: 41,6; B: 47,5; C: 40,2
- Método de Babin y cols...: c: 47º; b: 52º
- Cociente de giro sagital.: 42
- Arco venoso profundo.....: 3,5

Proyecciones de la v. basal

Eje incisural-vena basal.: Inviabile (la v. basal no es anastomótica)

FLEBOGRAMA FRONTAL

- Angulo venoso-Línea media.: -5
- Talamoestriada-Línea media: 21,5

Referencias angiográficas complementarias

- Arteriograma frontal: ligera desviación distal de la arteria cerebral anterior. Leve redondeamiento del segmento horizontal de la arteria cerebral media. (En ambos casos el angiograma es izquierdo).
- Arteriograma lateral: acusada elevación de la arteria coroidea anterior.

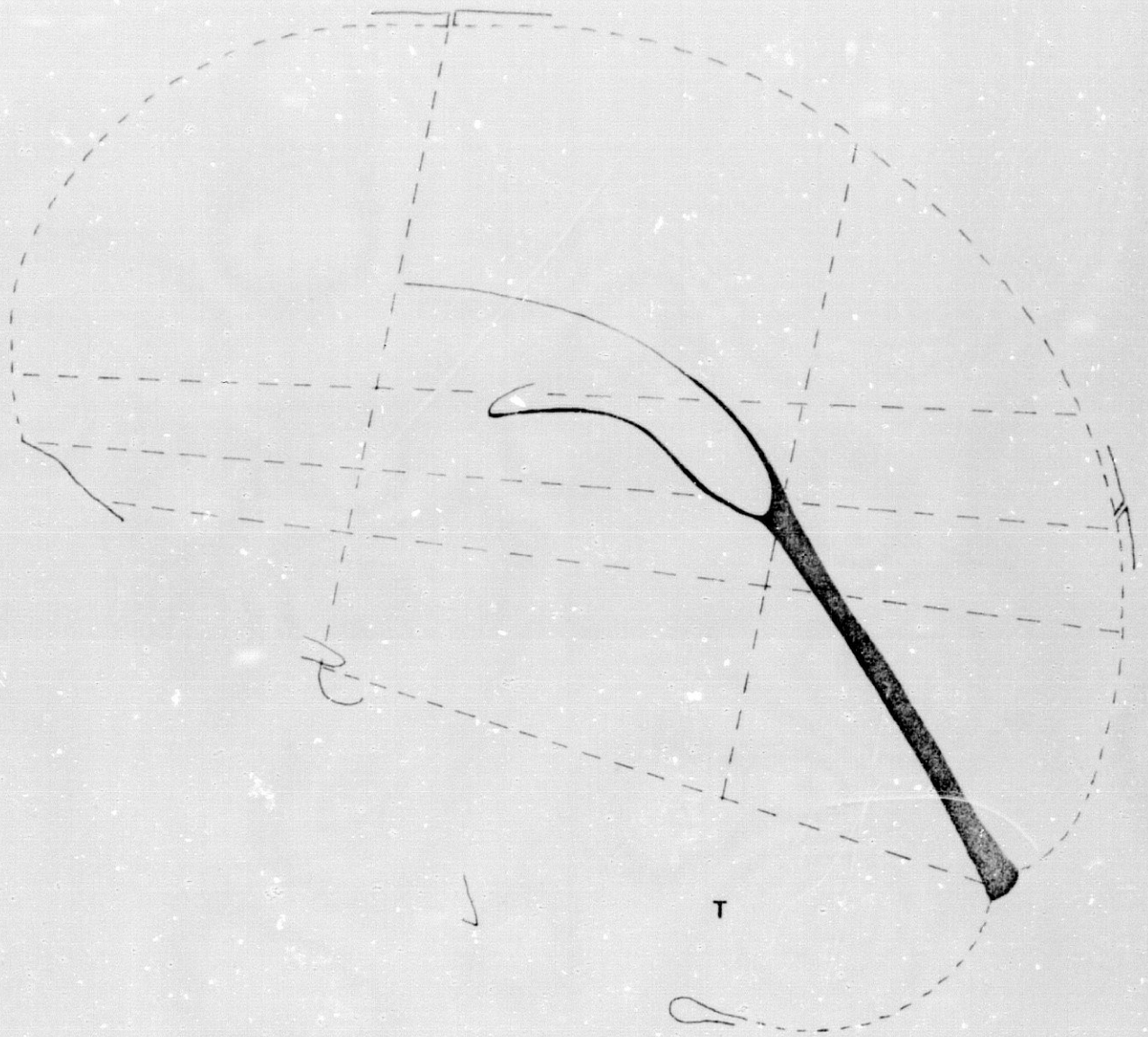


FIG. 242

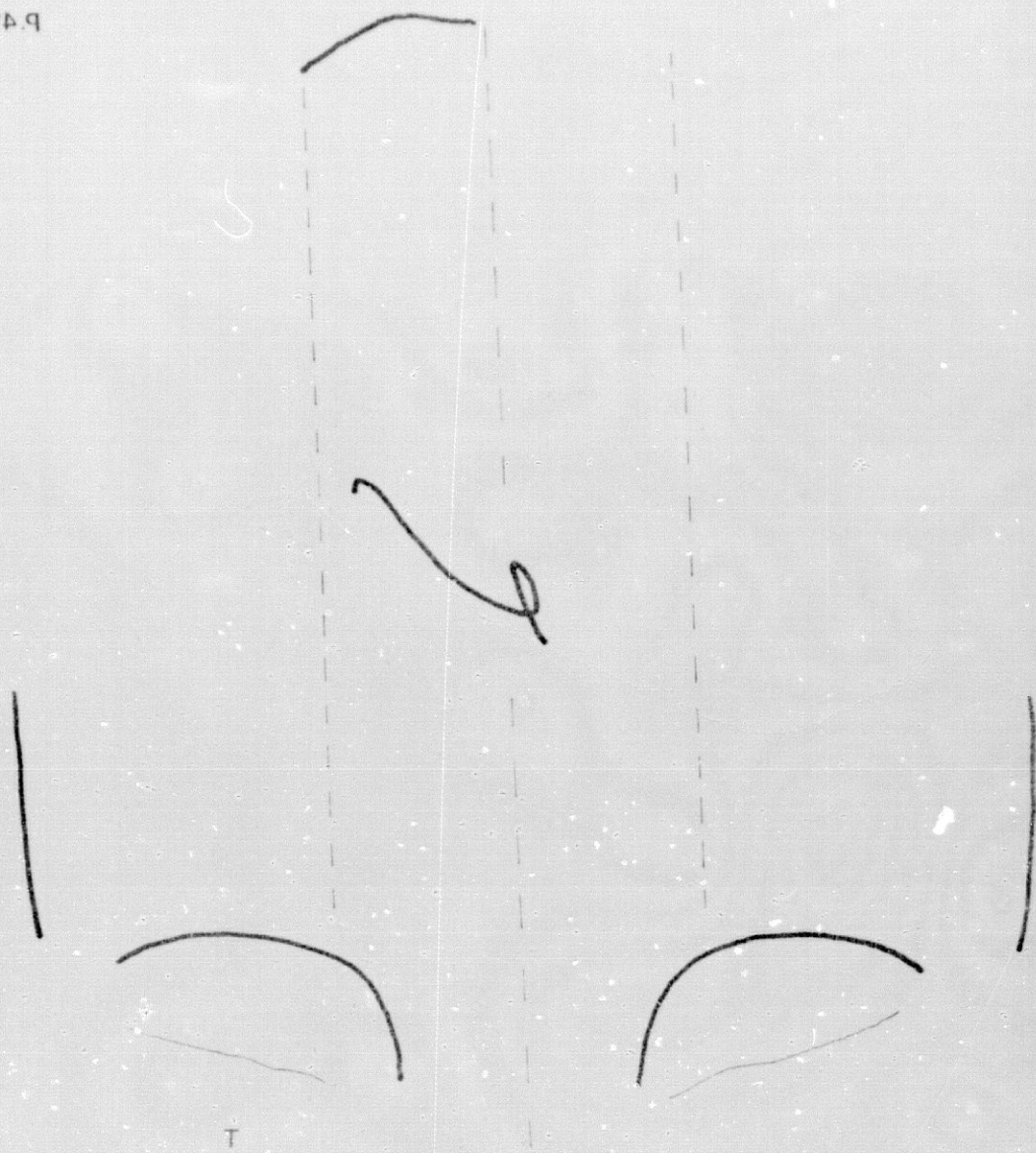


FIG. 243

Handwritten mark resembling the letter 'P'.

FLEBOGRAMA LATERAL

Parámetros de la v. cerebral interna

- Método de Potts y Taveras: A-B: 35; b: 6,5; c: 1; d: 0,2
- Método de Shah-Kendall...: A: 32,7; B: 38,1; C: 28,9
- Método de Babin y cols...: c: 49°; b: 42,5°
- Cociente de giro sagital.: 54
- Arco venoso profundo.....: 2,5

Proyecciones de la v. basal

- Eje incisural-vena basal.: A: 1,5; B: -5; C: 0,5; D: 4,5

FLEBOGRAMA FRONTAL

- Angulo venoso-Línea media.: 2,5
- Talamoestriada-Línea media: 30

Referencias angiográficas complementarias

- Arteriograma frontal izquierdo: no se aprecian alteraciones significativas.
- Arteriograma lateral izquierdo: no se aprecian alteraciones significativas.



FIG. 244

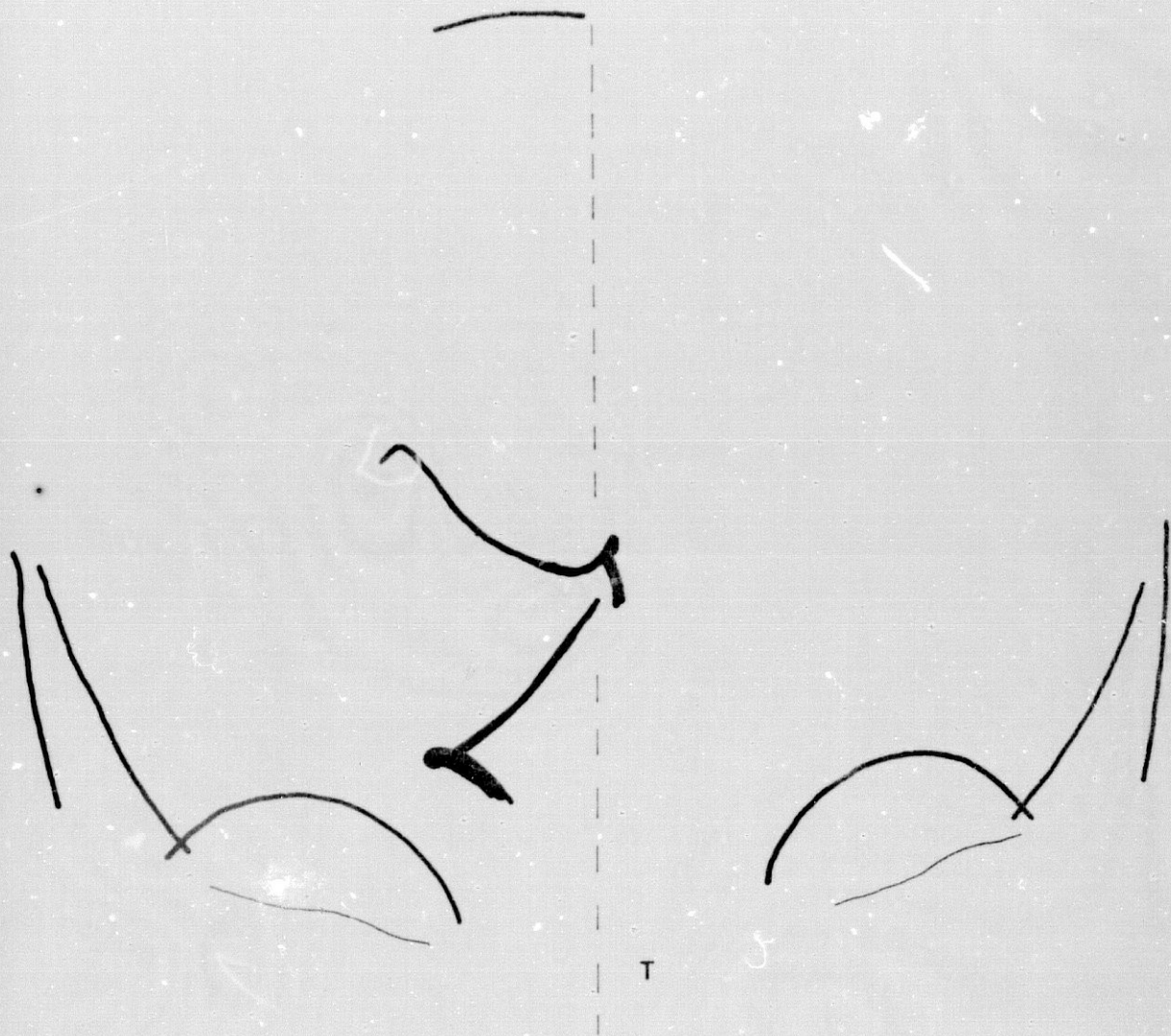


FIG. 245

S E R I E: Patológica

- Masa infraaxial posterior lateral
- (Infratentorial)

Caso nº P-43 (H-111)

Reseña personal: F.S.P. Mujer. 28 años.

Reseña clínica: Angioma cerebeloso derecho.

.....

FLEBOGRAMA LATERAL

Parámetros del ángulo venoso

- Método de Laine.....: H: 14; V: 21,5
- Método de Fischer.....: H: -2; V: 2
- Bisectriz de Fischer.....: B: 21,5º; M: 20º; D: -1,5º
- Método de Newton.....: V: 0; H: 3
- Ang. Tubérculo-Inion-Monro.: 20º
- Ang. Monro-Inion-Bregma....: 23º
- Ang. Tubérculo-Lambda-Monro: 12,5º
- Ang. Monro-Glabela-Bregma...: 42º
- Ang. Monro-Bregma-Tubérculo: 10º
- Ang. Monro-Tubérculo-Inion.: 69º
- Ang. Apex-Tubérculo-Monro..: 37,5º
- Ang. Monro-Apex-Bregma.....: 48,5º
- Lín. fleboaxial-Monro.....: 3

FLEBOGRAMA LATERAL

Parámetros de la v. cerebral interna

- Método de Potts y Taveras: A-B: 35; b: 3,5; c: 1,5; d: 0
- Método de Shah-Kendall...: A: 31,4; B: 34,6; C: 27,9
- Método de Babin y cols...: c: 52º; b: 46,5º
- Cociente de giro sagital.: 112
- Arco venoso profundo.....: 4,5

Proyecciones de la v. basal

- Eje incisural-vena basal.: A: -; B: 3; C: 2; D: -

FLEBOGRAMA FRONTAL

- Angulo venoso-Línea media.: -
- Talamoestriada-Línea media: -

Referencias angiográficas complementarias

- No se computan, por dudosos, los datos del flebograma frontal.
- Arteriograma frontal derecho: no se aprecian alteraciones significativas.
- Arteriograma lateral derecho: considerable estiramiento de todos los segmentos de la arteria cerebral anterior, que denota hidrocefalo.

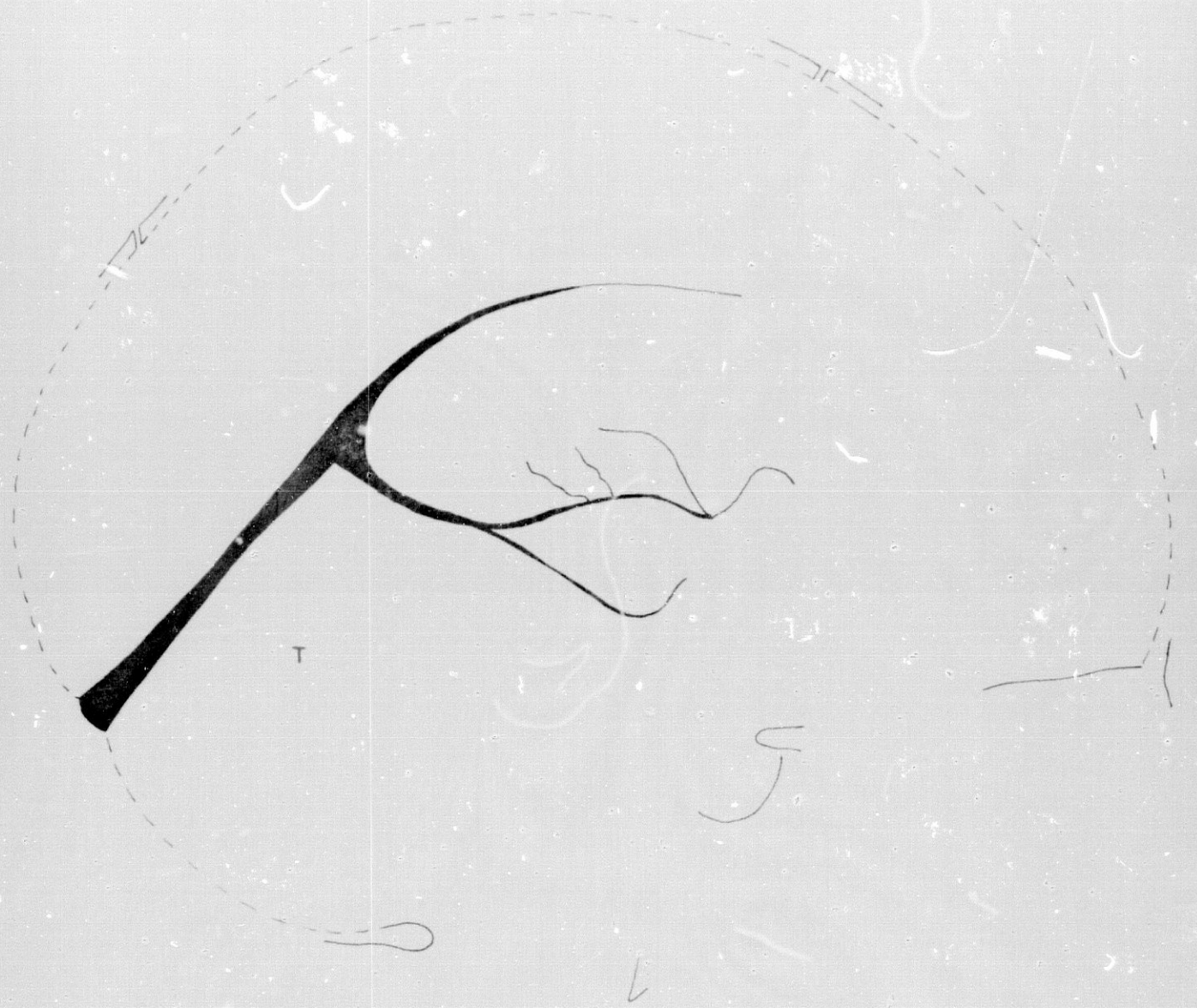


FIG. 246

S E R I E: Patológica

- Masa infraaxial posterior lateral
- (Infratentorial)

Caso nº P-44 (H-124)

Reseña personal: J.A.G. Varón. 46 años.

Reseña clínica: Quiste aracnoideo en fosa posterior.

.....

FLEBOGRAMA LATERAL

Parámetros del ángulo venoso

- Método de Laine.....:	H: 10,5;	V: 22	
- Método de Fischer.....:	H: -1,5;	V: 4	
- Bisectriz de Fischer.....:	B: 19,7°;	M: 20°;	D: 0,3°
- Método de Newton.....:	V: -3;	H: 5	
Ang. Tubérculo-Inion-Monro.:	20°		
Ang. Monro-Inion-Bregma.....:	19,5°		
Ang. Tubérculo-Lambda-Monro:	15°		
Ang. Monro-Glabela-Bregma..:	39,5°		
Ang. Monro-Bregma-Tubérculo:	11°		
Ang. Monro-Tubérculo-Inion.:	74°		
Ang. Apex-Tubérculo-Monro..:	37°		
Ang. Monro-Apex-Bregma.....:	47°		
Lín. fleboaxial-Monro.....:	2		

FLEBOGRAMA LATERAL

Parámetros de la v. cerebral interna

- Método de Potts y Taveras: A-B: 50; b: 4,5; c: 1; d: -0,5
- Método de Shah-Kendall....: A: 33,6; B: 35,7; C: 27,7
- Método de Babin y cols....: c: 50,5°; b: 43,5°
- Cociente de giro sagital.: 88
- Arco venoso profundo.....: 6

Proyecciones de la v. basal

- Eje incisural-vena basal.: A: 3; B: -4,5; C: -7,5; D: -

FLEBOGRAMA FRONTAL

- Angulo venoso-Línea media.: 0,5
- Talamoestriada-Línea media: 30

Referencias angiográficas complementarias

- Arteriograma frontal izquierdo: no se aprecian alteraciones significativas.
- Arteriograma lateral izquierdo: estiramiento de la arteria pericallosa y ligera elevación de los vasos silvianos: signos, ambos, de dilatación ventricular.

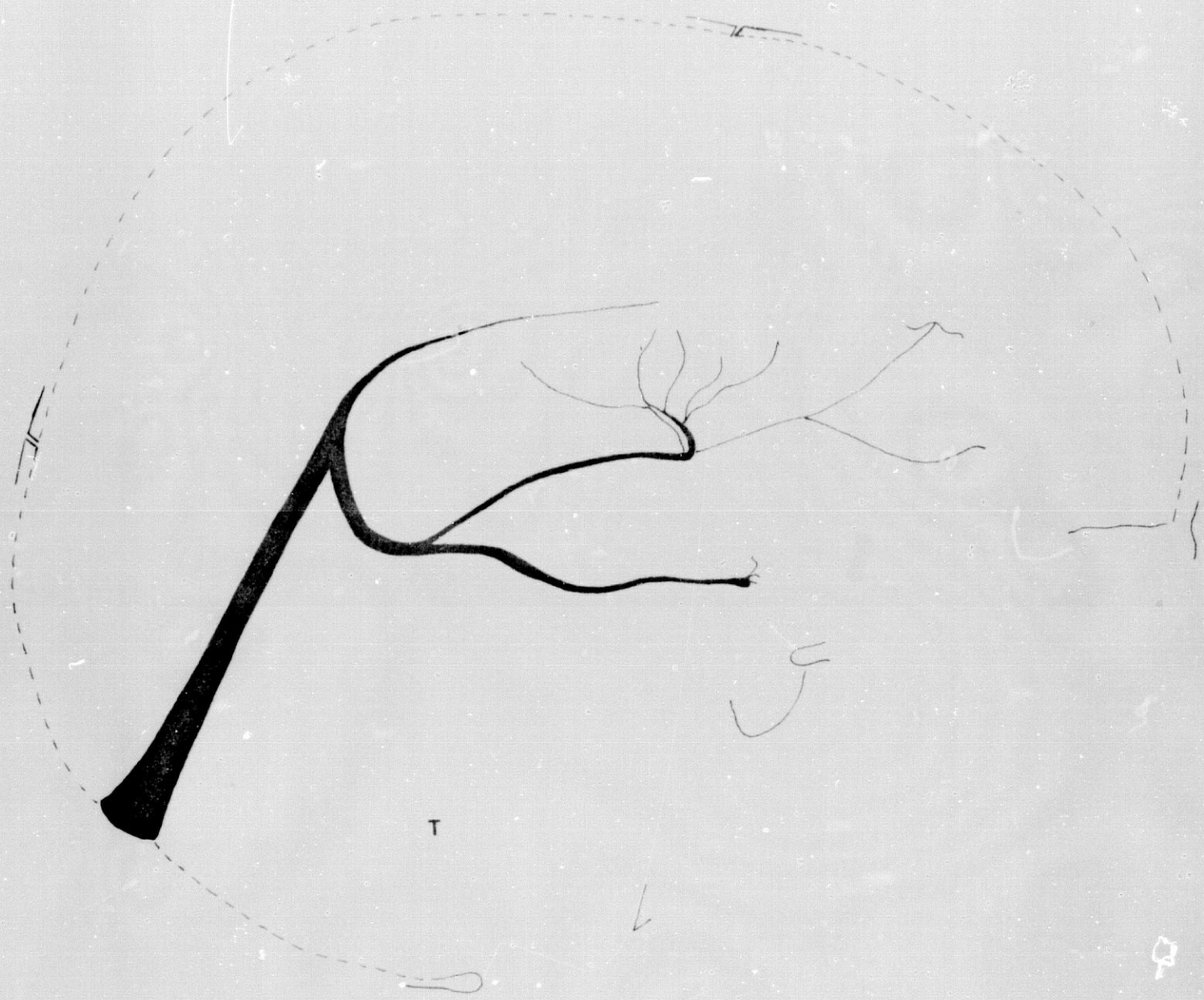


FIG. 247

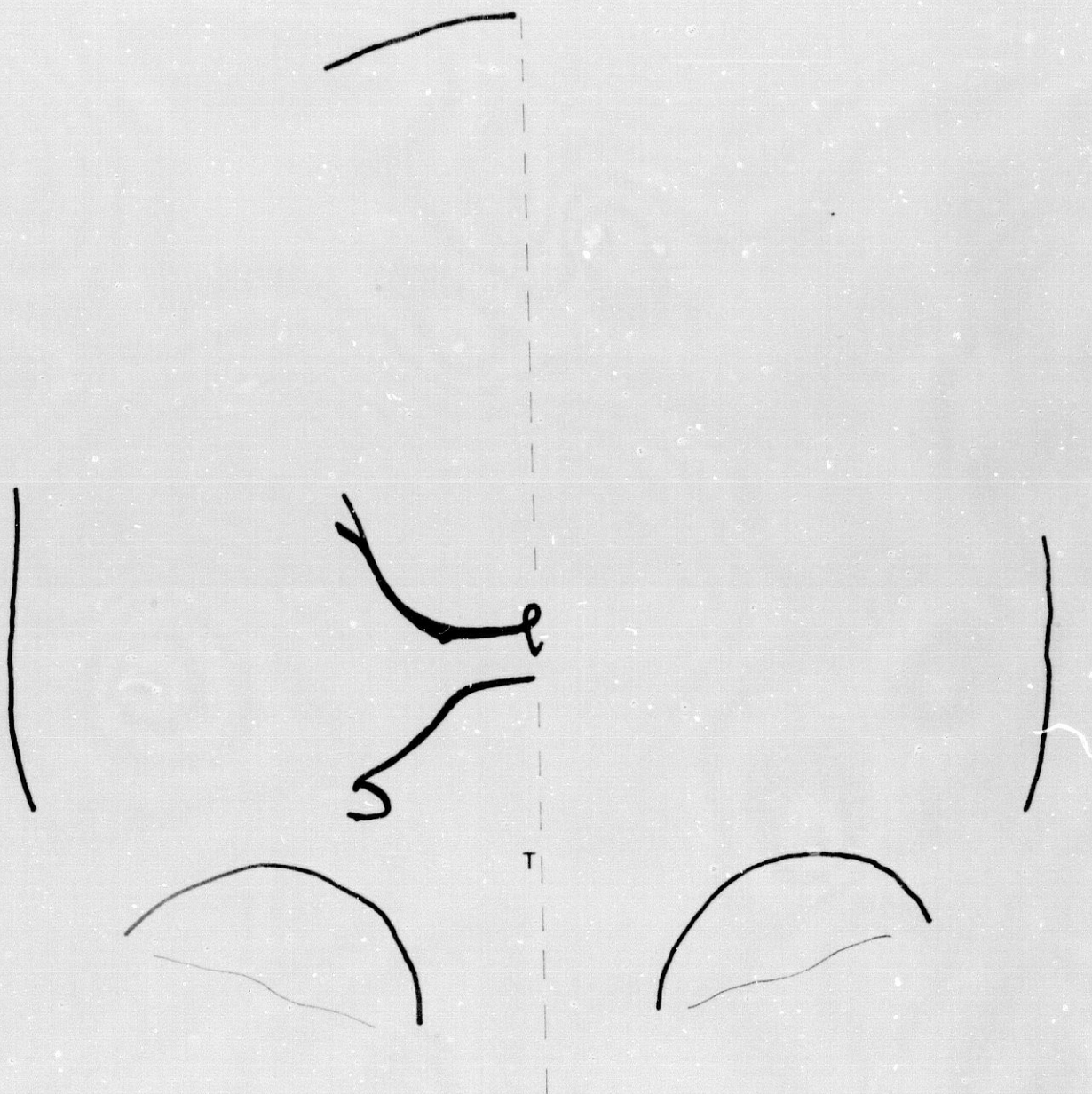


FIG. 248

S E R I E: Patológica

- Masa infraaxial posterior lateral
- (Infrasilviana posterior)

Caso nºP-45 (H-146)

Reseña personal: JL.A.R. Varón. 55 años.

Reseña clínica: Masa temporoparieto-occipital con predominio temporal

.....

FLEBOGRAMA LATERAL

Parámetros del ángulo venoso

- Método de Laine.....	H: 11;	V: 27,7
- Método de Fischer.....	H: -1;	V: 5,5
- Bisectriz de Fischer.....	B: 20º;	M: 21,5º; D: 1,5º
- Método de Newton.....	V: 1;	H: -0,7
Ang. Tubérculo-Inion-Monro.:	21,5º	
Ang. Monro-Inion-Bregma.....	18,5º	
Ang. Tubérculo-Lambda-Monro:	17º	
Ang. Monro-Glabela-Bregma..:	45,5º	
Ang. Monro-Bregma-Tubérculo:	14º	
Ang. Monro-Tubérculo-Inion.:	73º	
Ang. Apex-Tubérculo-Monro..:	39º	
Ang. Monro-Apex-Bregma.....	42º	
Lín. fleboaxial-Monro.....	2,5	

FLEBOGRAMA LATERAL

Parámetros de la v. cerebral interna

- Método de Potts y Taveras: A-B: 35; b: 9; c: 3; d: 0,5
- Método de Shah-Kendall...: A: 30; B: 39,2; C: 24,6
- Método de Babin y cols...: c: 64,5°; b: 48°
- Cociente de giro sagital.: 56
- Arco venoso profundo.....: 3,5

Proyecciones de la v. basal

Eje incisural-vena basal.: Inviabile (la v. basal no es anastomótica)

FLEBOGRAMA FRONTAL

- Angulo venoso-Línea media.: 7,5
- Talamoestriada-Línea media: 9

Referencias angiográficas complementarias

- Arteriograma frontal: desviación cuadrada de la arteria cerebral anterior.
- Arteriograma lateral: elevación y adelantamiento de las ramas insulares y parietales de la arteria cerebral media.

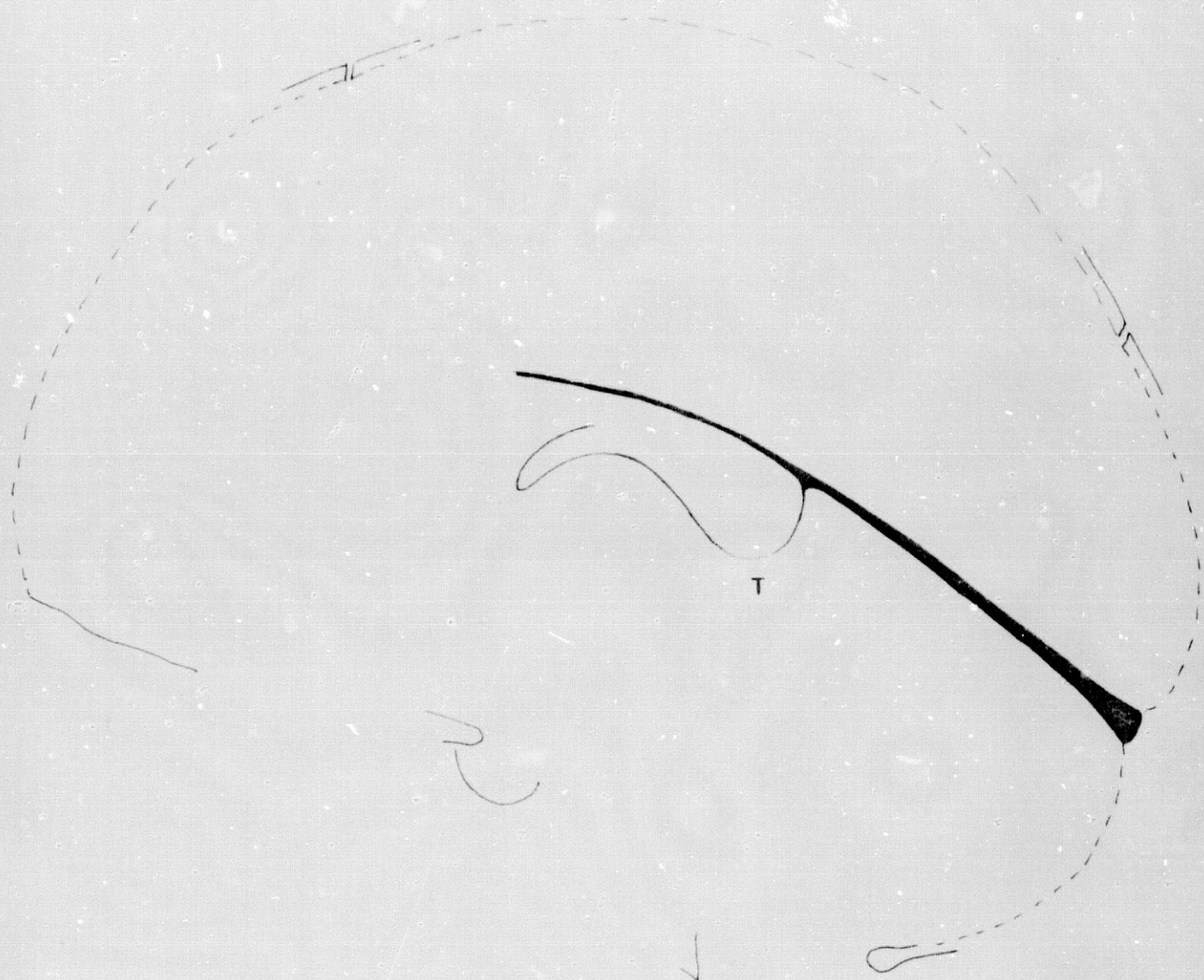


FIG 249

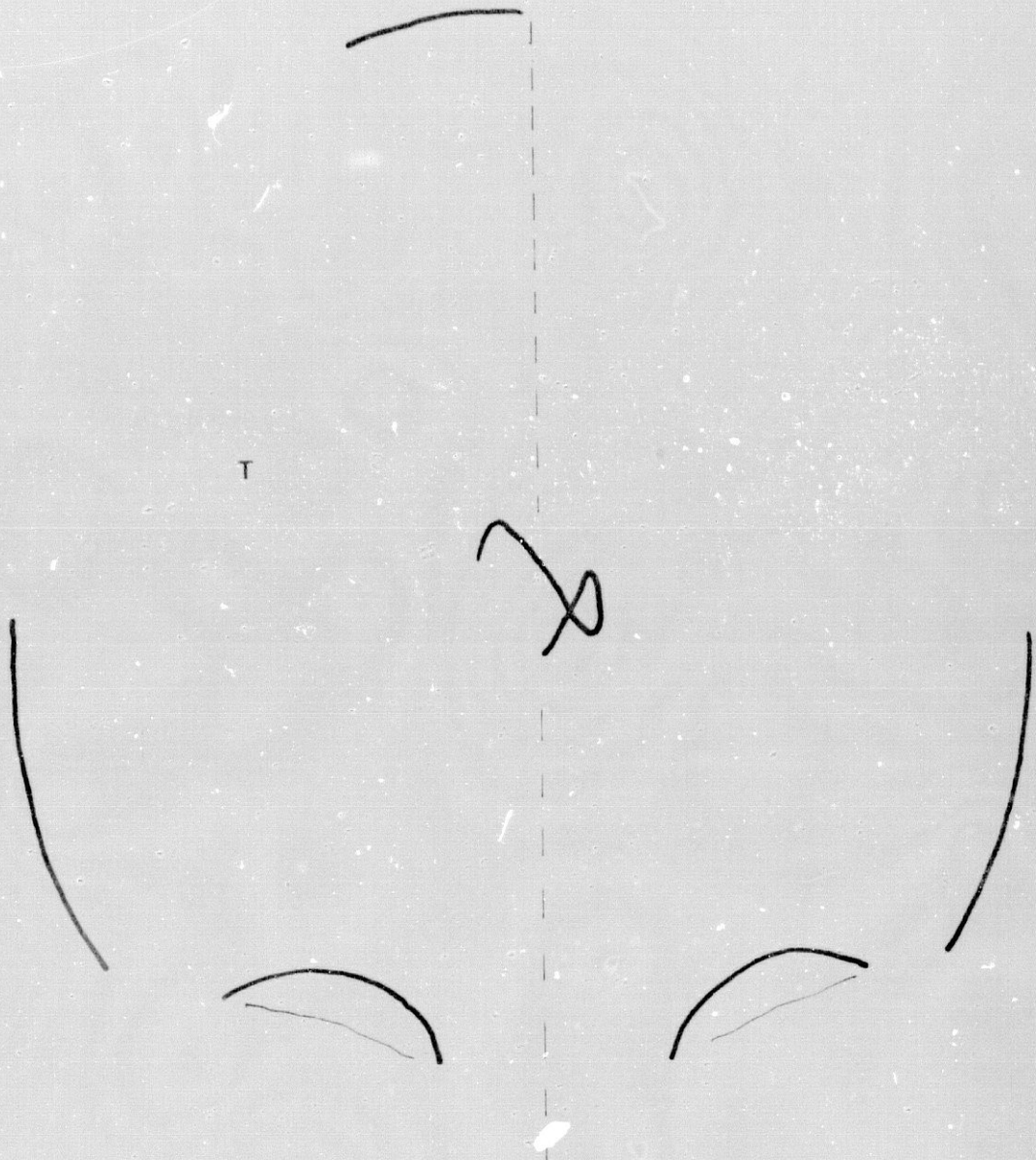


FIG. 250

S E R I E: Patológica

- Masa infraaxial posterior lateral

- (Infratentorial)

Caso nº P-46 (H-182)

Reseña personal: L.G.R. Varón. 33 años.

Reseña clínica: Hemangioblastoma cerebeloso.

.....

FLEBOGRAMA LATERAL
=====

Parámetros del ángulo venoso

- Método de Laine.....:	H: 12,5;	V: 20	
- Método de Fischer.....:	H: -2,5;	V: 1	
- Bisectriz de Fischer.....:	B: 18,4º;	M: 18º;	D: -0,4º
- Método de Newton.....:	V: 0;	H: 11	
Ang. Tubérculo-Inion-Monro.:	18º		
Ang. Monro-Inion-Bregma....:	18,5º		
Ang. Tubérculo-Lambda-Monro:	11º		
Ang. Monro-Glabela-Bregma..:	44,5º		
Ang. Monro-Bregma-Tubérculo:	15º		
Ang. Monro-Tubérculo-Inion.:	67,5º		
Ang. Apex-Tubérculo-Monro...:	36º		
Ang. Monro-Apex-Bregma.....:	43,8º		
Lín. fleboaxial-Monro.....:	3		

FLEBOGRAMA LATERAL

Parámetros de la v. cerebral interna

- Método de Potts y Taveras: A-B: 33; b: 6,5; c: 1,8; d: 0,5
- Método de Shah-Kendall...: A: 31,9; B: 37; C: 26,5
- Método de Babin y cols...: c: 53°; b: 41°
- Cociente de giro sagital.: 101
- Arco venoso profundo.....: 7

Proyecciones de la v. basal

Eje incisural-vena basal.: A: 6; B: 0,5; C: -6,5; D: -

FLEBOGRAMA FRONTAL

- Angulo venoso-Línea media.: 0
- Talamoestriada-Línea media: 22,5

Referencias angiográficas complementarias

- Arteriograma frontal izquierdo: no se aprecian alteraciones significativas.
- Arteriograma lateral izquierdo: no se aprecian alteraciones significativas.



FIG. 251

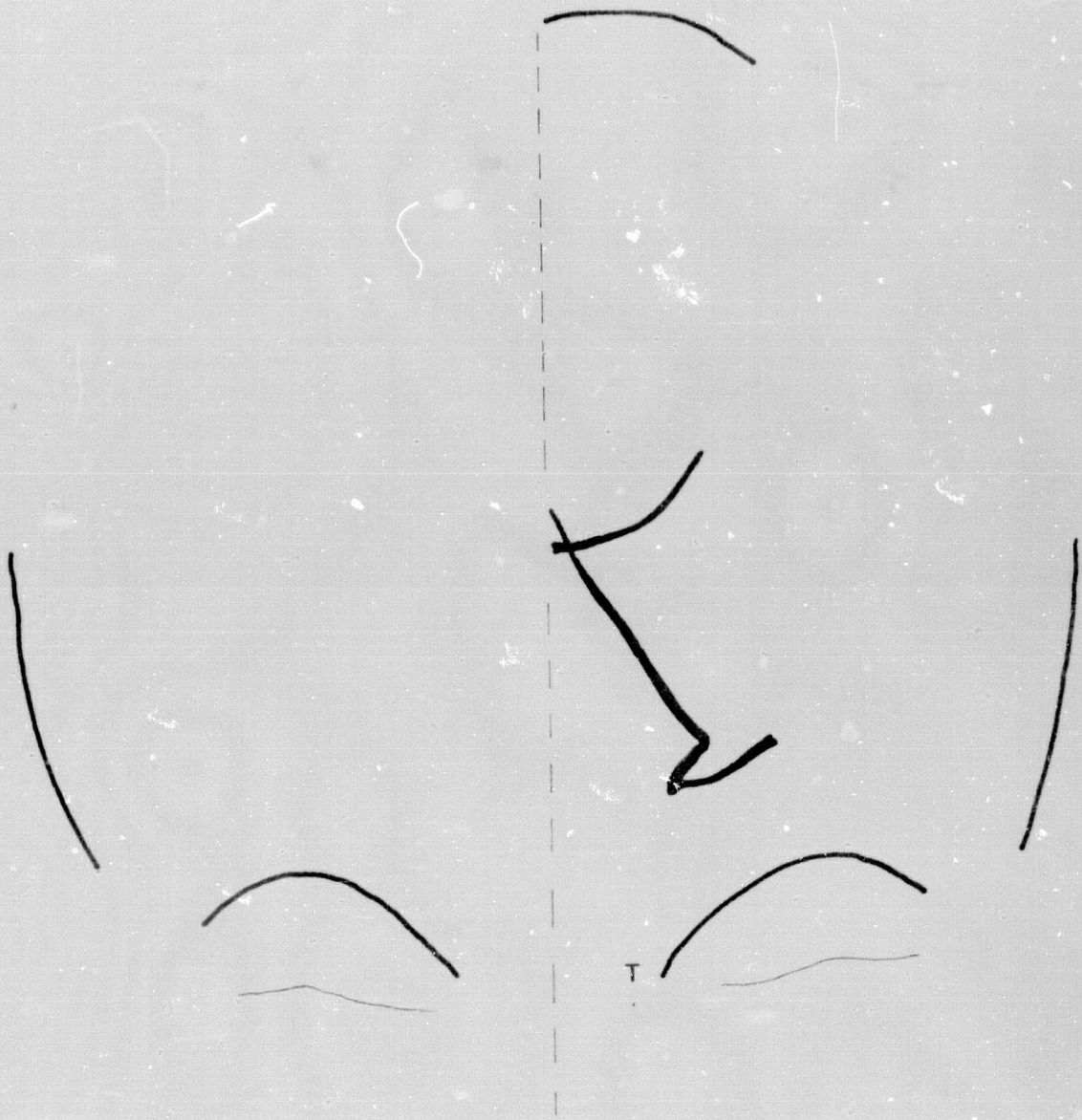


FIG. 252

S E R I E: Patológica

- Masa infraaxial posterior lateral
- (Infratentorial)

Caso nº P-47 (H-242)

Reseña personal: R.R.R. Varón. 42 años.

Reseña clínica: Tumor cerebeloso izquierdo. El enfermo no fue intervenido: se desconoce la naturaleza exacta del tumor.

.....

FLEBOGRAMA LATERAL
=====

Parámetros del ángulo venoso

- Método de Laine.....: H: 16; V: 23
- Método de Fischer.....: H: 2,5; V: 8,5
- Bisectriz de Fischer.....: B: 20,7º; M: 23,5º; D: 2,8º
- Método de Newton.....: V: 7; H: 4
- Ang. Tubérculo-Inion-Monro.: 23,5º
- Ang. Monro-Inion-Bregma....: 18º
- Ang. Tubérculo-Lambda-Monro: 17,5º
- Ang. Monro-Glabela-Bregma..: 43º
- Ang. Monro-Bregma-Tubérculo: 15º
- Ang. Monro-Tubérculo-Inion.: 71,5º
- Ang. Apex-Tubérculo-Monro..: 30,5º
- Ang. Monro-Apex-Bregma.....: 50,5º
- Lín. fleboaxial-Monro.....: -2

FLEBOGRAMA LATERAL

Parámetros de la v. cerebral interna

- Método de Potts y Taveras: A-B: 31; b: 4,5; c: -1; d: 0
- Método de Shah-Kendall...: A: 38,9; B: 39,8; C: 31,6
- Método de Babin y cols...: c: 64°; b: 52°
- Cociente de giro sagital.: 65
- Arco venoso profundo.....: 5

Proyecciones de la v. basal

- Eje incisural-vena basal.: A: -; B: 3; C: -5; D: -

FLEBOGRAMA FRONTAL

- Angulo venoso-Línea media.: -2
- Talamoestriada-Línea media: 29

Referencias angiográficas complementarias

- Arteriograma frontal izquierdo: estiramiento lateral homogéneo del complejo silviano.
- Arteriograma lateral izquierdo: discreta elevación del borde inferior del triángulo silviano.



FIG. 253

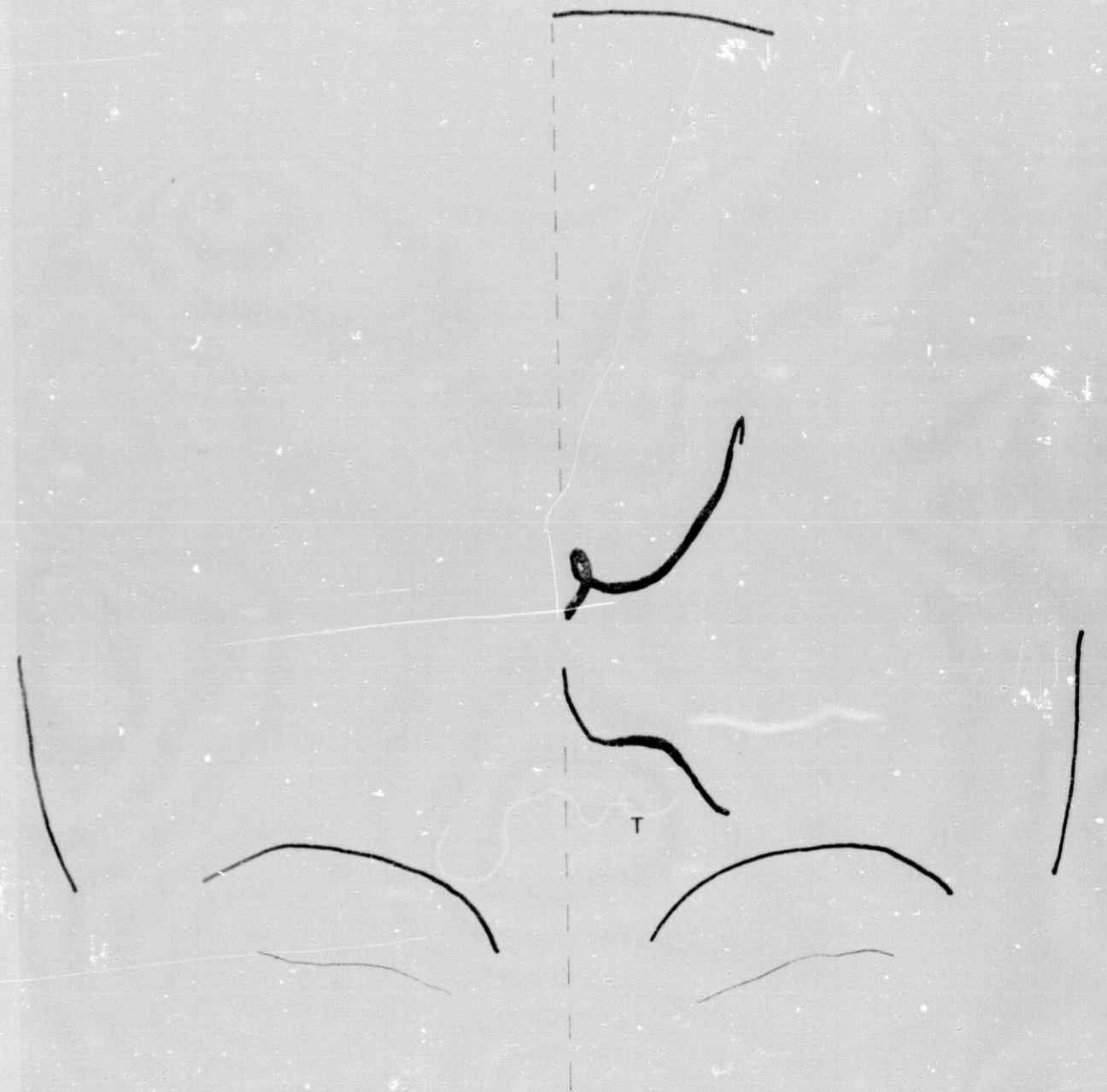


FIG. 254

S E R I E: Patológica

- Infraaxial posterior lateral

- (Retrosilviana inferior)

Caso nº P-48 (H-267)

Reseña personal: C.M.R. Mujer. 37 años.

Reseña clínica: Tumor temporooccipital derecho. La enferma no fue intervenida: se desconoce la naturaleza exacta del tumor.

.....

FLEBOGRAMA LATERAL

Parámetros del ángulo venoso

- Método de Laine.....:	H: 9,5;	V: 19,5	
- Método de Fischer.....:	H: 6;	V: -2	
- Bisectriz de Fischer.....:	B: 21,5º;	M: 20º;	D: -1,5º
- Método de Newton.....:	V: 0;	H: 0	
Ang. Tubérculo-Inion-Monro.:	20º		
Ang. Monro-Inion-Bregma....:	23º		
Ang. Tubérculo-Lambda-Monro:	11,5º		
Ang. Monro-Glabela-Bregma...:	39,5º		
Ang. Monro-Bregma-Tubérculo:	9º		
Ang. Monro-Tubérculo-Inion.:	76º		
Ang. Apex-Tubérculo-Monro...:	42,5º		
Ang. Monro-Apex-Bregma.....:	50º		
Lín. fleboaxial-Monro.....:	6		

FLEBOGRAMA LATERAL

Parámetros de la v. cerebral interna

- Método de Potts y Taveras: A-B: 40; b: 8; c: 1,7; d: 0,2
- Método de Shah-Kendall...: A: 32,7; B: 40,8; C: 30,1
- Método de Babin y cols...: c: 54°; b: 47,5°
- Cociente de giro sagital.: 100
- Arco venoso profundo.....: 3

Proyecciones de la v. basal

Eje incisural-vena basal.: A: 11,5; B: 2,5; C: -6,5; D: -6,5

FLEBOGRAMA FRONTAL

- Angulo venoso-Línea media.: - 3
- Talamoestriada-Línea media: Inviabile

Referencias angiográficas complementarias

- Arteriograma frontal: ligero desplazamiento lateral de las últimas ramas silvianas.
- Arteriograma lateral: ligera elevación de la porción posterior del triángulo silviano.
- El segmento opacificado de la vena talamoestriada en el flebograma frontal es anormalmente corto.

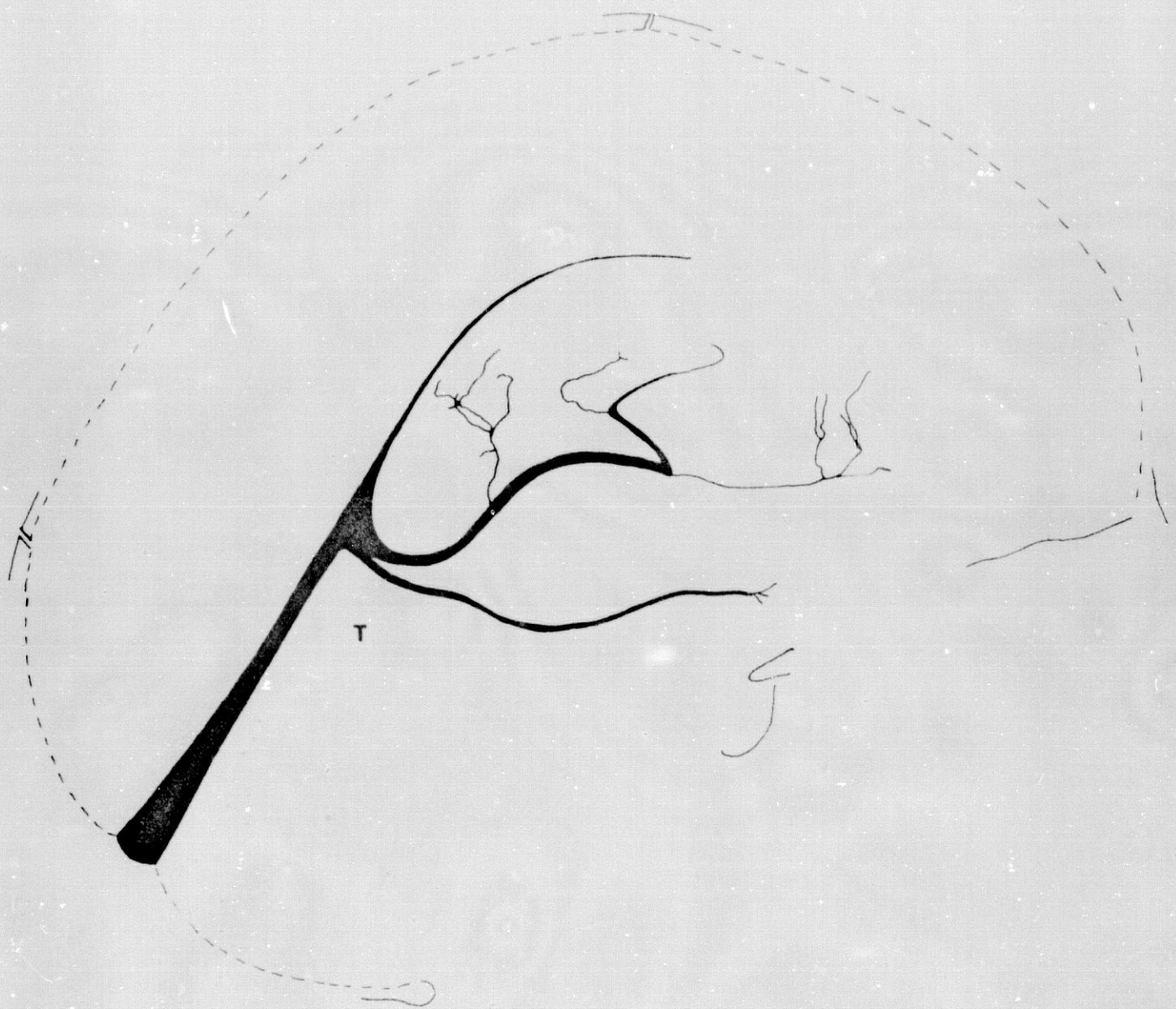


FIG. 255

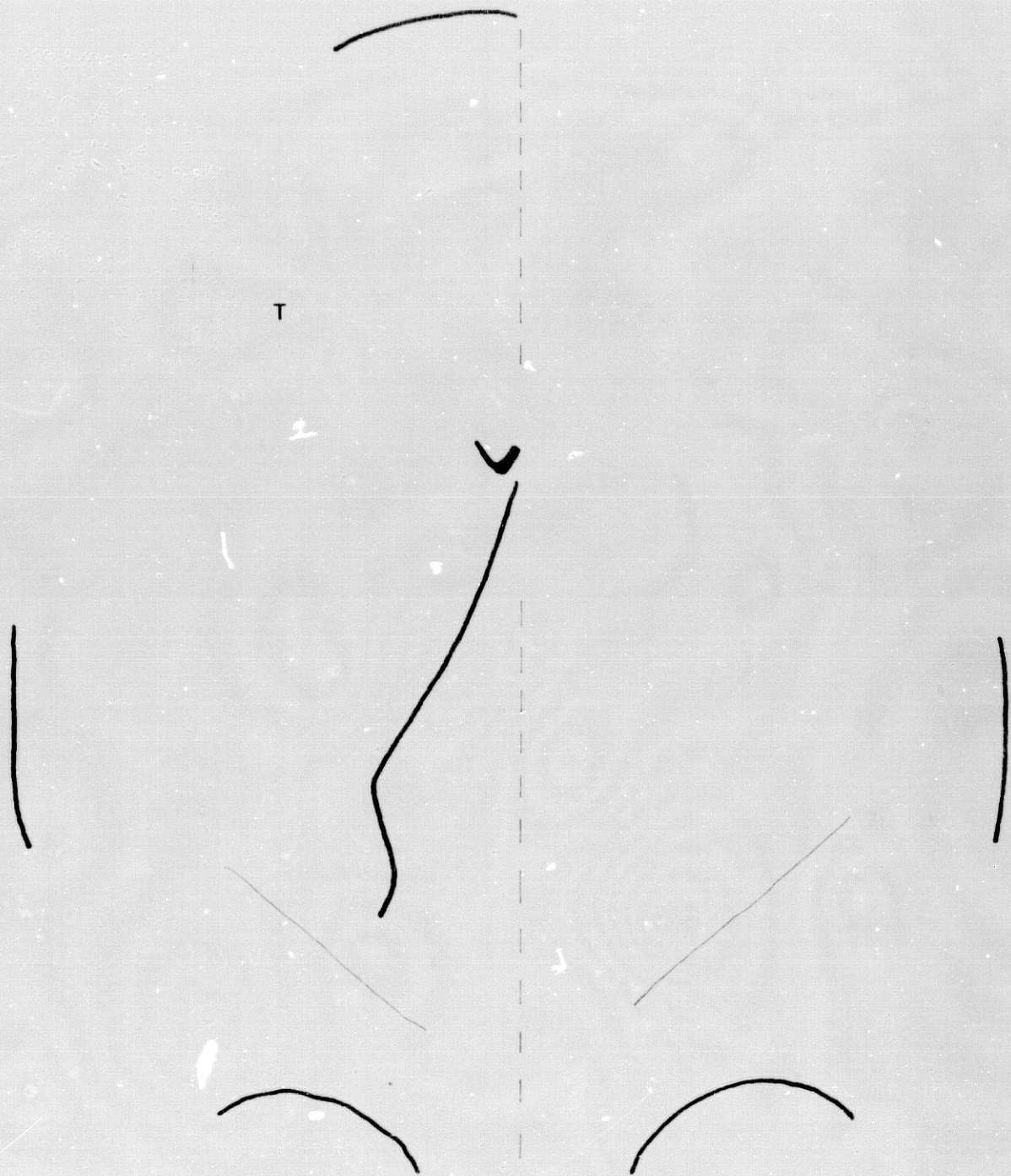


FIG. 256

Tumores supraaxiales medios parasagittales

S E R I E: Patológica

- Supraaxial media parasagital
- (Masa suprasilviana anterior)

Caso nº P-49 (H-33)

Reseña personal: A.P.G. Mujer. 31 años.

Reseña clínica: Pequeña neoplasia a nivel de la cisura interhemisférica. La enferma no fue intervenida: se desconoce la naturaleza exacta del tumor.

.....

FLEBOGRAMA LATERAL

Parámetros del ángulo venoso

- Método de Laine.....:	H: 11,5;	V: 20,5	
- Método de Fischer.....:	H: 5;	V: 2,5	
- Bisectriz de Fischer.....:	B: 18,5º;	M: 16º;	D: -2,5º
- Método de Newton.....:	V: -1;	H: 8	
Ang. Tubérculo-Inion-Monro.:	16º;		
Ang. Monro-Inion-Bregma.....:	21º		
Ang. Tubérculo-Lambda-Monro:	11º		
Ang. Monro-Glabela-Bregma...:	40º		
Ang. Monro-Bregma-Tubérculo:	17º		
Ang. Monro-Tubérculo-Inion.:	69,5º		
Ang. Apex-Tubérculo-Monro...:	39,5º		
Ang. Monro-Apex-Bregma.....:	46º		
Lín. fleboaxial-Monro.....:	4,5		

FLEBOGRAMA LATERAL

Parámetros de la v. cerebral interna

- Método de Potts y Taveras: A-B: 40; b: 8,2; c: 2,2; d: 0
- Método de Shah-Kendall...: A: 30,9; B: 36,8; C: 23,7
- Método de Babin y cols...: c: 46°; b: 38°
- Cociente de giro sagital.: 116
- Arco venoso profundo.....: 6

Proyecciones de la v. basal

Eje incisural-vena basal.: A: -; B: -7; C: -10; D: -

FLEBOGRAMA FRONTAL

- Angulo venoso-Línea media.: 0
- Talamoestriada-Línea media: 21,2

Referencias angiográficas complementarias

- Arteriograma frontal derecho: ligera desviación proximal de la arteria cerebral anterior.
- Arteriograma lateral derecho: rectificación y acusado declive de la arteria pericallosa a nivel parietal.

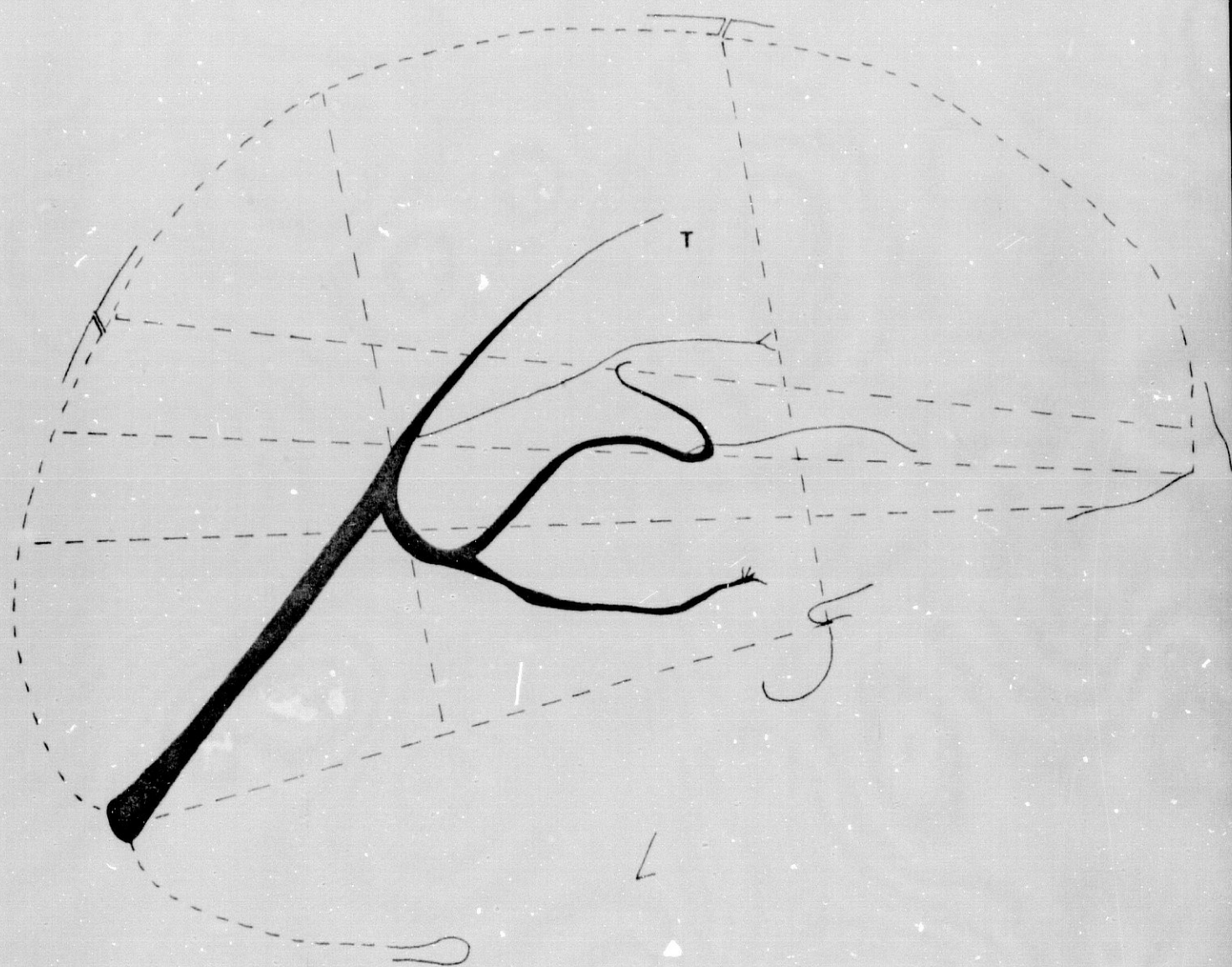


FIG. 259

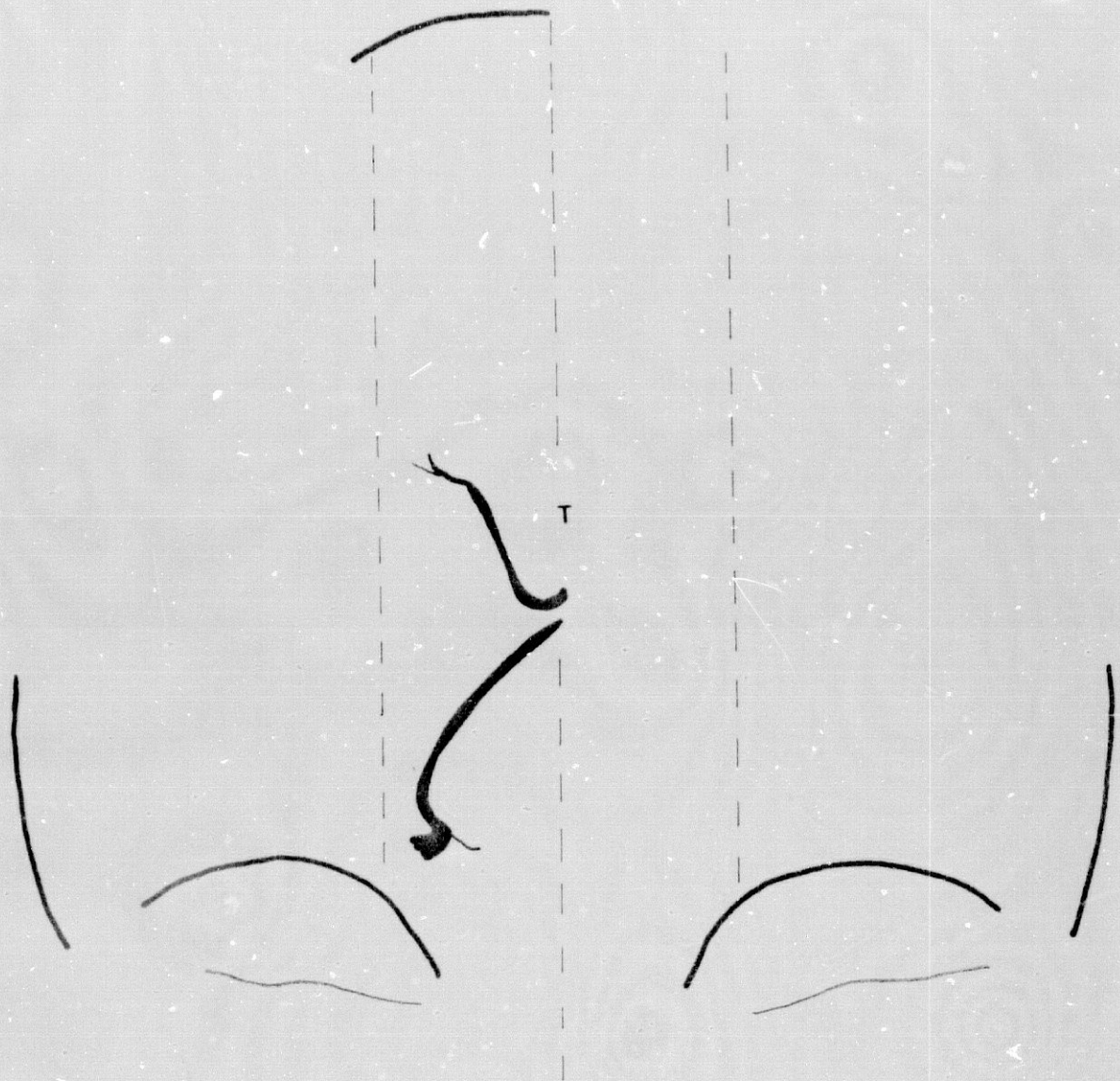


FIG. 260

S E R I E: Patológica

- Masa supraaxial media parasagital

- (Suprasilviana paramedial)

Caso nº P-50 (H-42)

Reseña personal: B.A.L. Varón. 51 años.

Reseña clínica: Meningioma parasagital parietal derecho.

.....

FLEBOGRAMA LATERAL

Parámetros del ángulo venoso

- Método de Laine.....: H: 17; V: 19
- Método de Fischer.....: H: 6; V: 2,5
- Bisectriz de Fischer.....: B: 20,5º; M: 17º; D: -3,5º
- Método de Newton.....: V: -3; H: 9
- Ang. Tubérculo-Inion-Monro.: 17º
- Ang. Monro-Inion-Bregma.....: 24º
- Ang. Tubérculo-Lambda-Monro: 9º
- Ang. Monro-Glabela-Bregma...: 43º
- Ang. Monro-Bregma-Tubérculo: 12º
- Ang. Monro-Tubérculo-Inion.: 60,5º
- Ang. Apex-Tubérculo-Monro...: 34º
- Ang. Monro-Apex-Bregma.....: 47,5º
- Lín. fleboaxial-Monro.....: -3

FLEBOGRAMA LATERAL

Parámetros de la v. cerebral interna

- Método de Potts y Taveras: A-B: 40; b: 7,5; c: 3; d: 0,5
- Método de Shah-Kendall...: A: 28,6; B: 34; C: 21,3
- Método de Babin y cols...: c: 45°; b: 36°
- Cociente de giro sagital.: 116
- Arco venoso profundo.....: 4,2

Proyecciones de la v. basal

- Eje incisural-vena basal.: Inviabile (la v. basal no es anastomótica)

FLEBOGRAMA FRONTAL

- Angulo venoso-Línea media.: 5
- Talamoestriada-Línea media: 19

Referencias angiográficas complementarias

- Arteriograma frontal: no se aprecian alteraciones significativas.
- Arteriograma lateral: gran proliferación de vasos patológicos a nivel de la convexidad superior del cráneo, procedentes de las ramas cerebrales anteriores y silvianas.

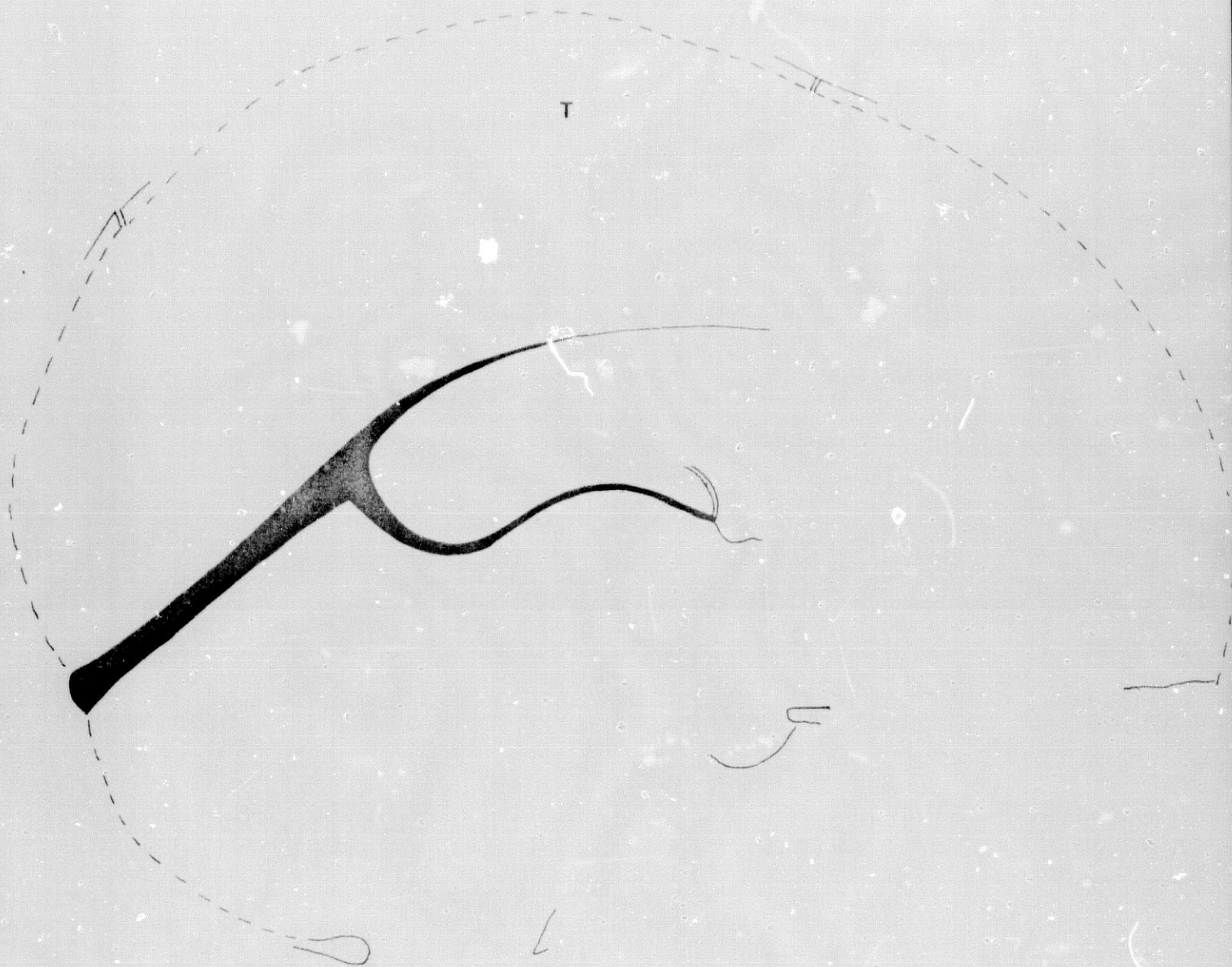


FIG. 261



FIG. 262

S E R I E: Patológica

- Masa supraaxial media parasagital
- (Suprasilviana línea media)

Caso nº P-51 (H-55)

Reseña personal: C.G.J. Varón. 53 años.

Reseña clínica: Meningioma de la hoz parietal izquierdo.

.....

FLEBOGRAMA LATERAL

Parámetros del ángulo venoso

- Método de Laine.....:	H: 13,5;	V: 18	
- Método de Fischer.....:	H: 2,5;	V: 3,5	
- Bisectriz de Fischer.....:	B: 19,7°;	M: 19°;	D: -0,7
- Método de Newton.....:	V: -2;	H: 2	
Ang. Tubérculo-Inion-Monro..:	19°		
Ang. Monro-Inion-Bregma.....:	20,5°		
Ang. Tubérculo-Lambda-Monro:	11°		
Ang. Monro-Glabela-Bregma...:	45°		
Ang. Monro-Bregma-Tubérculo:	15°		
Ang. Monro-Tubérculo-Inion..:	67,5°		
Ang. Apex-Tubérculo-Monro...:	30,5°		
Ang. Monro-Apex-Bregma.....:	58,5°		
Lín. fleboaxial-Monro.....:	2		

FLEBOGRAMA LATERAL

Parámetros de la v. cerebral interna

- Método de Potts y Taveras: A-B: 36; b: 4; c: 0; d: -0,5
- Método de Shah-Kendall....: A: 30,4; B: 36,6; C: 29,3;
- Método de Babin y cols....: c: 49°; b: 45°
- Cociente de giro sagital.: 93
- Arco venoso profundo.....: Inviabile

Proyecciones de la v. basal

- Eje incisural-vena basal.: A: 8; B: 0; C: -12,5; D: -

FLEBOGRAMA FRONTAL

- Angulo venoso-Línea media.: 9
- Talamoestriada-Línea media: 1

Referencias angiográficas complementarias

- El segmento opacificado de la vena talamoestriada en la proyección lateral es anormalmente corto.
- Arteriograma frontal: ligera desviación distal de la arteria cerebral anterior.
- Arteriograma lateral: leve descenso de la porción posterior del triángulo silviano.

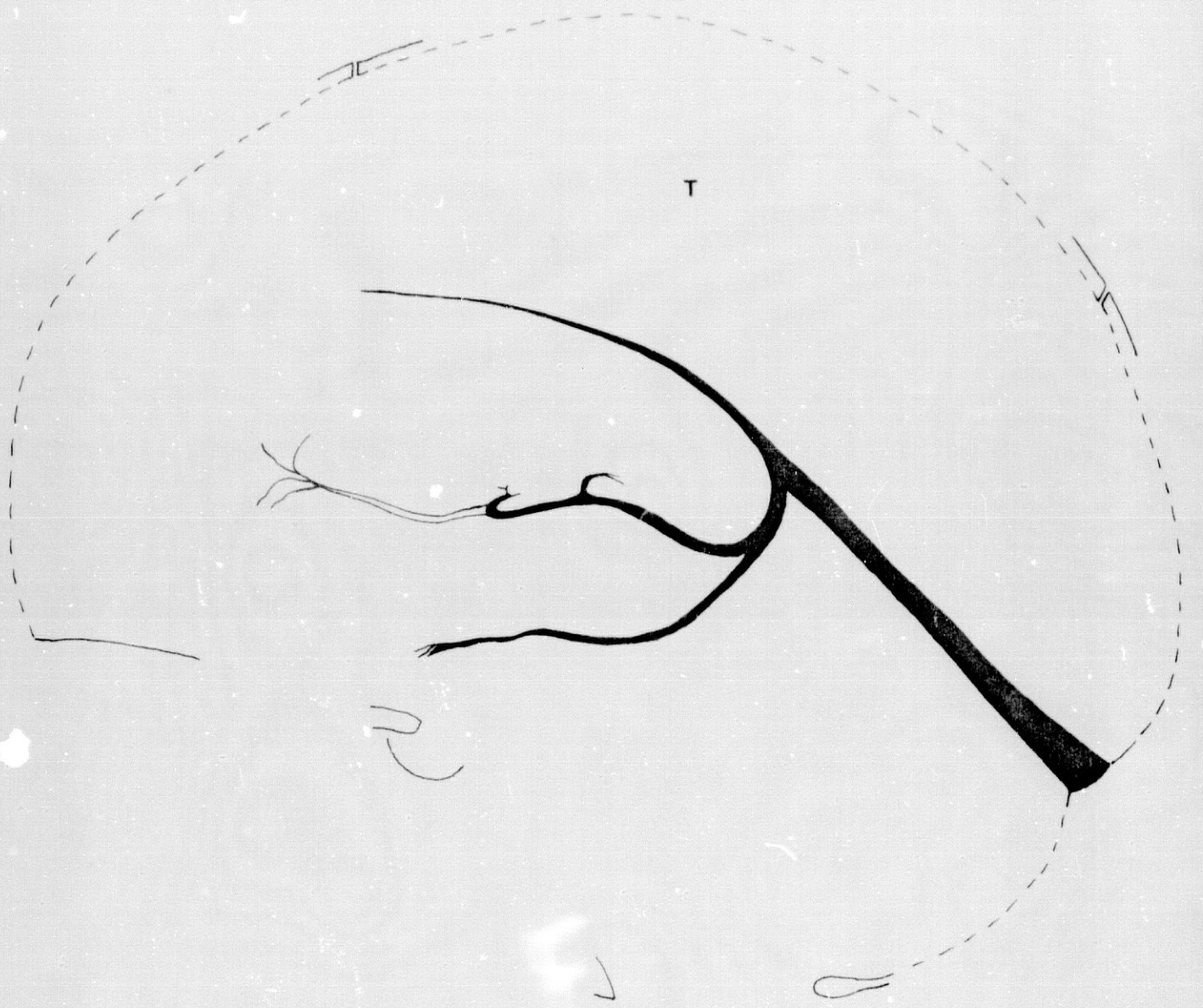


FIG. 263



FIG. 264

S E R I E: Patológica

- Masa supraaxial media parasagital
- (Suprasilviana posterior)

Caso nº P-52 (H-88)

Reseña personal: E.R.C. Varón. 61 años.

Reseña clínica: Recidiva de glioblastoma parasagital parietal izquierdo.

.....

FLEBOGRAMA LATERAL
=====

Parámetros del ángulo venoso

- Método de Laine.....:	H: 21;	V: 13	
- Método de Fischer.....:	H: 0;	V: -4,5	
- Bisectriz de Fischer.....:	B: 20,5;	M: 17º;	D: -3,5º
- Método de Newton.....:	V: -4;	H: 1	
Ang. Tubérculo-Inion-Monro.:	17º		
Ang. Monro-Inion-Bregma.....:	24º		
Ang. Tubérculo-Lambda-Monro:	7º		
Ang. Monro-Glabela-Bregma...:	48º		
Ang. Monro-Bregma-Tubérculo:	17º		
Ang. Monro-Tubérculo-Inion.:	54º		
Ang. Apex-Tubérculo-Monro...:	24º		
Ang. Monro-Apex-Bregma.....:	51º		
Lín. fleboaxial-Monro.....:	0		

FLEBOGRAMA LATERAL

Parámetros de la v. cerebral interna

- Método de Potts y Taveras: Inviabile (inversión del arco de la v.c.i.)
- Método de Shah-Kendall...: A: 25,1 B: 24,7; C: 20,3
- Método de Babin y cols...: c: 42,5º; b: 35º
- Cociente de giro sagital.: 117
- Arco venoso profundo.....: 10

Proyecciones de la v. basal

Eje incisural-vena basal.: A: 7; B: -2,5; C: -9; D: -

FLEBOGRAMA FRONTAL

- Angulo venoso-Línea media.: 5,5
- Talamoestriada-Línea media: 15,5

Referencias angiográficas complementarias

- Arteriograma frontal: desviación cuadrada con predominio distal de la arteria cerebral anterior. Gran desplazamiento medial de la cerebral posterior.
- Arteriograma lateral: depresión de la porción terminal de la arteria pericallosa. Gran desplazamiento inferior de la arteria cerebral posterior. Notable estiramiento de la arteria coroidea anterior. Estira~~---~~miento y paralelismo de los vasos parietales.



FIG. 265

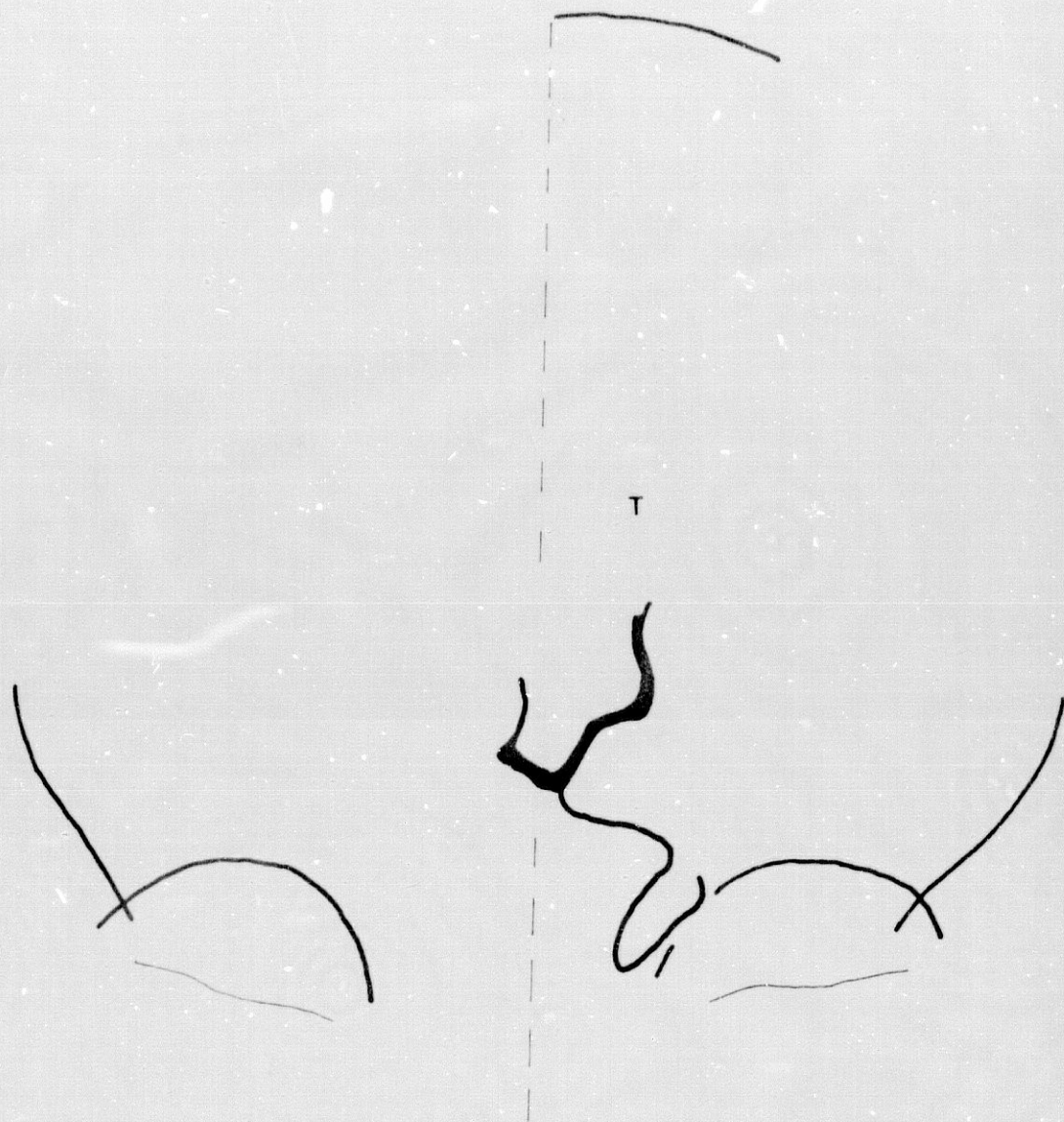


FIG. 266

S E R I E: Patológica

- Masa supraaxial media parasagital
- (Suprasilviana anterior)

Caso nº P-53 (H-127)

Reseña personal: J.A. M.L. Varón. 35 años.

Reseña clínica: Tumor frontal posterior profundo. El enfermo no fue intervenido: se desconoce la naturaleza exacta del tumor.

.....

FLEBOGRAMA LATERAL

Parámetros del ángulo venoso

- Método de Laine.....:	H: 18;	V: 20
- Método de Fischer.....:	H: -2,5;	V: 2
- Bisectriz de Fischer.....:	B: 20°;	M: 21,5°; D: 1,5°
- Método de Newton.....:	V: 0;	H: 0
Ang. Tubérculo-Inion-Monro.:	21,5°	
Ang. Monro-Inion-Bregma....:	18,5°	
Ang. Tubérculo-Lambda-Monro:	15,5°	
Ang. Monro-Glabela-Bregma..:	46,5°	
Ang. Monro-Bregma-Tubérculo:	19°	
Ang. Monro-Tubérculo-Inion.:	61,5°	
Ang. Apex-Tubérculo-Monro..:	27,5°	
Ang. Monro-Apex-Bregma.....:	43,5°	
Lín. fleboaxial-Monro.....:	-2,5	

FLEBOGRAMA LATERAL

Parámetros de la v. cerebral interna

- Método de Potts y Taveras: A-B: 36; b: 4; c: 2; d: 1,5
- Método de Shah-Kendall....: A: 33,2; 36,3; 30,2
- Método de Babin y cols....: c: 50°; b: 43°
- Cociente de giro sagital.: Inviabile (no se opacificó el SSI)
- Arco venoso profundo.....: 6

Proyecciones de la v. basal

- Eje incisural-vena basal.: Inviabile (la v. basal no es anastomótica)

FLEBOGRAMA FRONTAL

- Angulo venoso-Línea media.: 2
- Talamoestriada-Línea media: 17,2

Referencias angiográficas complementarias

- Arteriograma frontal: no se aprecian alteraciones significativas.
- Arteriograma lateral: arrugamiento de la arteria pericallosa, con rectificación y elongación de alguna de sus ramas superficiales.

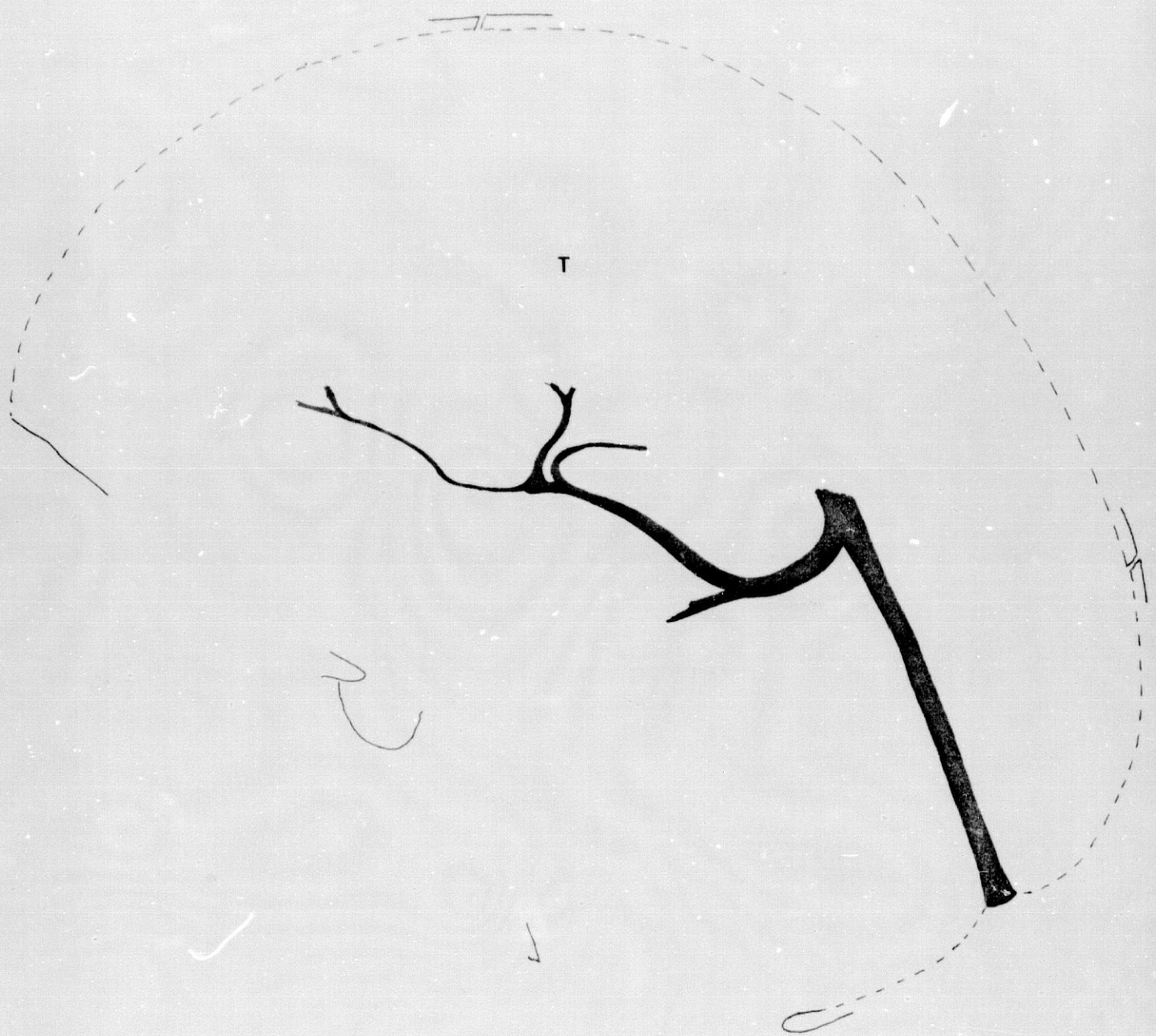


FIG. 267

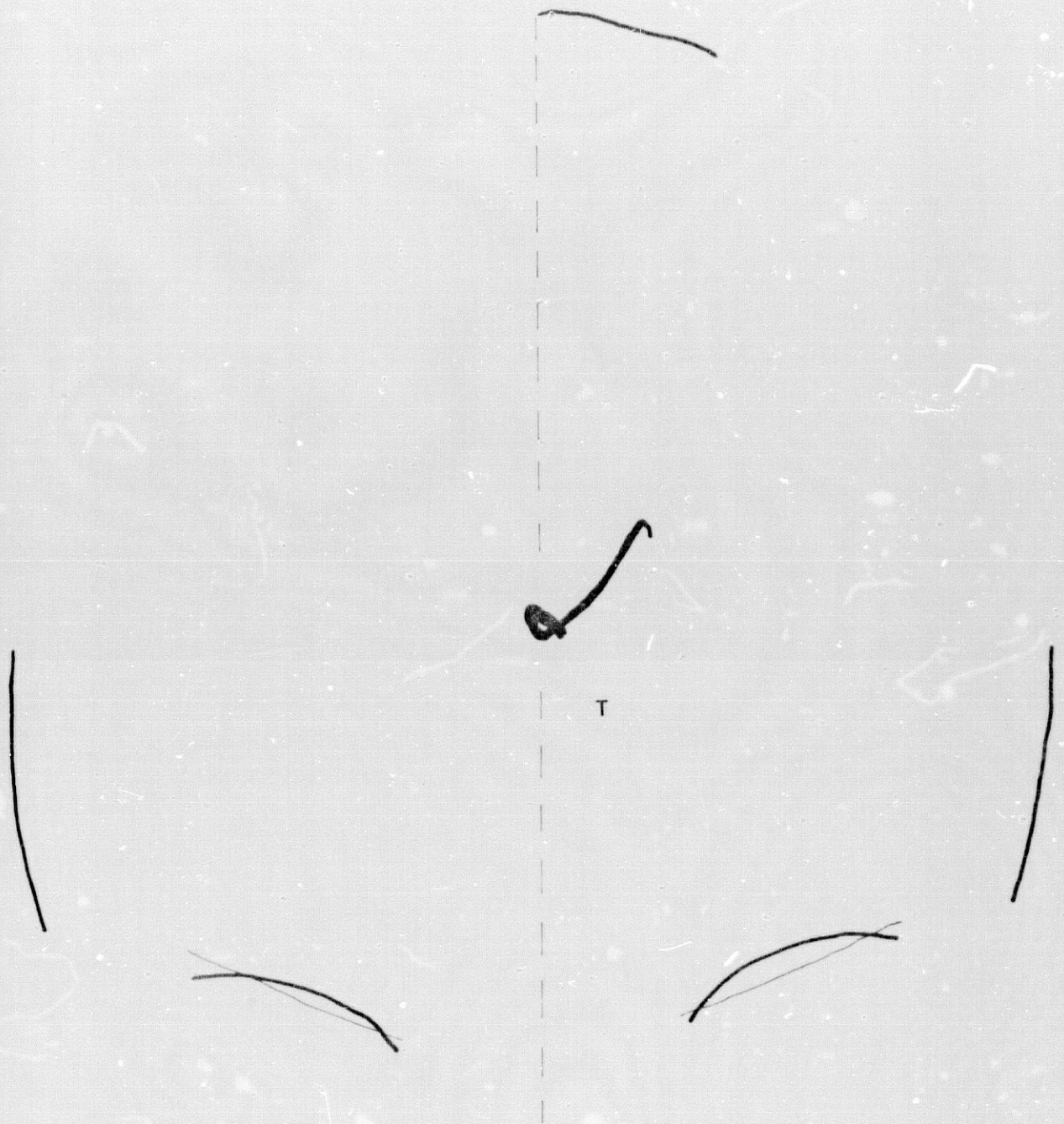


FIG. 268

S E R I E: Patológica

- Masa supraaxial media parasagital
- (Suprasilviana)

Caso nº P-54 (H-189)

Reseña personal: MA.G.V. Mujer. 56 años.

Reseña clínica: Meningioma parasagital izquierdo.

.....

FLEBOGRAMA LATERAL

Parámetros del ángulo venoso

- Método de Laine.....	H: 16;	V: 18,7	
- Método de Fischer.....	H: 6;	V: 3,5	
- Bisectriz de Fischer.....	B: 22,5º;	M: 20º	D: -2,5
- Método de Newton.....	V: 1,8;	H: 3,5	
Ang. Tubérculo-Inion-Monro.:	20º		
Ang. Monro-Inion-Bregma.....	25º		
Ang. Tubérculo-Lambda-Monro:	14º		
Ang. Monro-Glabela-Bregma...:	39,5º		
Ang. Monro-Bregma-Tubérculo:	12º		
Ang. Monro-Tubérculo-Inion.:	65º		
Ang. Apex-Tubérculo-Monro...:	31º		
Ang. Monro-Apex-Bregma.....:	56º		
Lín. fleboaxial-Monro.....:	-2,2		

FLEBOGRAMA LATERAL

Parámetros de la v. cerebral interna

- Método de Potts y Taveras: A-B: 30; b: 3; c: 1; d:
- Método de Shah-Kendall...: A: 33,5; B: 36,9; C: 27,9
- Método de Babin y cols...: c: 53°; b: 44°
- Cociente de giro sagital.: 96
- Arco venoso profundo.....: 6,5

Proyecciones de la v. basal

- Eje incisural-vena basal.: A: -; B: 5; C: -8,5; D:

FLEBOGRAMA FRONTAL

- Angulo venoso-Línea media.: 6
- Talamoestriada-Línea media: 10

Referencias angiográficas complementarias

- Arteriograma frontal: no se aprecian alteraciones significativas.
- Arteriograma lateral: interrupción brusca de la arteria pericallosa a nivel del cuerpo del cuerpo calloso, con elevación de sus ramas, tortuosas a partir de ese punto. Considerable depresión de la arteria comunicante posterior y del segmento inicial de la arteria cerebral posterior.

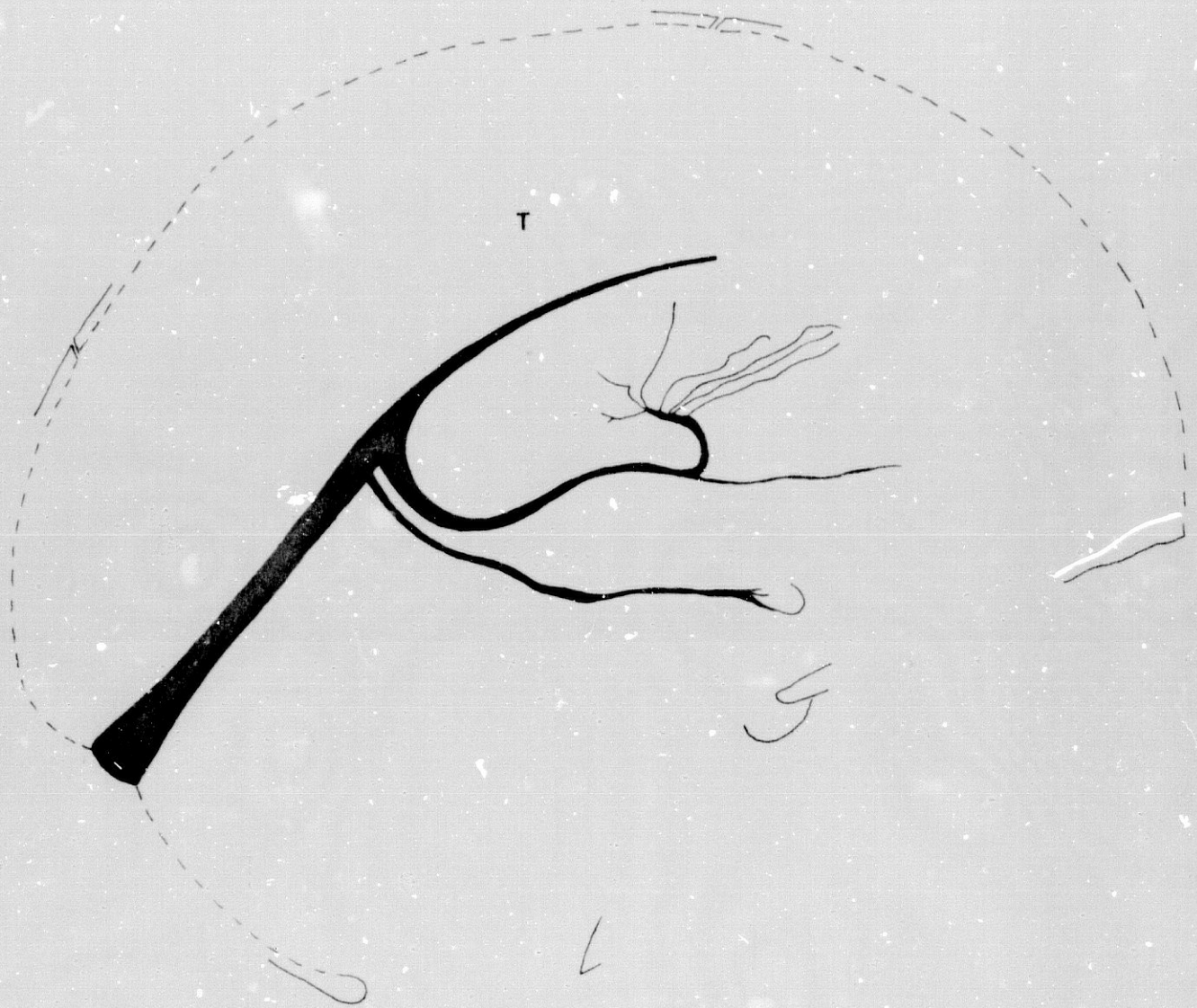


FIG. 269

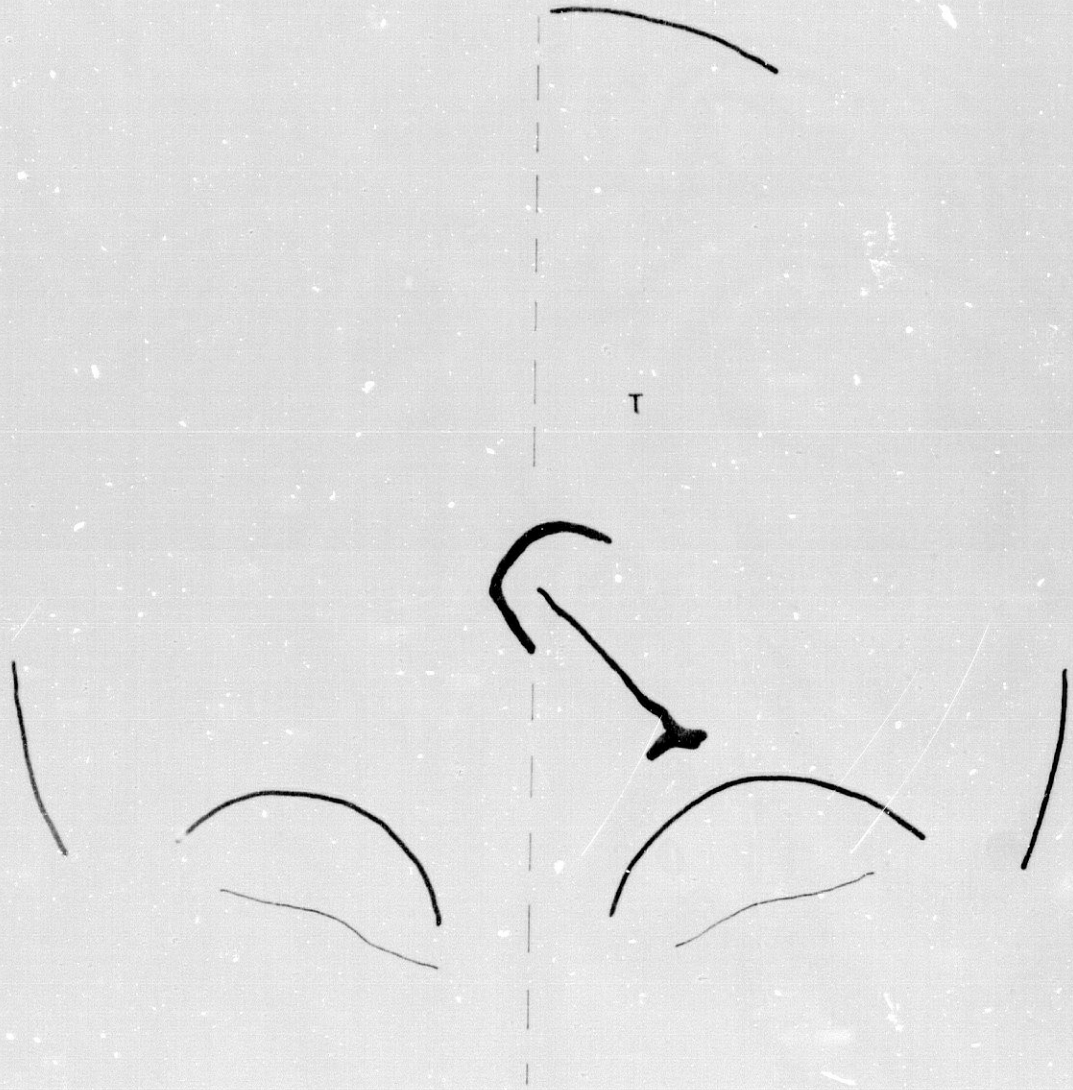


FIG. 270

S E R I E: Patológica

- Masa supraaxial media parasagital

- (Suprasilviana media)

Caso nº P-55 (H-202)

Reseña personal: M.G.M. Varón. 23 años.

Reseña clínica: Astrocitoma frontoparietal medial derecho.

.....

FLEBOGRAMA LATERAL
=====

Parámetros del ángulo venoso

- Método de Laine.....:	H: 18,8;	V: 14,5
- Método de Fischer.....:	H: 2,5;	V: -18
- Bisectriz de Fischer.....:	B: 21;	M: 12,5º; D: -8,5º
- Método de Newton.....:	V: -15,5;	H: -8
Ang. Tubérculo-Inion-Monro.:	12,5º	
Ang. Monro-Inion-Bregma.....:	29,5º	
Ang. Tubérculo-Lambda-Monro:	6,8º	
Ang. Monro-Glabela-Bregma...:	55º	
Ang. Monro-Bregma-Tubérculo:	12º	
Ang. Monro-Tubérculo-Inion.:	49º	
Ang. Apex-Tubérculo-Monro...:	9º	
Ang. Monro-Apex-Bregma.....:	76,8º	
Lín. fleboaxial-Monro.....:	-15	

FLEBOGRAMA LATERAL

Parámetros de la v. cerebral interna

- Método de Potts y Taveras: A-B: 37; b: 8; c: 1; d: 0,2
- Método de Shah-Kendall...: A: 18,7; B: 28,2; C: 21,7
- Método de Babin y cols...: c: 26°; b: 31°
- Cociente de giro sagital.: 195
- Arco venoso profundo.....: 7

Proyecciones de la v. basal

Eje incisural-vena basal.: A: -; B: -8; C: -18; D: -

FLEBOGRAMA FRONTAL

- Angulo venoso-Línea media.: 6,5
- Talamoestriada-Línea media: 21

Referencias angiográficas complementarias

- Arteriograma frontal: desplazamiento proximal y algo más acusadamente distal de la arteria cerebral anterior.
- Arteriograma lateral: ligera elevación y adelantamiento del triángulo silviano. Desplegamiento de la arteria cerebral anterior y de sus ramas (lo que denota dilatación ventricular).



FIG. 271

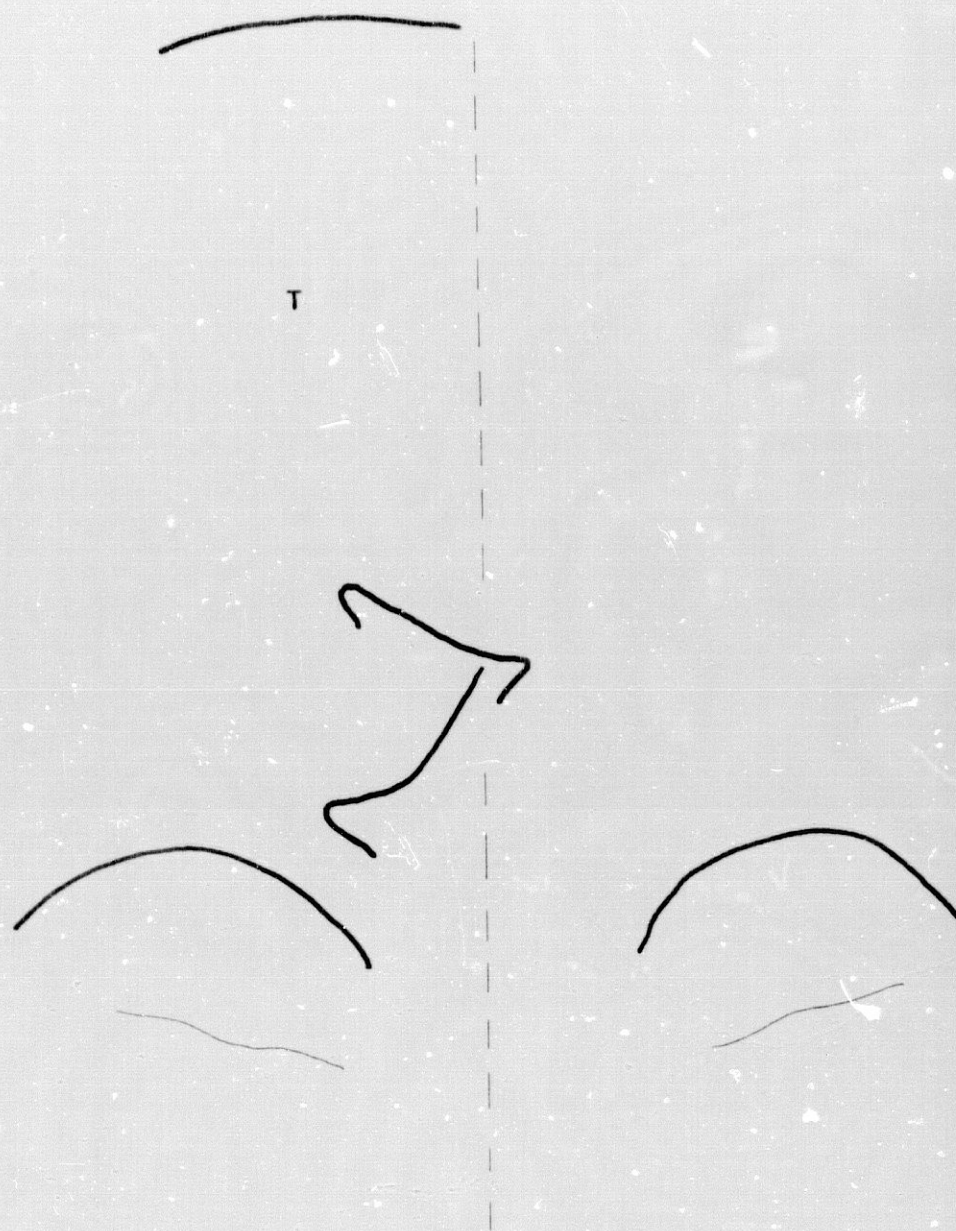


FIG. 272

S E R I E: Patológica

- Masa supraaxial media parasagital

- (Suprasilviana media)

Caso nº P-56 (H-214)

Reseña personal: N.M.C. Mujer. 50 años.

Reseña clínica: Sospecha de meningioma en el tercio medio del borde libre de la hoz.

.....

FLEBOGRAMA LATERAL (Derecho)

Parámetros del ángulo venoso

- Método de Laine.....:	H: 15;	V: 13
- Método de Fischer.....:	H: 7,5;	V: -7
- Bisectriz de Fischer.....:	B: 22,2º;	M: 14,5º; D: -7,7º
- Método de Newton.....:	V: 2;	H: 3
Ang. Tubérculo-Inion-Monro.:	14,5º	
Ang. Monro-Inion-Bregma.....:	30º	
Ang. Tubérculo-Lambda-Monro:	7º	
Ang. Monro-Glabela-Bregma...:	48º	
Ang. Monro-Bregma-Tubérculo:	9,2º	
Ang. Monro-Tubérculo-Inion.:	56º	
Ang. Apex-Tubérculo-Monro.:	25.5º	
Ang. Monro-Apex-Bregma.....:	61º	
Lín. fleboaxial-Monro.....:	-5,5	

FLEBOGRAMA LATERAL (Derecho)

Parámetros de la v. cerebral interna

- Método de Potts y Taveras: Inviabile (inversión del arco de la v.c.i.)
- Método de Shah-Kendall....: A: 23,5; B: 23,8; C: 23,2
- Método de Babin y cols....: c: 29°; b: 30°
- Cociente de giro sagital.: Inviabile (no se opacificó el SSI)
- Arco venoso profundo.....: 8,5

Proyecciones de la v. basal

- Eje incisural-vena basal.: Inviabile (la v. basal no es anastomótica)

FLEBOGRAMA FRONTAL (Derecho)

- Angulo venoso-Línea media.: 0,5
- Talamoestriada-Línea media: 26,5

Referencias angiográficas complementarias

- Arteriograma frontal: no se aprecian alteraciones significativas.
- Arteriograma lateral: incurvación acusada de la arteria pericallosa, con elevación de la arteria callosomarginal que forma un arco de concavidad posteroinferior.

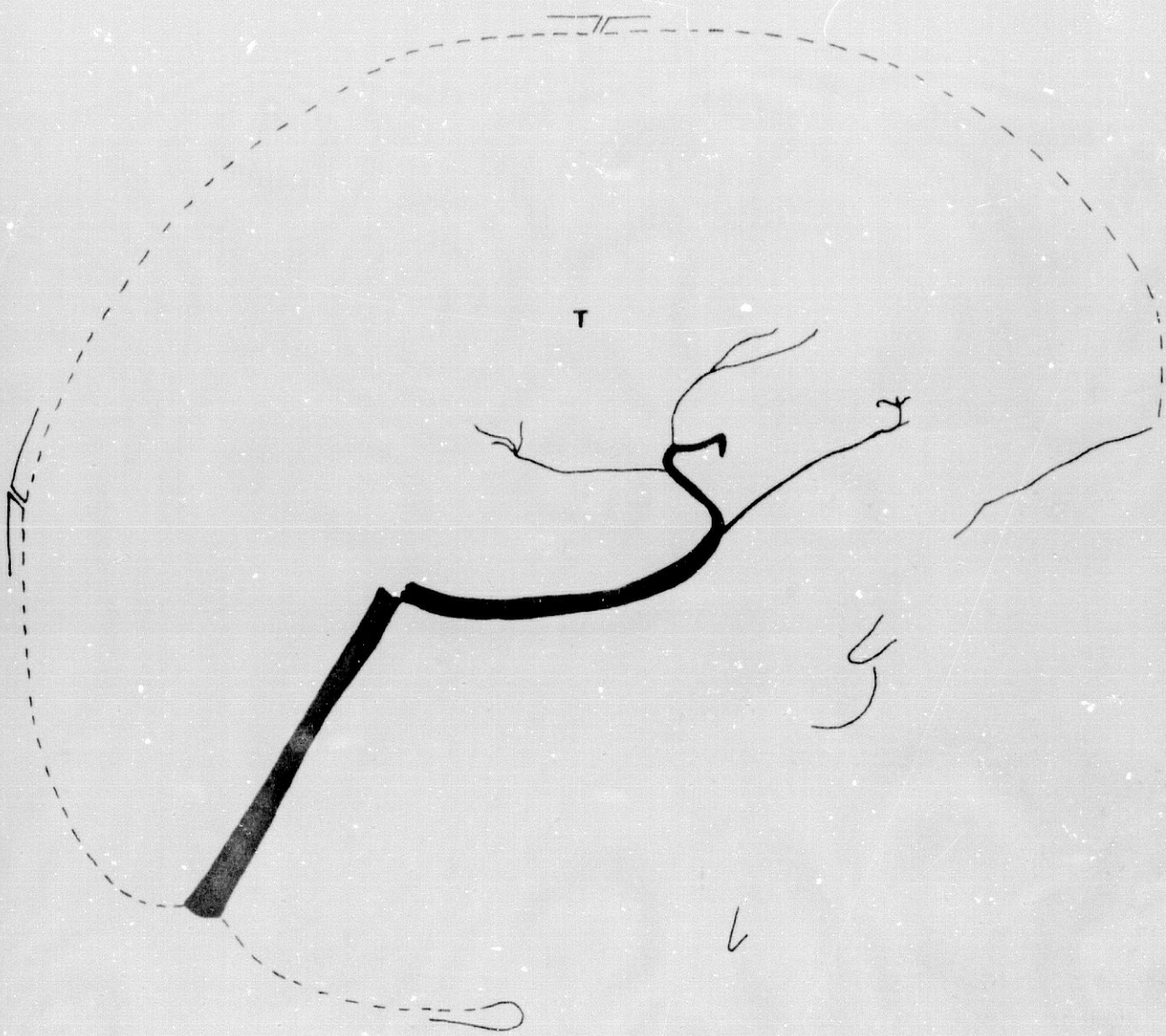


FIG. 273

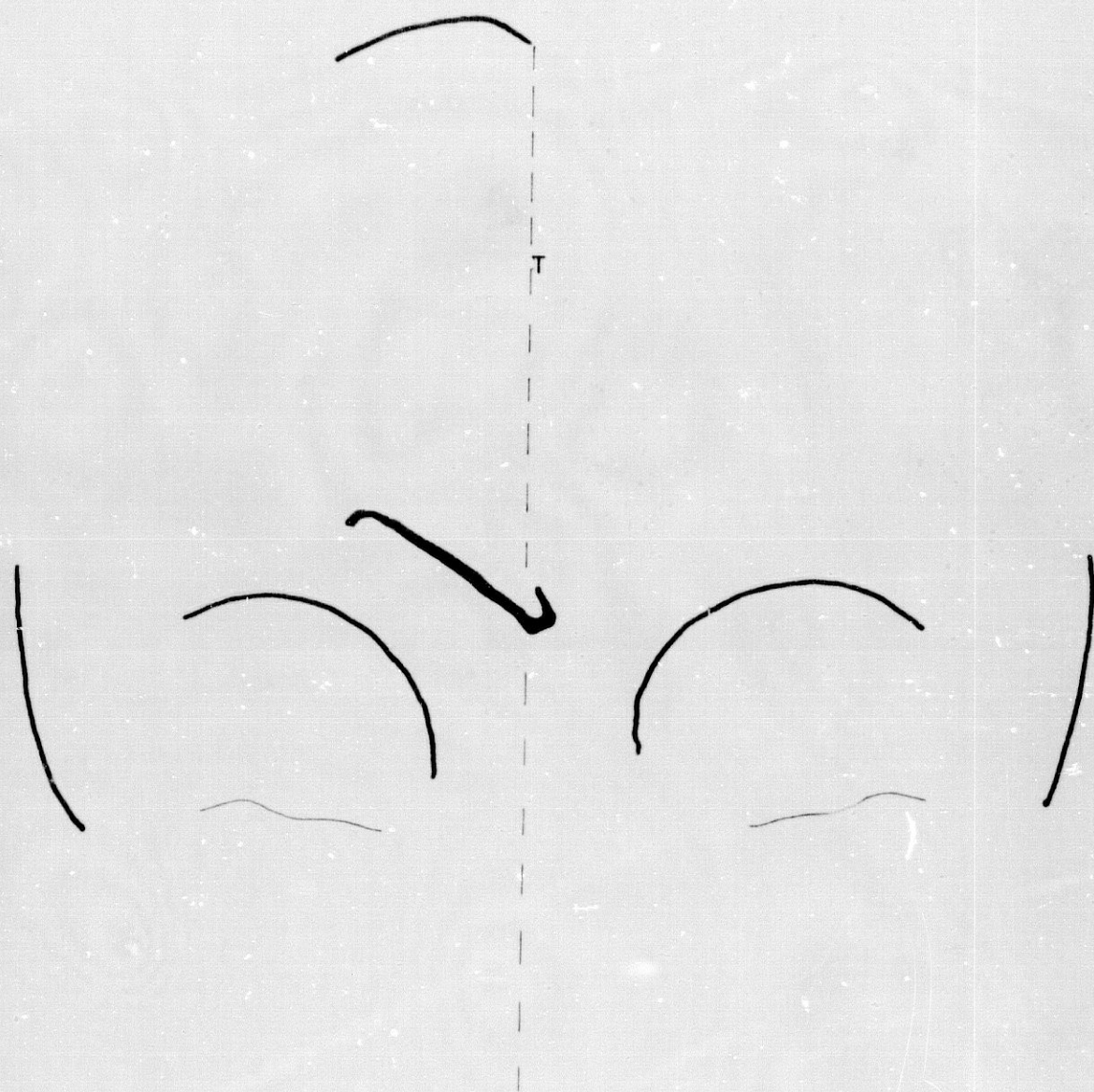


FIG. 274

S E R I E: Patológica

- Masa supraaxial media parasagital

- (Suprasilviana media)

Caso nº P-56 (H-214)

Reseña personal: M.M.C. Mujer. 50 años.

Reseña clínica: Sospecha de meningioma en el tercio medio del borde libre de la hoz.

.....

FLEBOGRAMA LATERAL (Izquierdo)

Parámetros del ángulo venoso

- Método de Laine.....: H: 10; V: 27
- Método de Fischer.....: H: 8; V: -5,5
- Bisectriz de Fischer.....: B: 22º; M: 15º; D: -7º
- Método de Newton.....: V: -6,5; H: 6;
- Ang. Tubérculo-Inion-Monro.: 15º
- Ang. Monro-Inion-Bregma....: 29º
- Ang. Tubérculo-Lambda-Monro: 11,5º
- Ang. Monro-Glabela-Bregma..: 42,2º
- Ang. Monro-Bregma-Tubérculo: 7º
- Ang. Monro-Tubérculo-Inion.: 68,5º
- Ang. Apex-Tubérculo-Monro..: 39º
- Ang. Monro-Apex-Bregma.....: 55º
- Lín. fleboaxial-Monro.....: -4

FLEBOGRAMA LATERAL (Izquierdo)
=====

Parámetros de la v. cerebral interna

- Método de Potts y Taveras: Inviabile (inversión del arco de la v.c.i.)
- Método de Shah-Kendall....: A: 26,1; B: 23,6; C: 20,8
- Método de Babin y cols....: c: 40°; b: 36°
- Cociente de giro sagital.: Inviabile (no se opacificó el SSI)
- Arco venoso profundo.....: 10

Proyecciones de la v. basal

- Eje incisural-vena basal.: Inviabile (la v. basal no es anastomótica)

FLEBOGRAMA FRONTAL (Izquierdo)
=====

- Angulo venoso-Línea media.: 1
- Talamoestriada-Línea media: 28

Referencias angiográficas complementarias

- Arteriograma frontal: no se aprecian alteraciones significativas.
- Arteriograma lateral: incurvación brusca y acusada de la arteria pericallosa, que forma un arco de concavidad inferior. Depresión del tramo opacificado del complejo comunicante-cerebral posterior. Ligero estiramiento de las ramas operculares parietales del triángulo silviano, que aparece ligeramente desplazado hacia adelante, así como la rodilla de la arteria pericallosa.

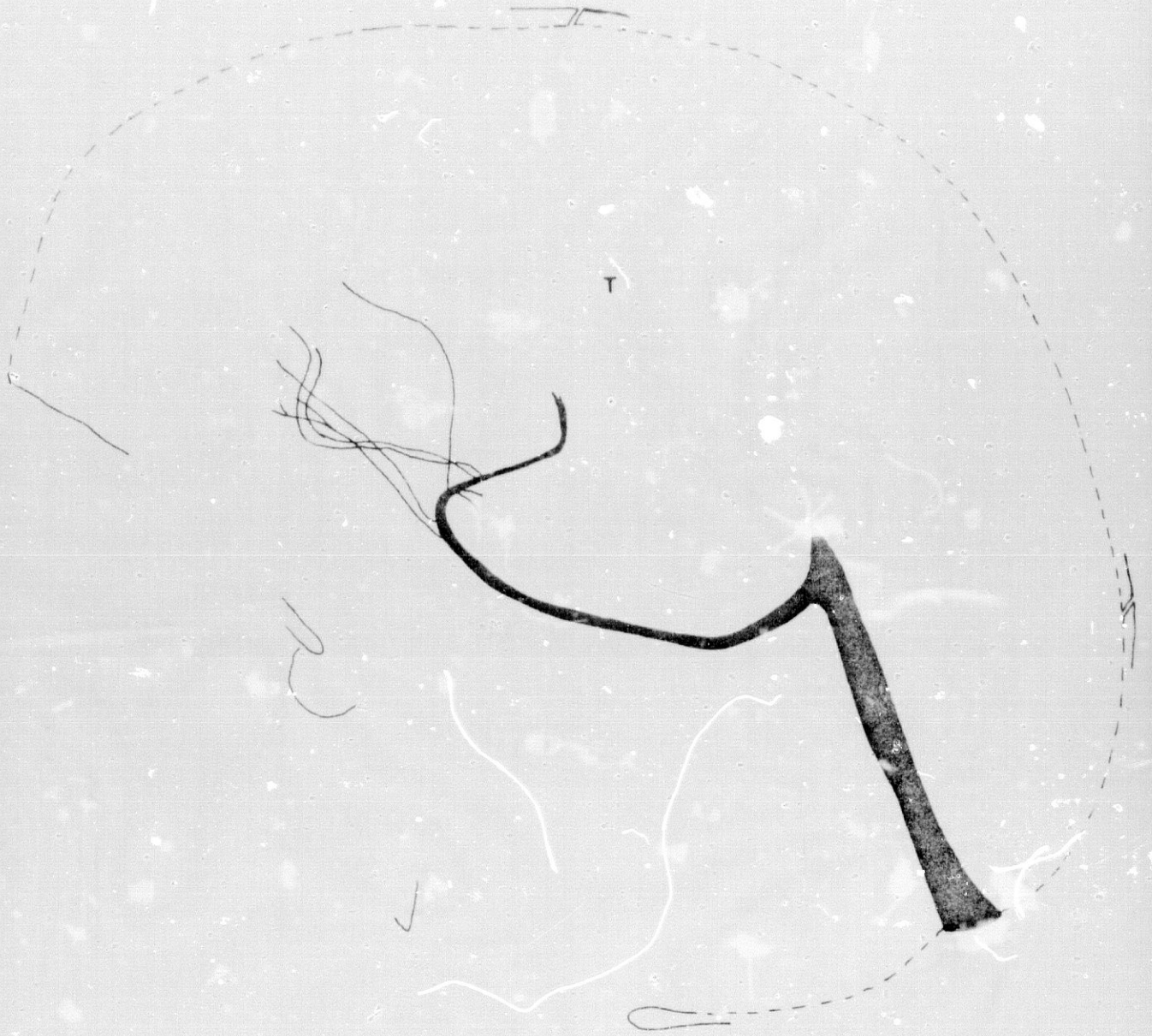


FIG. 275

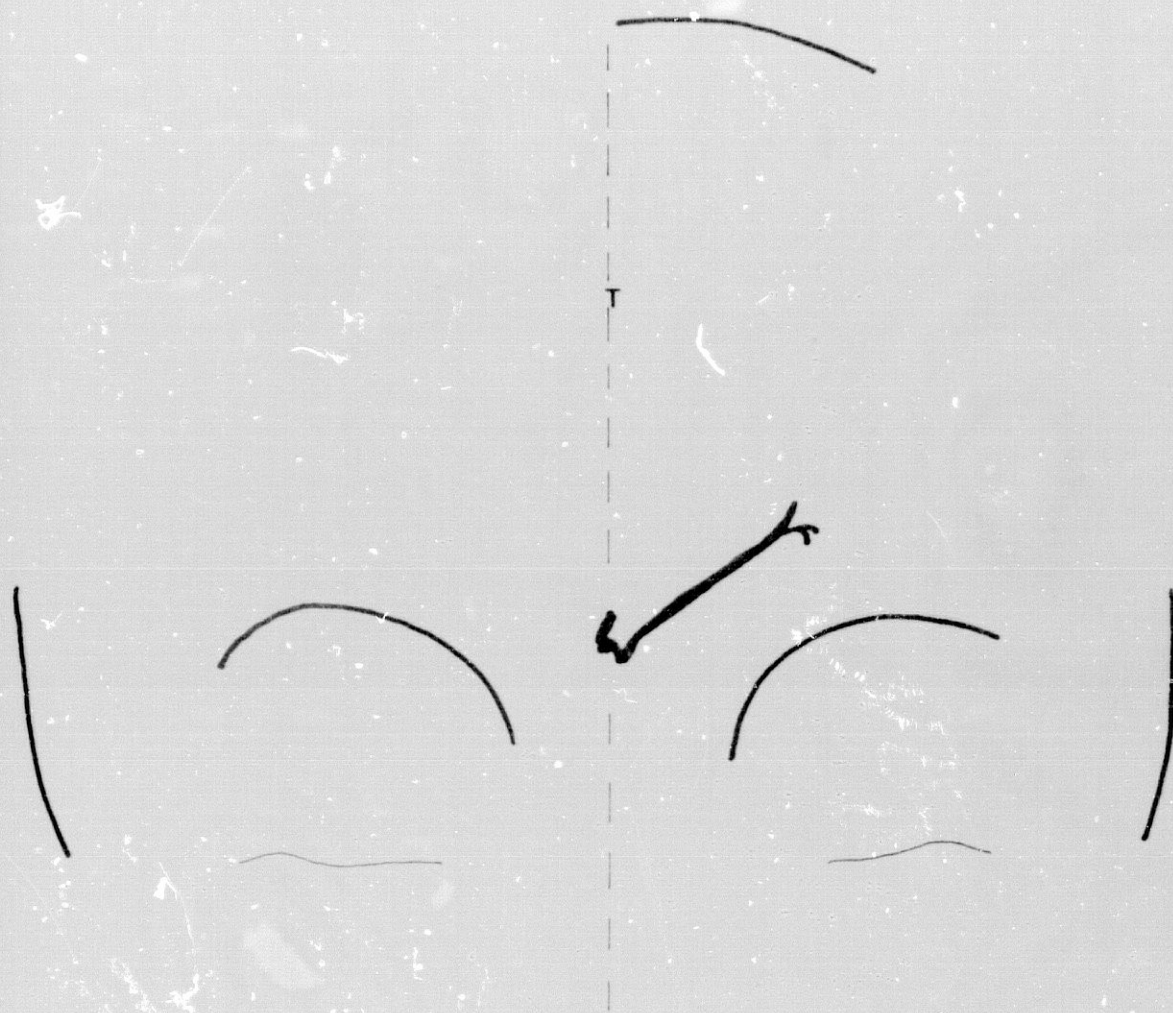


FIG. 276

S E R I E: Patológica

- Masa supraaxial media parasagital
- (Suprasilviana anterior paramedial)

Caso nº P-57 (H-265)

Reseña personal: L.F.A. Mujer. 49 años.

Reseña clínica: Tumor frontoparietal derecho. El paciente no fue interve--
nido: no se pudo determinar la naturaleza exacta del tumor.

.....

FLEBOGRAMA LATERAL

Parámetros del ángulo venoso

- Método de Laine.....	H: 11;	V: 19
- Método de Fischer.....	H: 0;	V: 7
- Bisectriz de Fischer.....	B: 21°;	M: 20,5°; D: -0,5°
- Método de Newton.....	V: 2,5;	H: 6
Ang. Tubérculo-Inion-Monro..	20,5°	
Ang. Monro-Inion-Bregma....	21,5°	
Ang. Tubérculo-Lambda-Monro:	14°	
Ang. Monro-Glabela-Bregma...	42,5°	
Ang. Monro-Bregma-Tubérculo:	11,5°	
Ang. Monro-Tubérculo-Inion..	78,5°	
Ang. Apex-Tubérculo-Monro...	35°	
Ang. Monro-Apex-Bregma.....	56°	
Lín. fleboaxial-Monro.....	-5,5	

FLEBOGRAMA LATERAL

Parámetros de la v. cerebral interna

- Método de Potts y Taveras: A-B: 38; b: 8; c: 2; d: 1
- Método de Shah-Kendall...: A: 36,2; B: 42,2; C: 33
- Método de Babin y cols...: c: 52°; b: 48°
- Cociente de giro sagital.: 98
- Arco venoso profundo.....: 2,5

Proyecciones de la v. basal

- Eje incisural-vena basal.: A: 6; B: -4,5; C: -11; D: -8

FLEBOGRAMA FRONTAL

- Angulo venoso-Línea media.: 0,5
- Talamoestriada-Línea media: 15

Referencias angiográficas complementarias

- Arteriograma frontal: ligera muesca de desviación distal de la arteria pericallosa. Suave desviación lateral de las arterias lenticuloes-triadas mediales.
- Arteriograma lateral: ligera depresión de la arteria pericallosa a nivel del comienzo del cuerpo del cuerpo calloso.

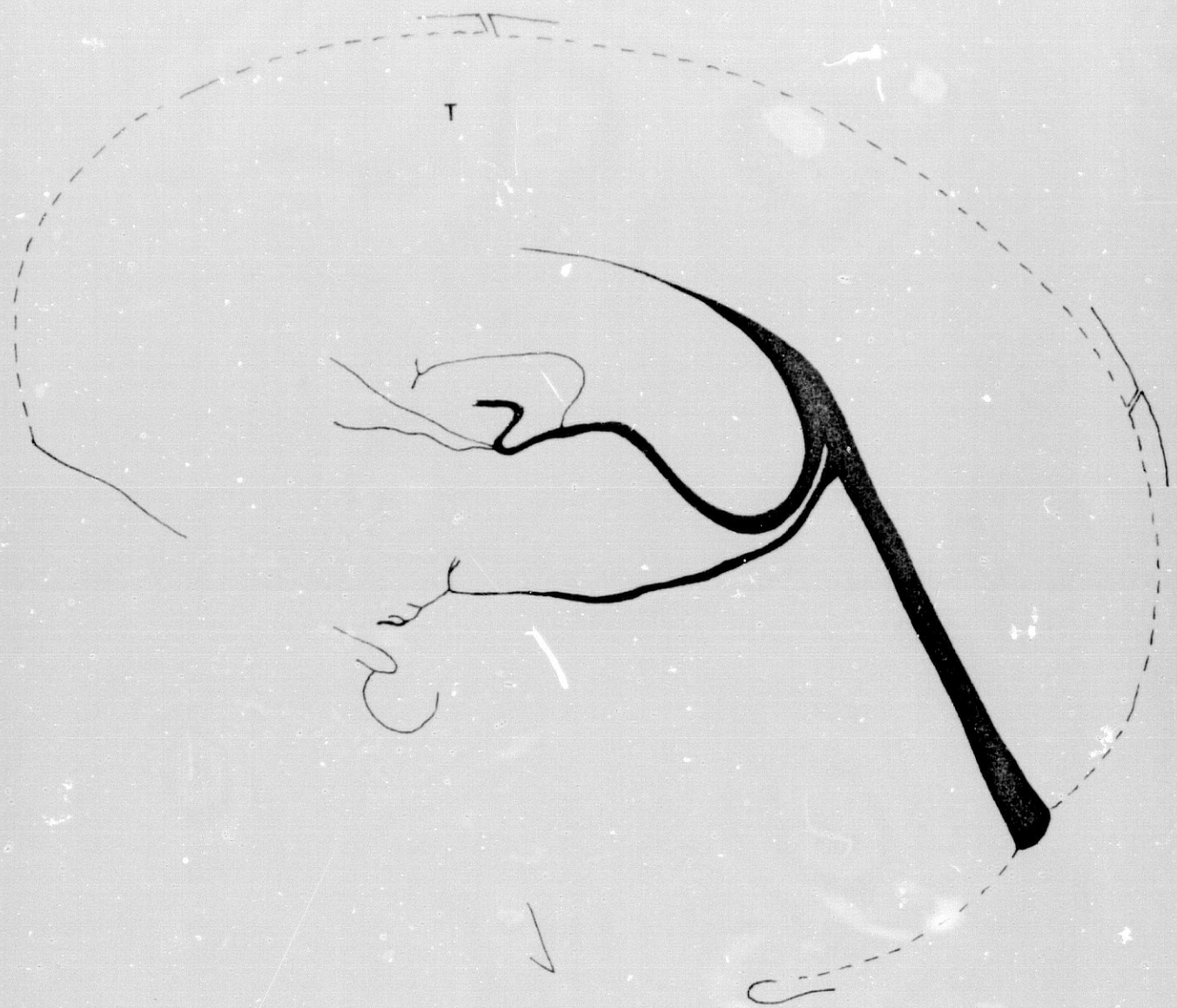


FIG. 277

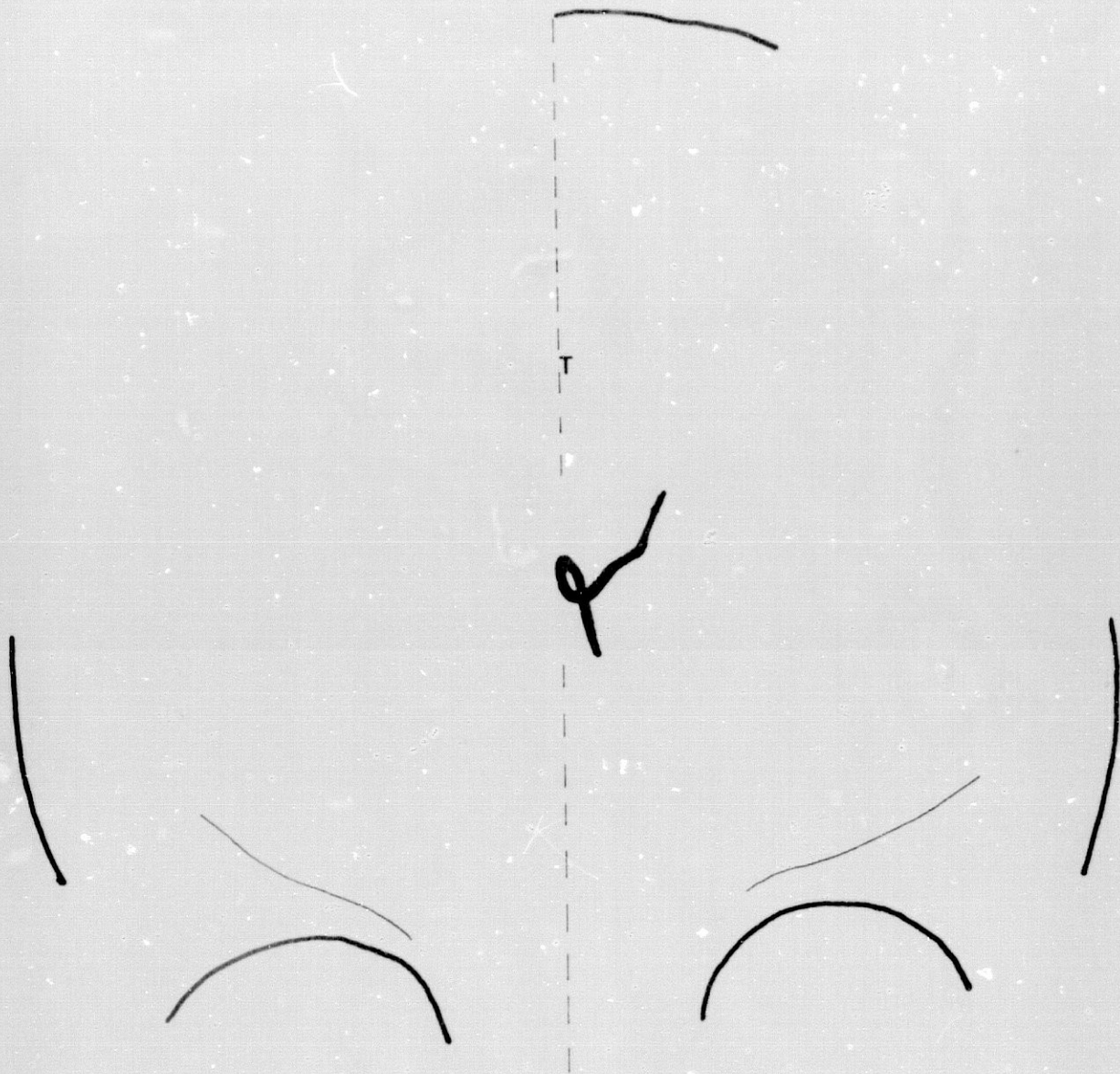


FIG. 278

Tumores supraaxiales medios laterales

S E R I E: Patológica

- Masa supraaxial media lateral

- (Suprasilviana)

Caso nº P - 58 (H-44)

Reseña personal: B.H.P. Mujer. 58 años.

Reseña clínica: Glioblastoma parietal izquierdo.

.....

FLEBOGRAMA LATERAL
=====

Parámetros del ángulo venoso

- Método de Laine.....:	H: 15;	V: 16
- Método de Fischer.....:	H: 10;	V: -3,5
- Bisectriz de Fischer.....:	B: 20,7º;	M: 15,5º; D: -5,2º
- Método de Newton.....:	V: -4;	H: 10
Ang. Tubérculo-Inion-Monro.:	15,5º;	
Ang. Monro-Inion-Bregma....:	26º	
Ang. Tubérculo-Lambda-Monro:	7,5º	
Ang. Monro-Glabela-Bregma..:	47º	
Ang. Monro-Bregma-Tubérculo:	11,5º	
Ang. Monro-Tubérculo-Inion.:	60,5º	
Ang. Apex-Tubérculo-Monro..:	30º	
Ang. Monro-Apex-Bregma.....:	56º	
Lín. fleboaxial-Monro.....:	-4	

FLEBOGRAMA LATERAL

Parámetros de la v. cerebral interna

- Método de Potts y Taveras: A-B: 41; b: 7,2; c: 0,5; d: 0,2
- Método de Shah-Kendall....: A: 26,5; B: 37,3; C: 23,9
- Método de Babin y cols....: c: 39º; b: 32º
- Cociente de giro sagital.: 115
- Arco venoso profundo.....: 2

Proyecciones de la v. basal

Eje incisural-vena basal.: A: -; B: -5; C: -15; D: -10

FLEBOGRAMA FRONTAL

- Angulo venoso-Línea media.: 10,5
- Talamoestriada-Línea media: 0,5

Referencias angiográficas complementarias

- Arteriograma frontal: desviación preferentemente distal de la arteria cerebral anterior. Gran aplanamiento del grupo silviano.
- Arteriograma lateral: depresión y estiramiento del triángulo silviano.

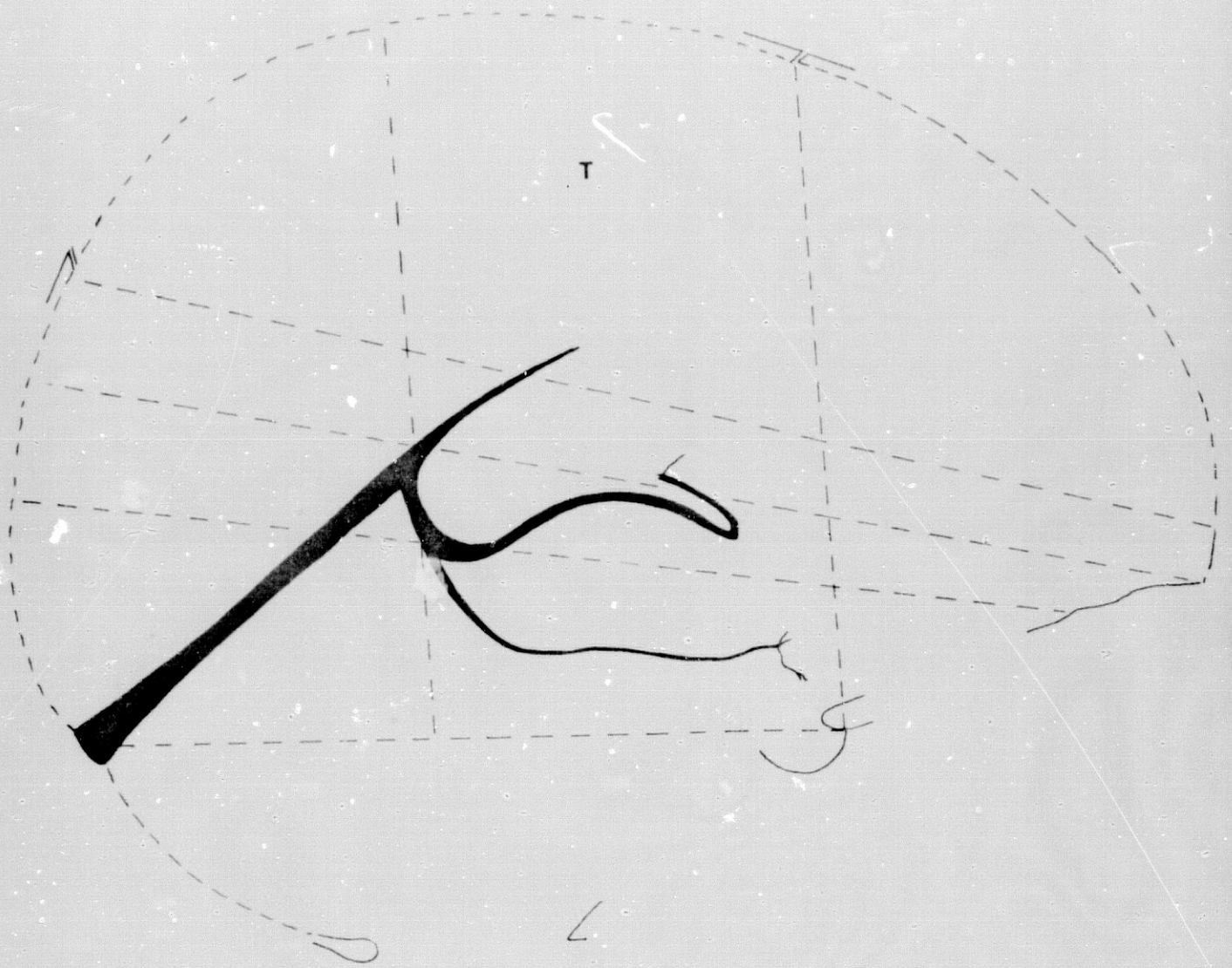


FIG. 286

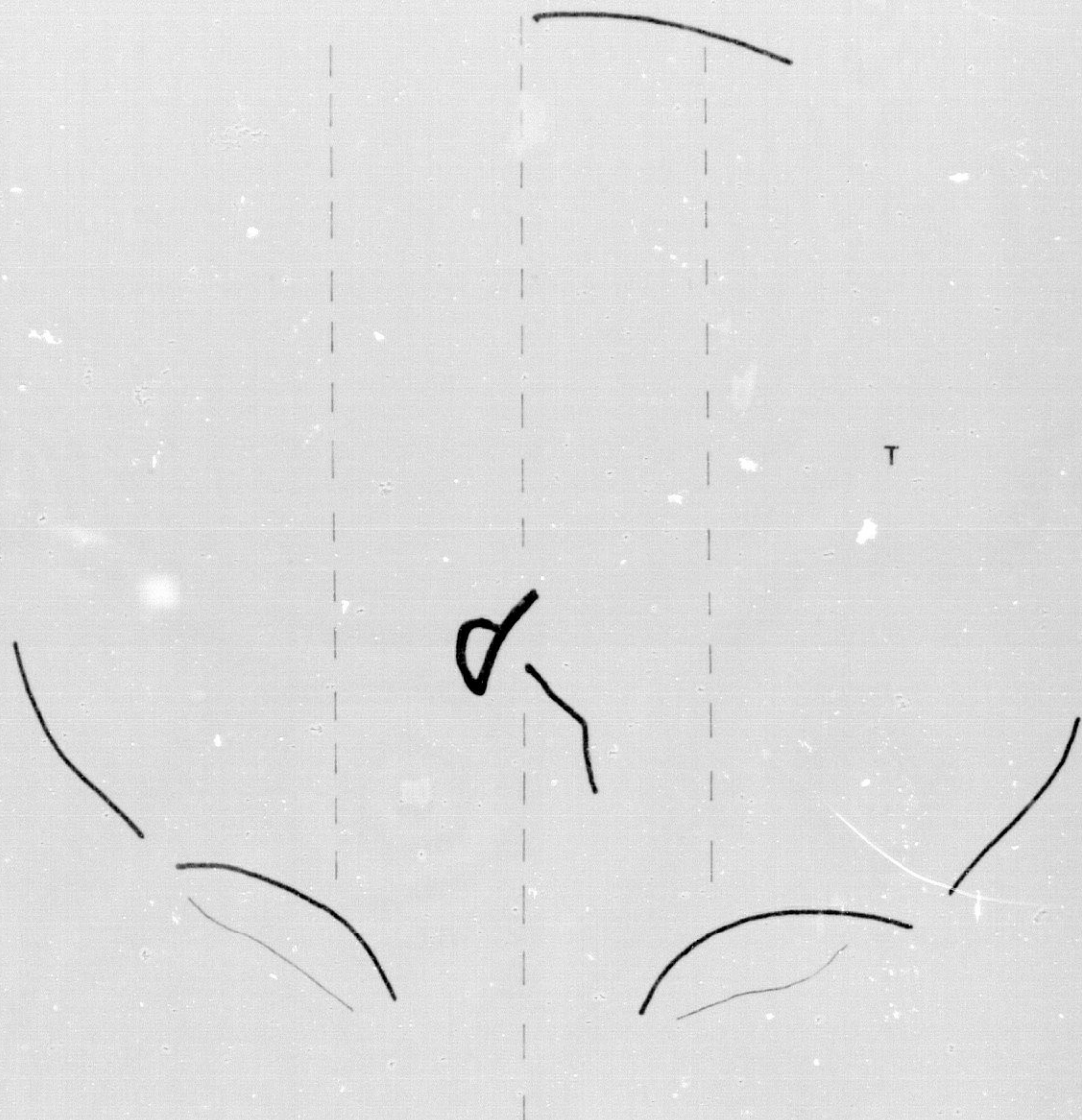


FIG. 287

S E R I E: Patológica

- Masa supraaxial media lateral

- (Suprasilviana posterior)

Caso nº P-59 (H-47)

Reseña personal: B.R.A. Varón. 54 años.

Reseña clínica: Glioblastoma multiforme parietal izquierdo.

.....

FLEBOGRAMA LATERAL
=====

Parámetros del ángulo venoso

- Método de Laine.....: H: 18; V: 26,5
- Método de Fischer.....: H: 2,5; V: 2
- Bisectriz de Fischer.....: B: 20º; M: 20,5º; D: 0,5º
- Método de Newton.....: V: 2,5; H: 8;
- Ang. Tubérculo-Inion-Monro.: 20,5º
- Ang. Monro-Inion-Bregma....: 19,5º
- Ang. Tubérculo-Lambda-Monro: 12,5º
- Ang. Monro-Glabela-Bregma...: 41º
- Ang. Monro-Bregma-Tubérculo: 15º
- Ang. Monro-Tubérculo-Inion.: 67,5º
- Ang. Apex-Tubérculo-Monro...: 38º
- Ang. Monro-Apex-Bregma.....: 42º
- Lín. fleboaxial-Monro.....: 10

FLEBOGRAMA LATERAL

Parámetros de la v. cerebral interna

- Método de Potts y Taveras: A-B: 44; b: 6,7; c: 1; d: 0
- Método de Shah-Kendall....: A: 35,4; B: 37,4; C: 24,4
- Método de Babin y cols....: c: 55,5º; b: 41,5º
- Cociente de giro sagital.: 87
- Arco venoso profundo.....: 9,5

Proyecciones de la v. basal

- Eje incisural-vena basal.: A: 7; B: -4; C: -10; D: -

FLEBOGRAMA FRONTAL

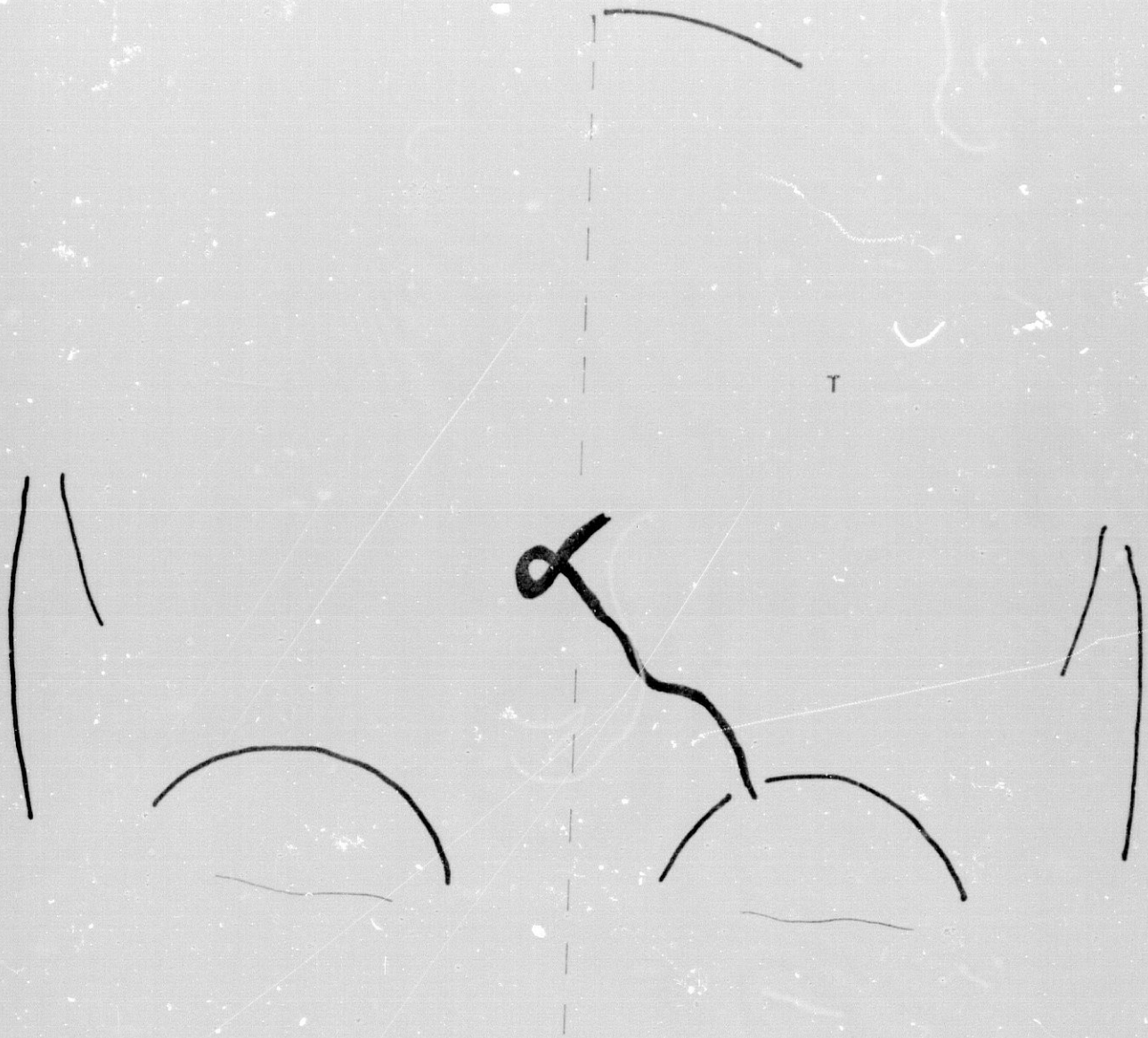
- Angulo venoso-Línea media.: 8,7
- Talamoestriada-Línea media: 6

Referencias angiográficas complementarias

- Arteriograma frontal: ligera muesca de desplazamiento distal de la arteria cerebral anterior. Depresión del grupo silviano.
- Arteriograma lateral: estiramiento de las ramas operculares parietales de la arteria cerebral media. Depresión del triángulo silviano en toda su extensión.



FIG. 288



T

FIG. 289

S E R I E: Patológica

- Masa supraaxial media lateral

- (Suprasilviana posterior)

Caso nº P-60 (H-62)

Reseña personal: C.R.H. Varón. 22 años.

Reseña clínica: Astroblastoma parietal izquierdo.

.....

FLEBOGRAMA LATERAL

Parámetros del ángulo venoso

- Método de Laine.....	H: 11;	V: 23	
- Método de Fischer.....	H: 0;	V: 0	
- Bisectriz de Fischer.....	B: 19,2°;	M: 18°;	D: -1,2°
- Método de Newton.....	V: -1;	H: 7	
Ang. Tubérculo-Inion-Monro.:	18°		
Ang. Monro-Inion-Bregma.....	20,5°		
Ang. Tubérculo-Lambda-Monro:	12°		
Ang. Monro-Glabela-Bregma..:	43°		
Ang. Monro-Bregma-Tubérculo:	11,5°		
Ang. Monro-Tubérculo-Inion.:	72°		
Ang. Apex-Tubérculo-Monro...:	40°		
Ang. Monro-Apex-Bregma.....:	46,5°		
Lín. fleboaxial-Monro.....:	2		

FLEBOGRAMA LATERAL

Parámetros de la v. cerebral interna

- Método de Potts y Taveras: A-B: 41; b: 3; c: 0; d: 0
- Método de Shah-Kendall...: A: 32,4; B: 31,6; C: 24,4
- Método de Babin y cols...: c: 54,5°; b: 44°
- Cociente de giro sagital.: 100
- Arco venoso profundo.....: 9

Proyecciones de la v. basal

Eje incisural-vena basal.: A: 8; B: -7; C: -10; D: -8,5

FLEBOGRAMA FRONTAL

- Angulo venoso-Línea media.: 6
- Talamoestriada-Línea media: 17

Referencias angiográficas complementarias

- Arteriograma frontal: leve y prolongado arqueamiento distal de la arteria pericallosa. Notable descenso y desplazamiento lateral de los vasos insulares.
- Arteriograma lateral: gran estiramiento de la arteria coroidea anterior. Considerable rectificación y elevación de las ramas operculares parietales de las arterias silvianas.



FIG. 290

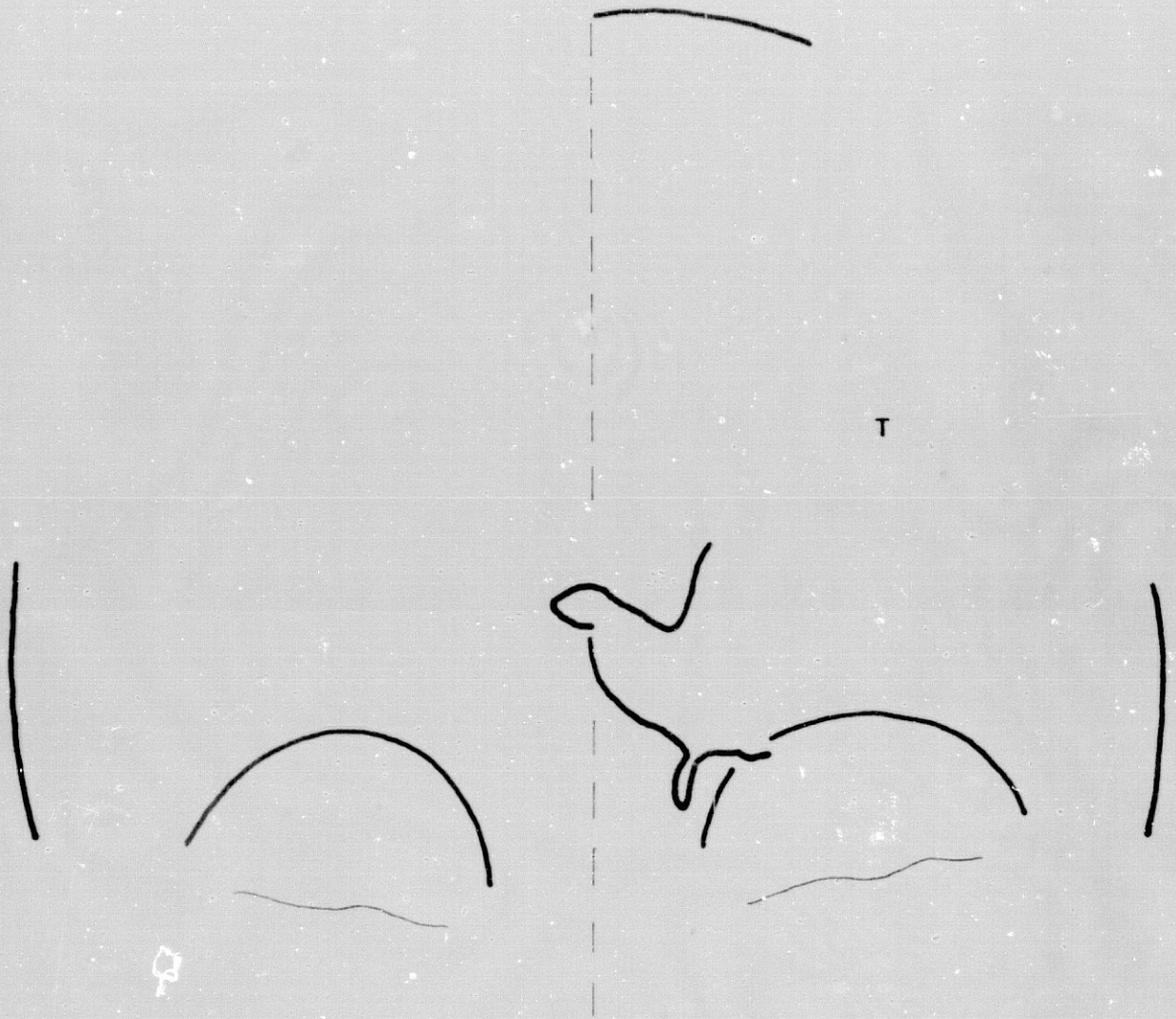


FIG. 291

S E R I E: Patológica

- Masa supraaxial media lateral
- (Retrosilviana superior)

Caso nº p-61 (H-103)

Reseña personal: F.R.A. Varón. 43 años.

Reseña clínica: Masa parietal posterior. El paciente no fue intervenido: se desconoce la naturaleza exacta del tumor.

.....

FLEBOGRAMA LATERAL

Parámetros del ángulo venoso

- Método de Laine.....	H: 17,5;	V: 22,5	
- Método de Fischer.....	H: -4;	V: -2	
- Bisectriz de Fischer.....	B: 20,5º;	M: 23º;	D: 2,5º
- Método de Newton.....	V: 0;	H: -5	
Ang. Tubérculo-Inion-Monro.:	23º		
Ang. Monro-Inion-Bregma.....	18,2º		
Ang. Tubérculo-Lambda-Monro:	12,5º		
Ang. Monro-Glabela-Bregma..:	44º		
Ang. Monro-Bregma-Tubérculo:	18º		
Ang. Monro-Tubérculo-Inion.:	64,5º		
Ang. Apex-Tubérculo-Monro..:	33,5º		
Ang. Monro-Apex-Bregma.....	42º		
Lín. fleboaxial-Monro.....	4		

FLEBOGRAMA LATERAL

Parámetros de la v. cerebral interna

- Método de Potts y Taveras: A-B: 33; b: 2; c: 0; d: -1
- Método de Shah-Kendall...: A: 32,3; B: 32,4; C: 24,3
- Método de Babin y cols...: c: 59°; b: 44°
- Cociente de giro sagital.: 90
- Arco venoso profundo.....: 9

Proyecciones de la v. basal

Eje incisural-vena basal.: Inviabile (la v. basal no es anastomótica)

FLEBOGRAMA FRONTAL

- Angulo venoso-Línea media.: 0
- Talamoestriada-Línea media: 23,5°

Referencias angiográficas complementarias

- Arteriograma frontal: depresión del punto silviano angiográfico.
- Arteriograma lateral: rectificación de los vasos operculares retroparietales y de la porción terminal de la arteria pericallosa. Depresión considerable de la última porción de la arteria angular. Depresión y adelantamiento de los vasos insulares.

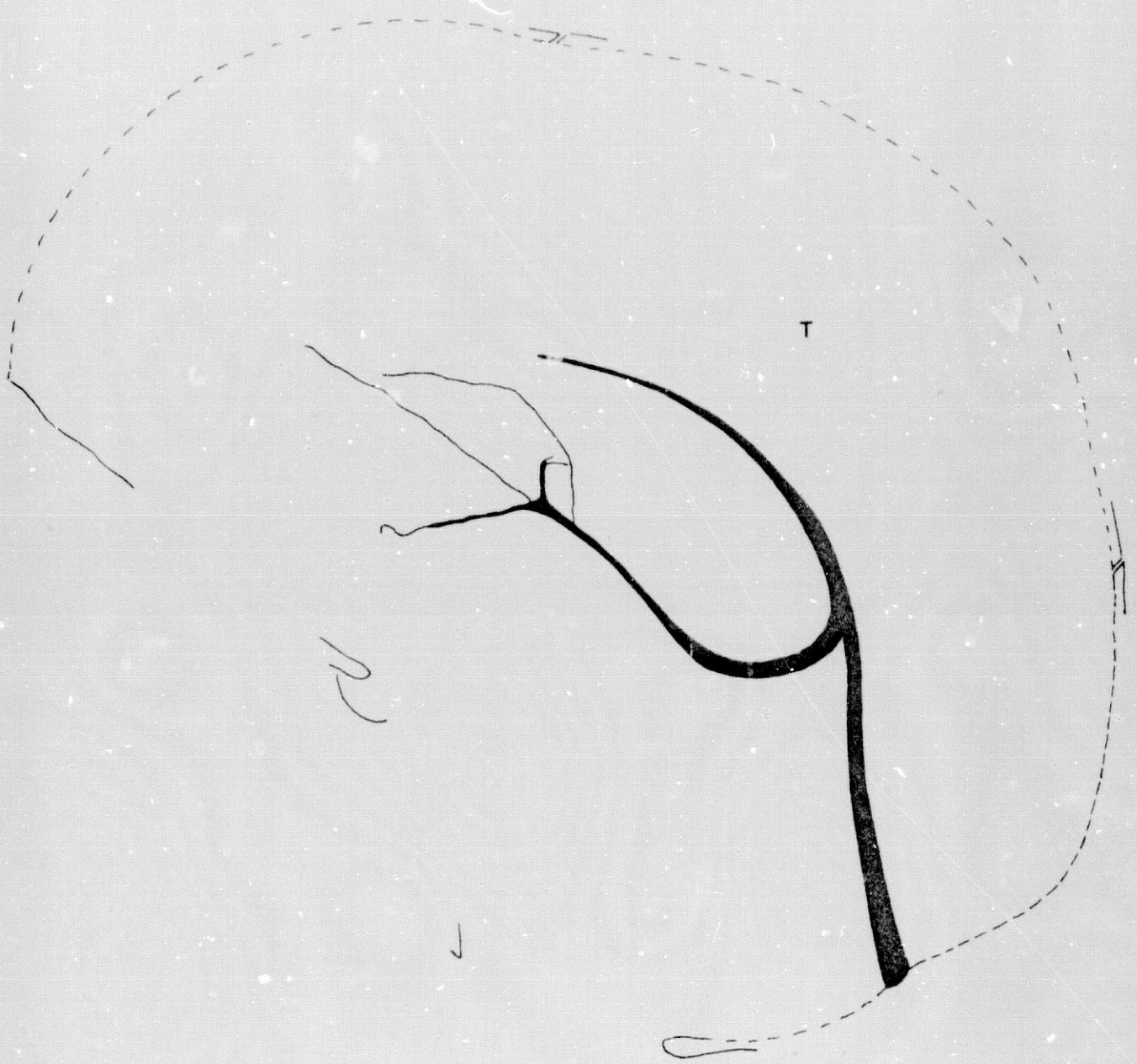


FIG. 292

α

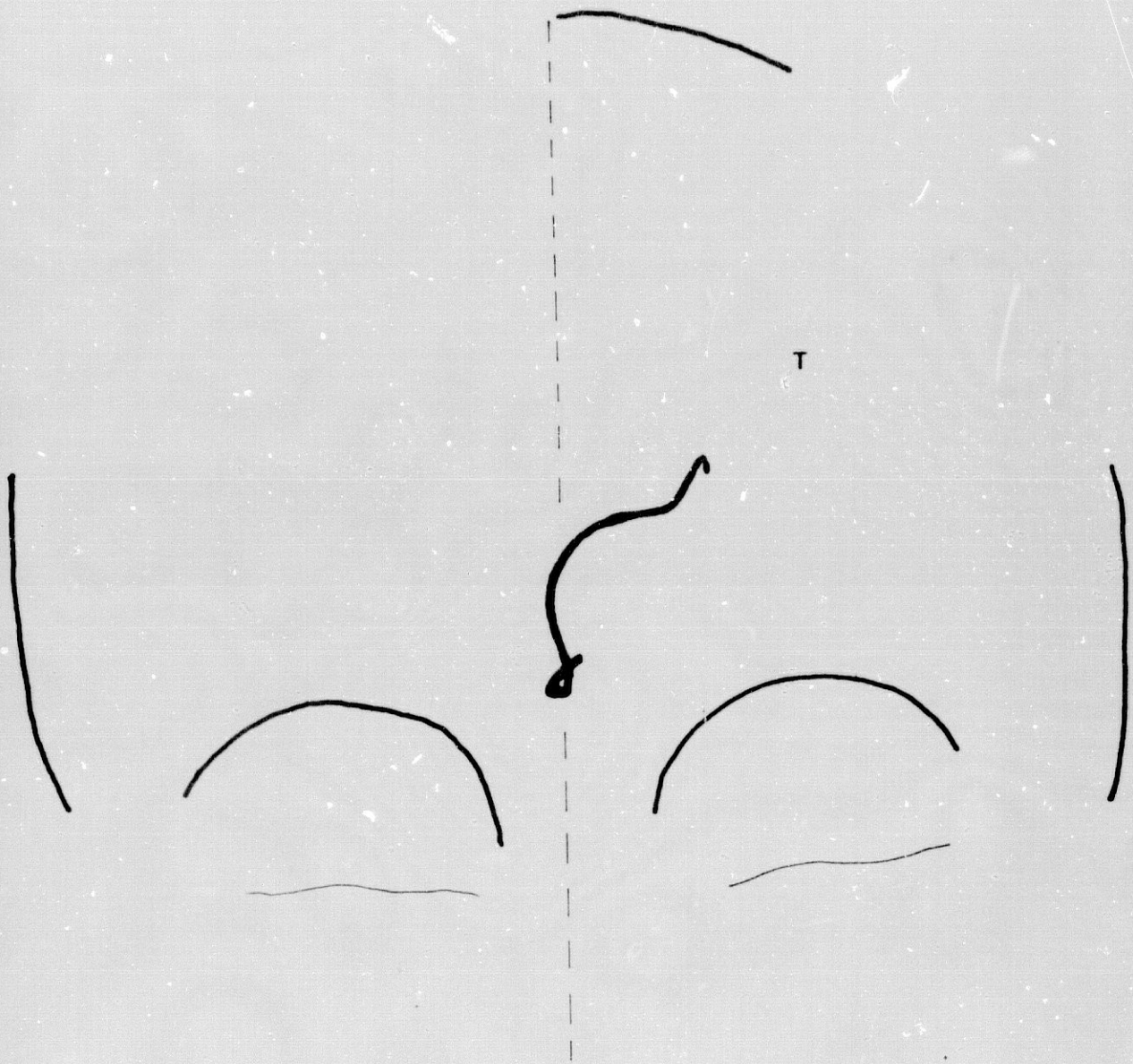


FIG. 293

S E R I E: Patológica

- Masa supraaxial media lateral
- (Suprasilviana posterior)

Caso nº P-62 (H-105)

Reseña personal: F.G.R. Varón. 44 años.

Reseña clínica: Tumor parietal izquierdo. El paciente no fue intervenido: se desconoce la naturaleza exacta del tumor.

.....

FLEBOGRAMA LATERAL

Parámetros del ángulo venoso

- Método de Laine.....:	H: 13;	V: 20
- Método de Fischer.....:	H: 0;	V: 0
- Bisectriz de Fischer.....:	B: 20°;	M: 17,5°; D: -2,5°
- Método de Newton.....:	V: 0;	H: 0
Ang. Tubérculo-Inion-Monro.:	17,5°	
Ang. Monro-Inion-Bregma.....:	22,5°	
Ang. Tubérculo-Lambda-Monro:	11,5°	
Ang. Monro-Glabela-Bregma...:	42°	
Ang. Monro-Bregma-Tubérculo:	11,5°	
Ang. Monro-Tubérculo-Inion.:	67°	
Ang. Apex-Tubérculo-Monro...:	36,5°	
Ang. Monro-Apex-Bregma.....:	47°	
Lín. fleboaxial-Monro.....:	4	

FLEBOGRAMA LATERAL

Parámetros de la v. cerebral interna

- Método de Potts y Taveras: A-B: 41; b: 7; c: 1,5; d: 1
- Método de Shah-Kendall....: A: 30,1; B: 31,7; C: 27,7
- Método de Rabin y cols....: c: 45°; b: 42°
- Cociente de giro sagital.: 106
- Arco venoso profundo.....: 4,5

Proyecciones de la v. basal

- Eje incisural-vena basal.: A: -; B: -3; C: -6; D: -6

FLEBOGRAMA FRONTAL

- Angulo venoso-Línea media.: 1,5
- Talamoestriada-Línea media: 25

Referencias angiográficas complementarias

- Arteriograma frontal: posible desplazamiento lateral de los vasos silvianos.
- Arteriograma lateral: paralelismo de las ramas distales del grupo silviano, con elevación del triángulo silviano (posiblemente, por hidrocéfalo con comitante).

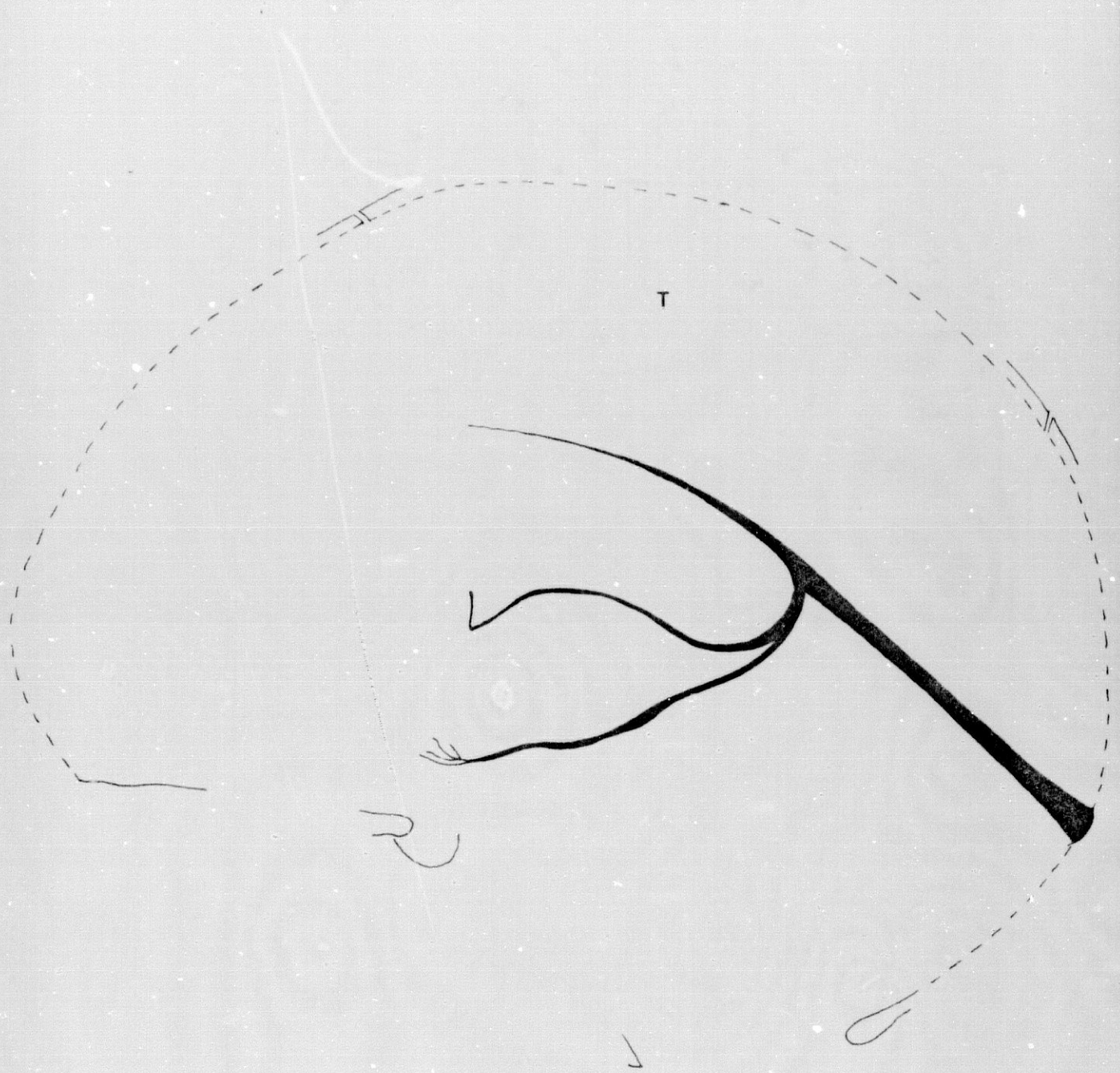


FIG. 294

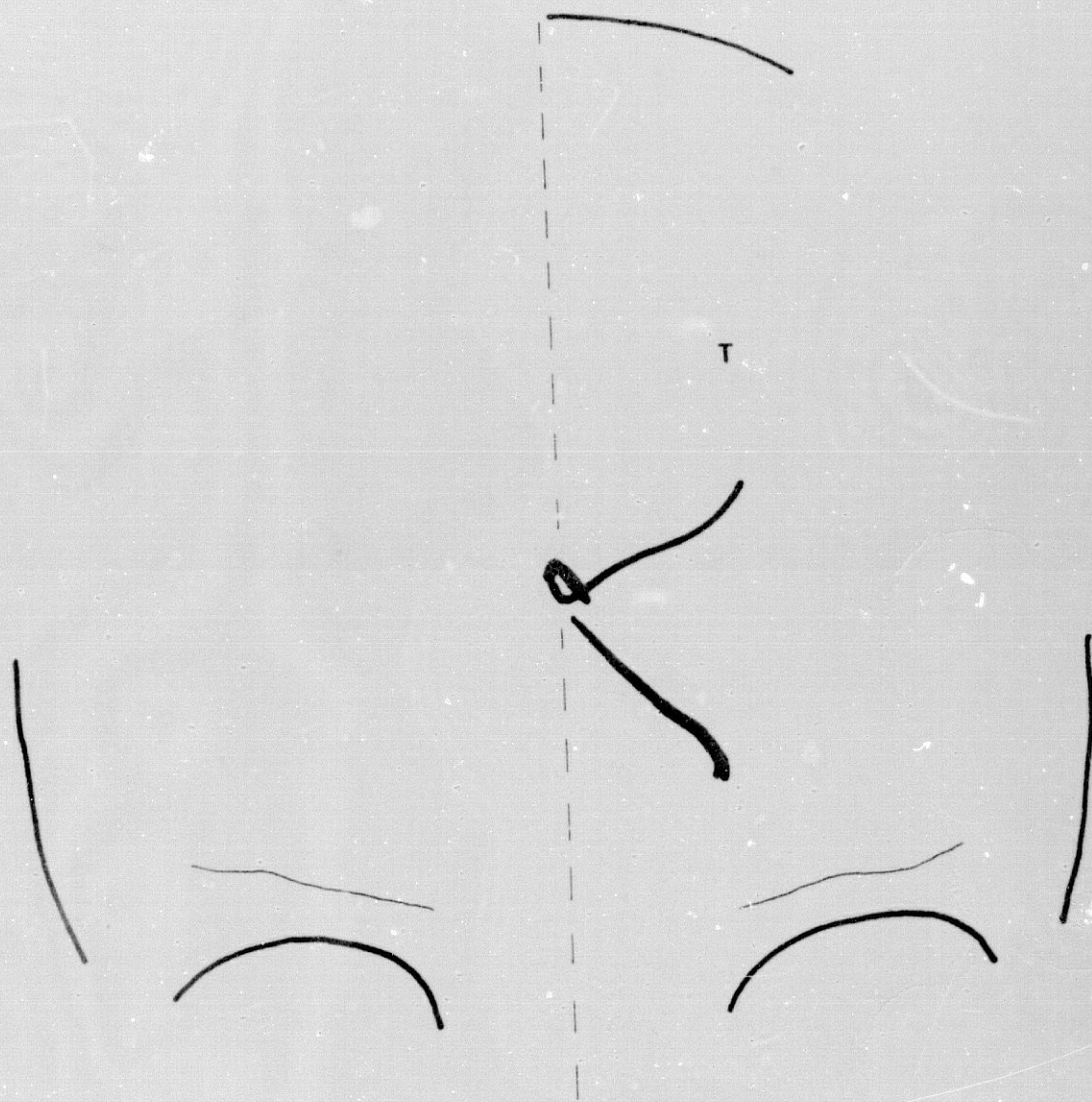


FIG. 295

S E R I E: Patológica

- Masa supraaxial media lateral

- (Suprasilviana anterior)

Caso nº P-63 (112)

Reseña personal: F.V.F. Varón. 55 años.

Reseña clínica: Astrocitoma frontal posterior izquierdo.

.....

FLEBOGRAMA LATERAL

Parámetros del ángulo venoso

- Método de Laine.....:	H: 16,5;	V: 15	
- Método de Fischer.....:	H: -3;	V: 3	
- Bisectriz de Fischer.....:	B: 18,5°;	M: 19°;	D: 0,5°
- Método de Newton.....:	V: -3,5;	H: -3	
Ang. Tubérculo-Inion-Monro.:	19°		
Ang. Monro-Inion-Bregma....:	18°		
Ang. Tubérculo-Lambda-Monro:	11°		
Ang. Monro-Glabela-Bregma..:	45,5°		
Ang. Monro-Bregma-Tubérculo:	17°		
Ang. Monro-Tubérculo-Inion.:	66,5°		
Ang. Apex-Tubérculo-Monro..:	26°		
Ang. Monro-Apex-Bregma.....:	53°		
Lín. fleboaxial-Monro.....:	-0,5		

FLEBOGRAMA LATERAL

Parámetros de la v. cerebral interna

- Método de Potts y Taveras: A-B: 30,5; b: 10; c: 1; d: -0,5
- Método de Shah-Kendall...: A: 28,9; B: 37,3; C: 26,7
- Método de Babin y cols...: c: 45°; b: 45°
- Cociente de giro sagital.: 84
- Arco venoso profundo.....: 9

Proyecciones de la v. basal

- Eje incisural-vena basal.: A: 5; B: 1; C: -15; D: -11

FLEBOGRAMA FRONTAL

- Angulo venoso-Línea media.: -
- Talamoestriada-Línea media: -

Referencias angiográficas complementarias

- No se computan, por dudosos, los datos del flebograma frontal.
- Arteriograma frontal: desviación preferentemente distal de la arteria cerebral anterior. Desplazamiento lateral de la porción horizontal de la arteria cerebral media.
- Arteriograma lateral: estiramiento de las ramas operculares frontales y parietales de la arteria cerebral media. Depresión del borde anterior del triángulo silviano.

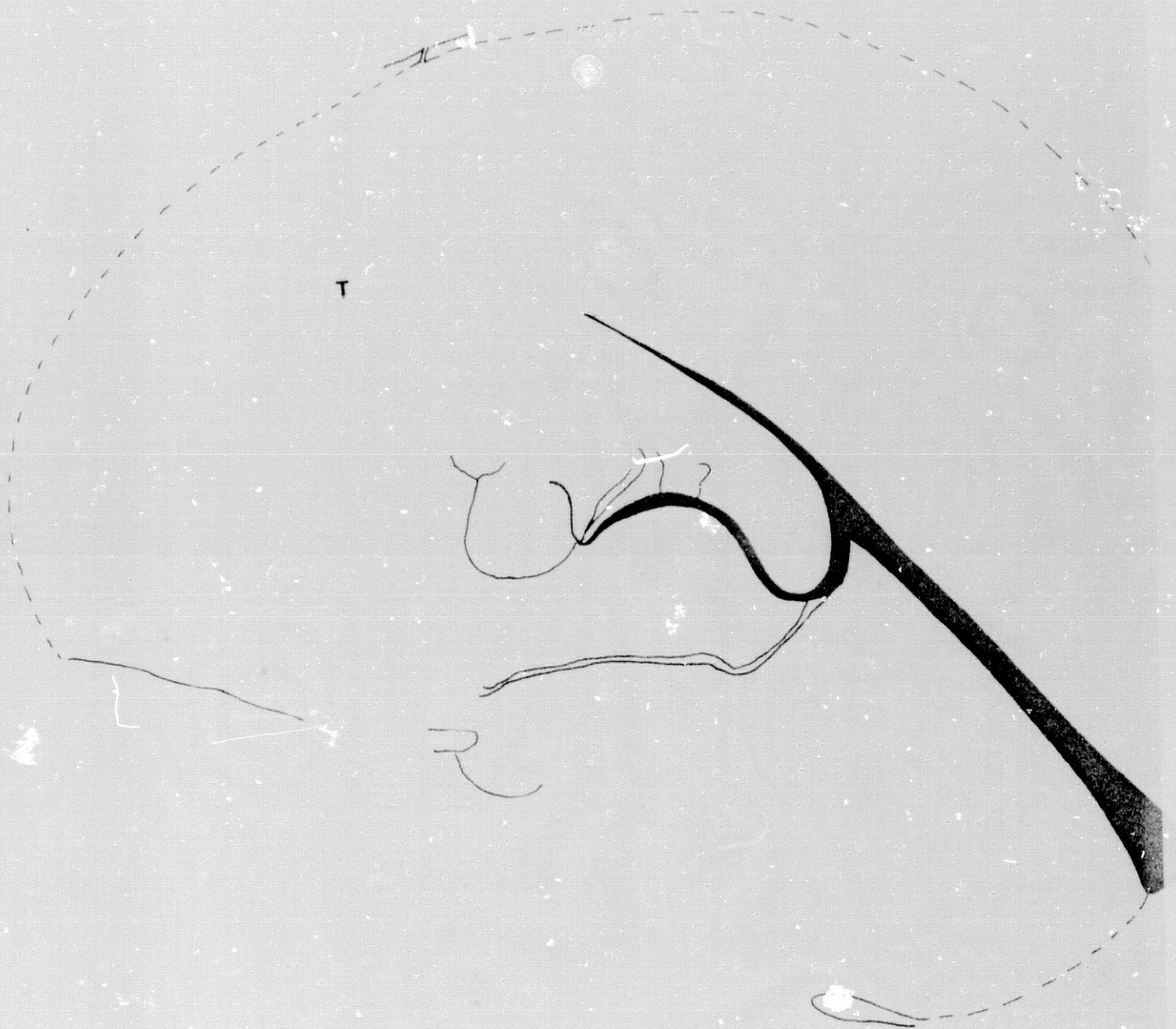


FIG. 296

S E R I E: Patológica

- Masa supraaxial media lateral
- (Suprasilviana anterior)

Caso nº P-64 (H-118)

Reseña personal: I.E.L. Mujer. 27 años.

Reseña clínica: Astrocitoma parietal izquierdo.

.....

FLEBOGRAMA LATERAL

Parámetros del ángulo venoso

- Método de Laine.....:	H: 16;	V: 15
- Método de Fischer.....:	H: 2,7;	V: -1,5
- Bisectriz de Fischer.....:	B: 22,2º;	M: 19,5º; D: -2,7º
- Método de Newton.....:	V: -3;	H: 3;
Ang. Tubérculo-Inion-Monro.:	19,5º	
Ang. Monro-Inion-Bregma.....:	25º	
Ang. Tubérculo-Lambda-Monro:	10º	
Ang. Monro-Glabela-Bregma...:	42º	
Ang. Monro-Bregma-Tubérculo:	13,5º	
Ang. Monro-Tubérculo-Inion.:	61,5º	
Ang. Apex-Tubérculo-Monro...:	27º	
Ang. Monro-Apex-Bregma.....:	58º	
Lín. fleboaxial-Monro.....:	0	

FLEBOGRAMA LATERAL

Parámetros de la v. cerebral interna

- Método de Potts y Taveras: A-B: 33; b: 9; c: 1,5; d: 0,2
- Método de Shah-Kendall...: A: 28,9; B: 36,7; C: 23,2
- Método de Babin y cols...: c: 51°; b: 39°
- Cociente de giro sagital.: 107
- Arco venoso profundo.....: Inviabile

Proyecciones de la v. basal

- Eje incisural-vena basal.: Inviabile (la v. basal no es anastomótica)

FLEBOGRAMA FRONTAL

- Angulo venoso-Línea media.: 7,5
- Talamoestriada-Línea media: 8

Referencias angiográficas complementarias

- El segmento opacificado de la vena talamoestriada en la proyección lateral es anormalmente corto.
- Arteriograma frontal: desviación distal de la arteria cerebral anterior.
- Arteriograma lateral: estiramiento y redondeamiento de las ramas operculares frontales y parietales de la arteria cerebral media. Depresión del triángulo silviano, especialmente de su tramo medio.



FIG. 297

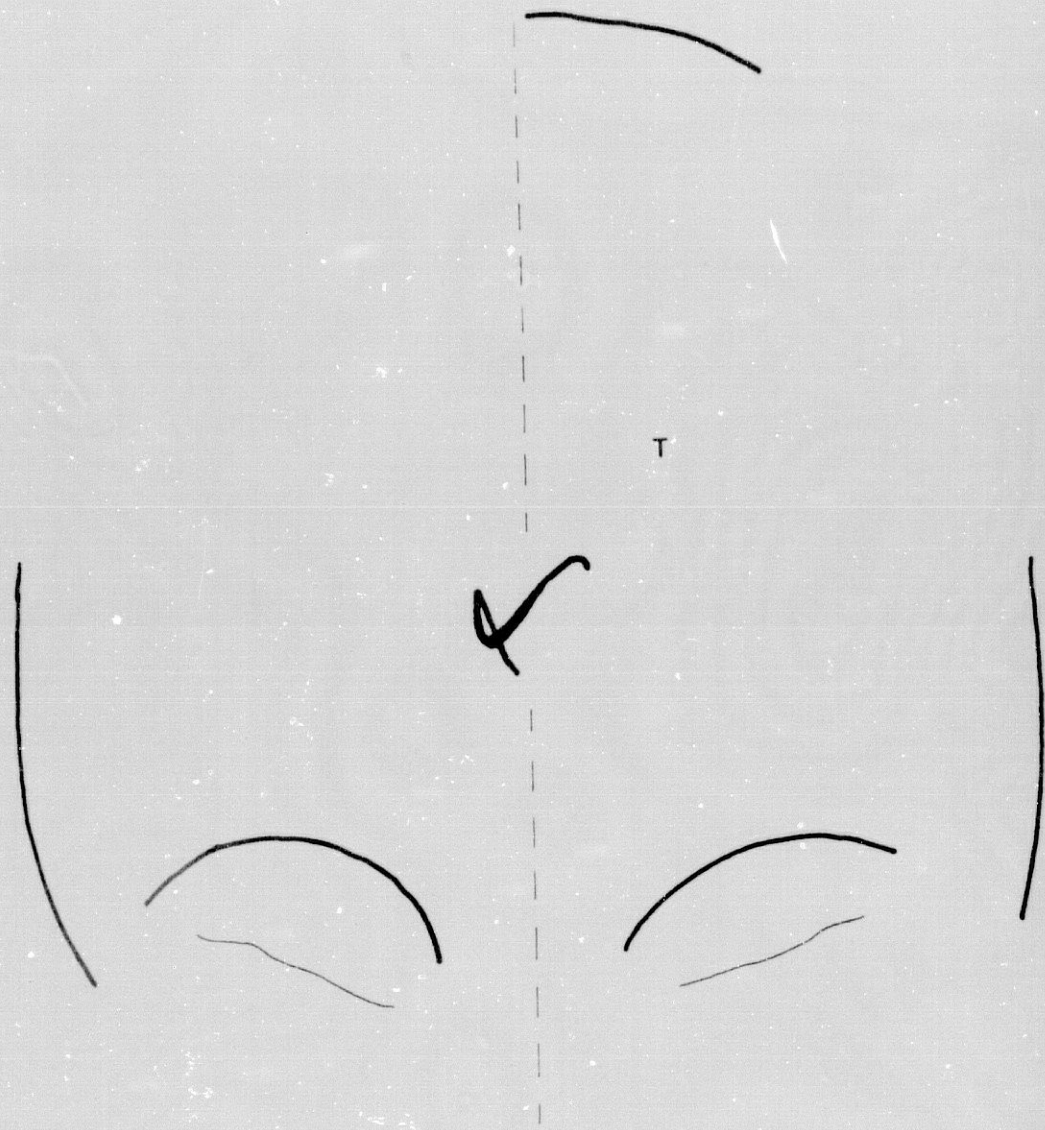


FIG. 298

S E R I E: Patológica

- Masa supraaxial media lateral
- (Suprasilviana posterior)

Caso nº P-65 (H-172)

Reseña personal: J.R.M. Mujer. 62 años.

Reseña clínica: Tumor parietal derecho. El enfermo no fue intervenido: se desconoce la naturaleza exacta del tumor.

.....

FLEBOGRAMA LATERAL

Parámetros del ángulo venoso

- Método de Laine.....:	H: 2,5;	V: 23,5	
- Método de Fischer.....:	H: 6;	V: 4	
- Bisectriz de Fischer.....:	B: 19°;	M: 17°;	D: -2°
- Método de Newton.....:	V: -7;	H: 9	
Ang. Tubérculo-Inion-Monro.:	17°		
Ang. Monro-Inion-Bregma....:	21°		
Ang. Tubérculo-Lambda-Monro:	14°		
Ang. Monro-Glabela-Bregma...:	48°		
Ang. Monro-Bregma-Tubérculo:	11,5°		
Ang. Monro-Tubérculo-Inion.:	85,5°		
Ang. Apex-Tubérculo-Monro...:	48,5°		
Ang. Monro-Apex-Bregma.....:	45°		
Lín. fleboaxial-Monro.....:	-4		

FLEBOGRAMA LATERAL

Parámetros de la v. cerebral interna

- Método de Potts y Taveras: A-B: 42; b: 6; c: 0,5; d: 0,2
- Método de Shah-Kendall...: A: 30,8; B: 37,1; C: 29,2
- Método de Babin y cols...: c: 53,5^o; b: 53^o
- Cociente de giro sagital.: 115
- Arco venoso profundo.....: 9

Proyecciones de la v. basal

- Eje incisural-vena basal.: A: -; B: -5; C: -8; D: -

FLEBOGRAMA FRONTAL

- Angulo venoso-Línea media.: -
- Talamoestriada-Línea media: -

Referencias angiográficas complementarias

- No se computan, por dudosos, los datos del flebograma frontal.
- Arteriograma frontal: desviación cuadrada, preferentemente distal, de la arteria cerebral anterior.
- Arteriograma lateral: rectificación anómala del último segmento de la arteria pericallosa. Depresión del triángulo silviano en sus dos tercios posteriores.

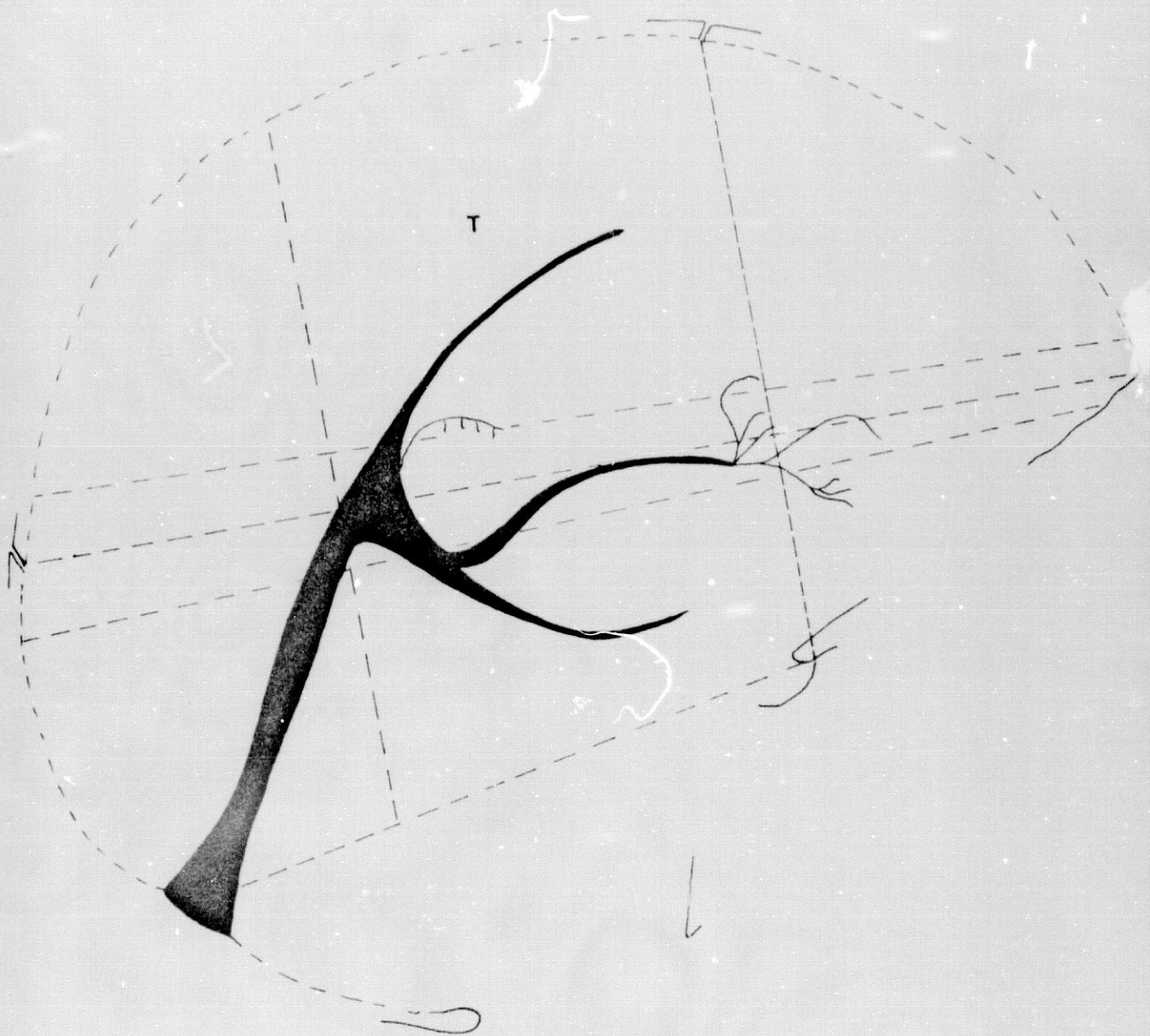


FIG. 299

S E R I E: Patológica

- Masa supraaxial media lateral
- (Suprasilviana media)

Caso nº P-66 (H-212)

Reseña personal: M.L.T. Varón. 46 años.

Reseña clínica: Glioblastoma frontoparietal derecho.

.....

FLEBOGRAMA LATERAL

Parámetros del ángulo venoso

- Método de Laine.....:	H: 16;	V: 13,5	
- Método de Fischer.....:	H: 7;	V: 0	
- Bisectriz de Fischer.....:	B: 21,2;	M: 15º;	D: -6,2º
- Método de Newton.....:	V: -7,5;	H: 6	
Ang. Tubérculo-Inion-Monro.:	15º		
Ang. Monro-Inion-Bregma.....:	27,5º		
Ang. Tubérculo-Lambda-Monro:	8,5º		
Ang. Monro-Glabela-Bregma...:	45º		
Ang. Monro-Bregma-Tubérculo:	10,4º		
Ang. Monro-Tubérculo-Inion.:	60º		
Ang. Apex-Tubérculo-Monro...:	25º		
Ang. Monro-Apex-Bregma.....:	65,8º		
Lín. fleboaxial-Monro.....:	-7		

FLEBOGRAMA LATERAL

Parámetros de la v. cerebral interna

- Método de Potts y Taveras: A-B: 39; b: 6; c: 0,2; d: -0,2
- Método de Shah-Kendall...: A: 24,7; B: 33,8; C: 23,5
- Método de Babin y cols...: c: 40°; b: 38°
- Cociente de giro sagital.: 147
- Arco venoso profundo.....: 5

Proyecciones de la v. basal

- Eje incisural-vena basal.: A: 3; B: -10; C: -19,5; D:-

FLEBOGRAMA FRONTAL

- Angulo venoso-Línea media.: 12
- Talamoestriada-Línea media: 19

Referencias angiográficas complementarias

- Arteriograma frontal: desviación acusada, proximal y distal, de la arteria cerebral anterior. Gran desplazamiento medial de la arteria cerebral posterior. Depresión de todos los vasos silvianos.
- Arteriograma lateral: gran depresión de la arteria cerebral posterior y de la coroidea anterior. Gruesas ramas operculares parietales nutren un amplio tumor de emplazamiento rolándico. Descenso y adelantamiento del triángulo silviano, con imagen de herniación transesfenoidal ascendente.

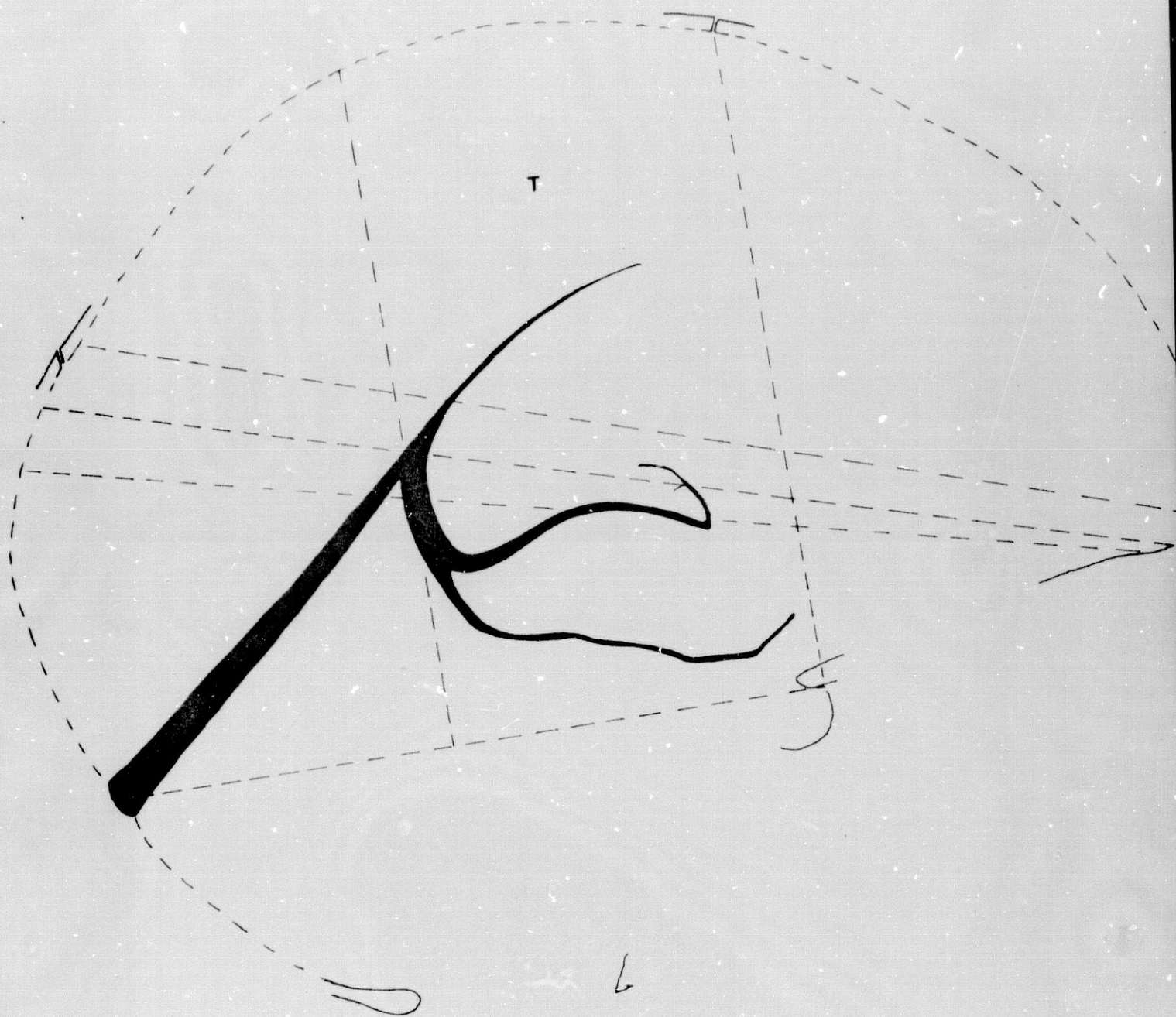


FIG. 300

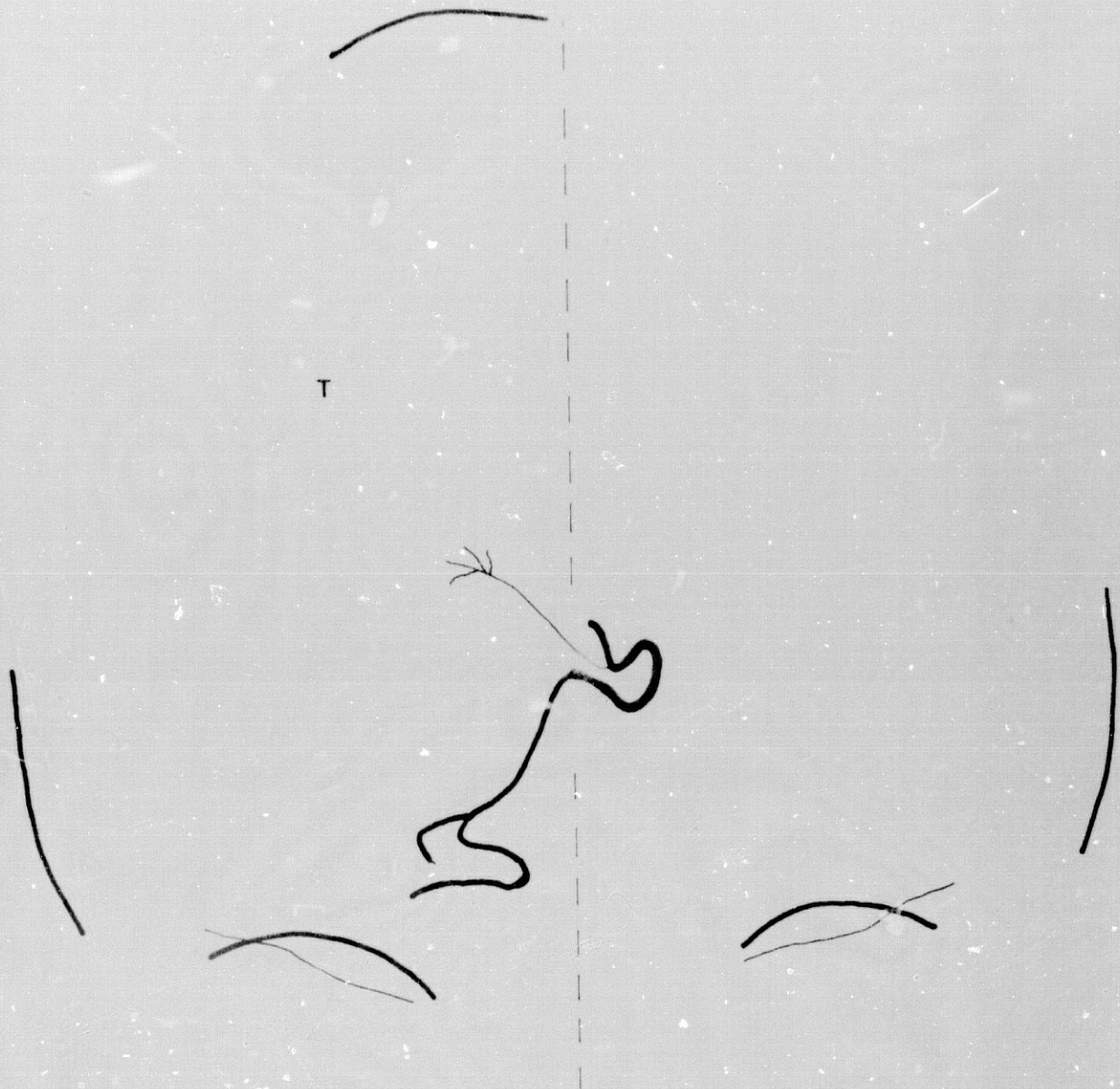


FIG. 301

S E R I E: Patológica

- Masa supraaxial media lateral

- (Suprasilviana anterior)

Caso nº P-67 (H-231)

Reseña personal: P.M.R. Mujer. 41 años

Reseña clínica: Hematoma intratumoral en oligodendroglioma recidivado frontal posterior derecho.

.....

FLEBOGRAMA LATERAL
=====

Parámetros del ángulo venoso

- Método de Laine.....:	H: 23;	V: 10
- Método de Fischer.....:	H: -1;	V: -13
- Bisectriz de Fischer.....:	B: 21,2º;	M: 10,5º; D: -10,7º
- Método de Newton.....:	V: -10;	H: -1
Ang. Tubérculo-Inion-Monro..:	10,5º	
Ang. Monro-Inion-Bregma.....:	32º	
Ang. Tubérculo-Lambda-Monro:	4º	
Ang. Monro-Clabela-Bregma...:	54º	
Ang. Monro-Bregma-Tubérculo:	16,5º	
Ang. Monro-Tubérculo-Inion..:	47,5º	
Ang. Apex-Tubérculo-Monro...:	17,5º	
Ang. Monro-Apex-Bregma.....:	56,5º	
Lín. fleboaxial-Monro.....:	-12	

FLEBOGRAMA LATERAL

Parámetros de la v. cerebral interna

- Método de Potts y Taveras: A-B: 36; b: 8; c: 1; d: -1
- Método de Shah-Kendall...: A: 21,5; B: 30; C: 23,3
- Método de Babin y cols...: c: 27,5^o; b: 31,5^o
- Cociente de giro sagital.: 172
- Arco venoso profundo.....: 0

Proyecciones de la v. basal

- Eje incisural-vena basal.: A: 4; B: -6; C: -12; D: ..

FLEBOGRAMA FRONTAL

- Angulo venoso-Línea media.: 10
- Talamoestriada-Línea media: 26

Referencias angiográficas complementarias

- Arteriograma frontal: desviación preferentemente distal de la arteria cerebral anterior. Desplazamiento medial de las arterias lenticuloestriadas.
- Arteriograma lateral: acusado estiramiento de la arteria cerebral anterior. Depresión de la arteria coroidea anterior, especialmente en su porción cisternal. Descenso de los dos tercios anteriores del triángulo silviano.

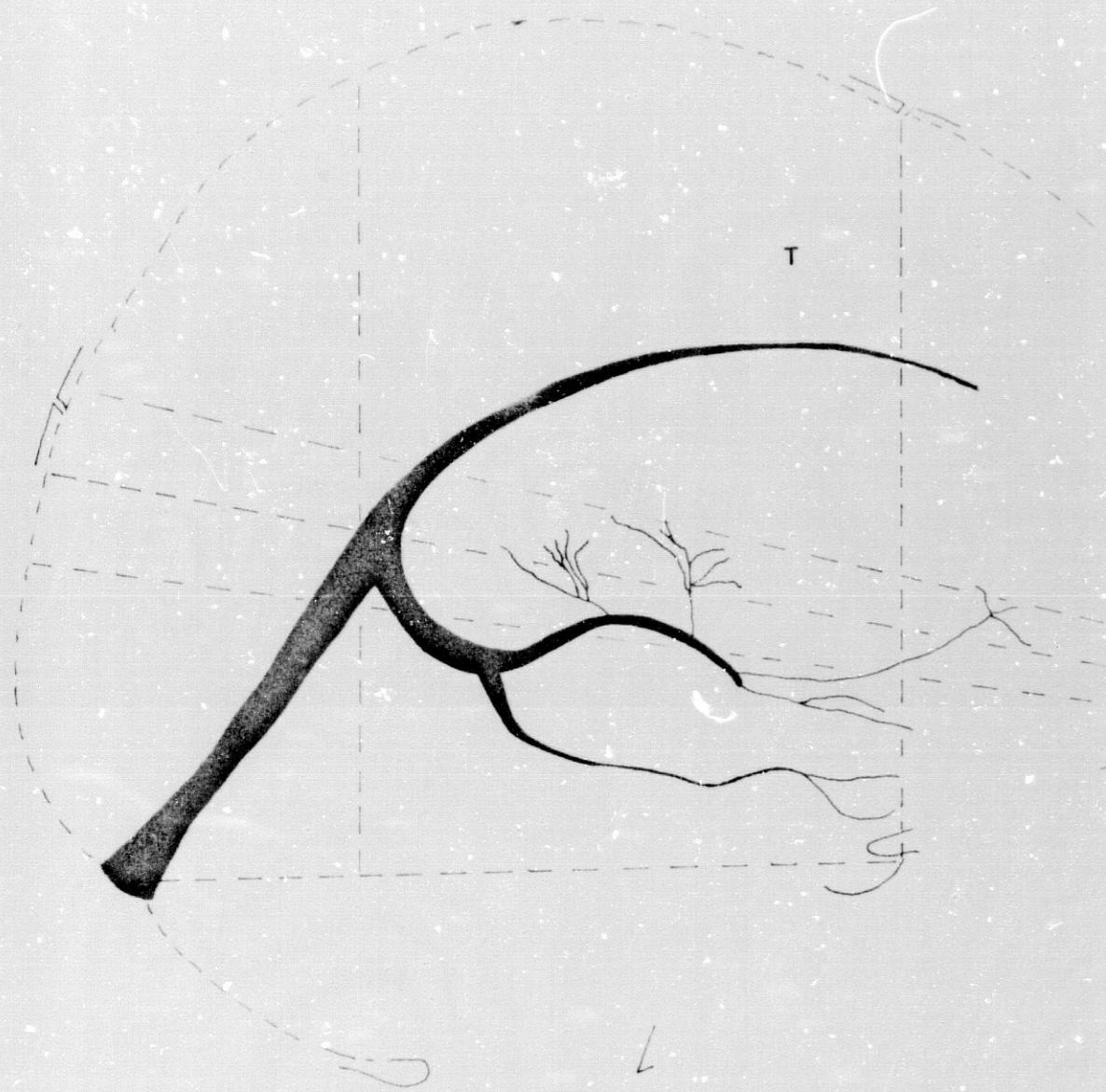


FIG. 302

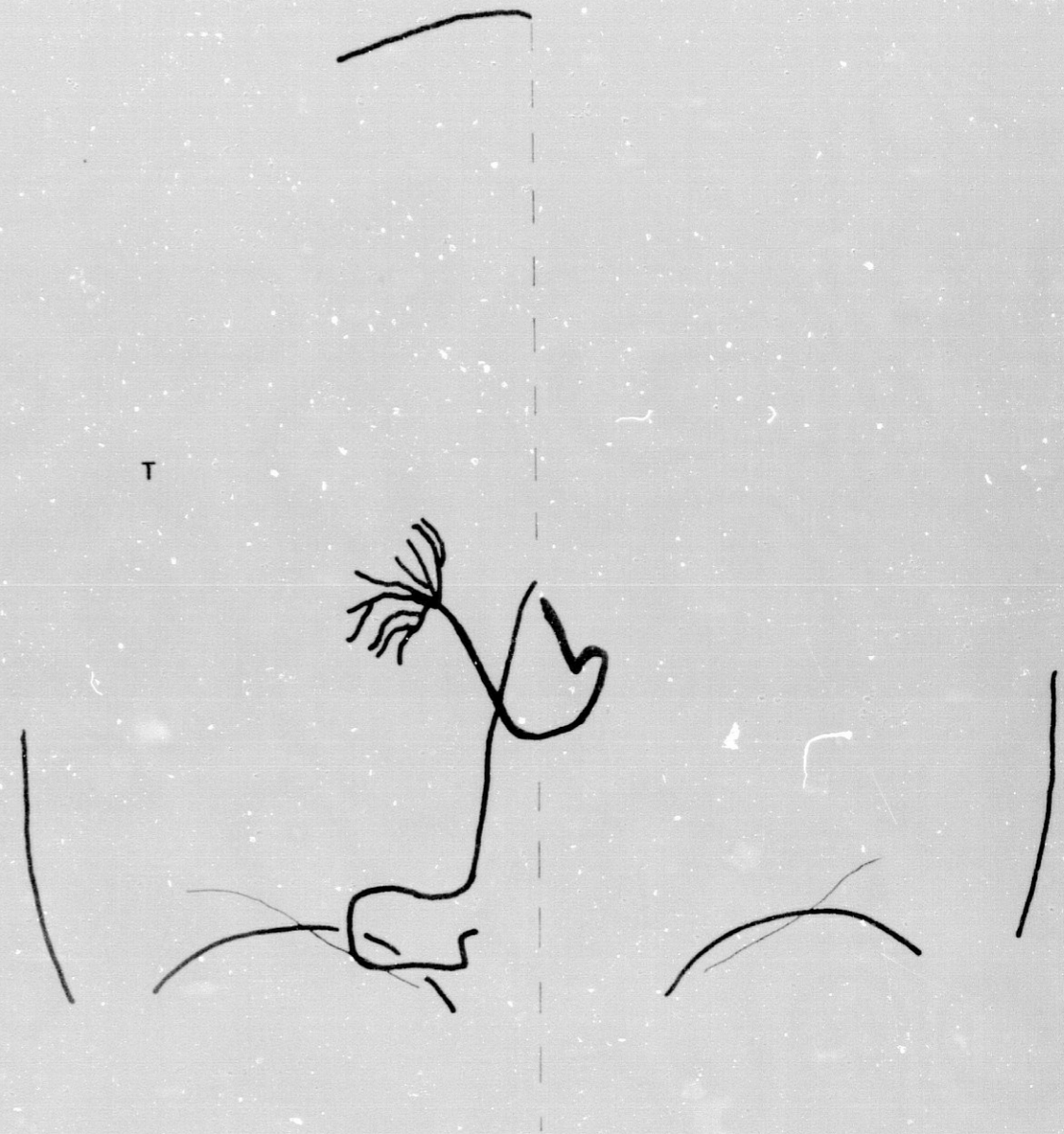


FIG. 303

S E R I E: Patológica

- Masa supraaxial media lateral
- (Suprasilviana anterior)

Caso nº P-68 (H-245)

Reseña personal: S.G.M. Varón. 49 años.

Reseña clínica: Glioma frontoparietal yuxtaventricular derecho

.....

FLEBOGRAMA LATERAL

Parámetros del ángulo venoso

- Método de Laine.....	H: 16,5;	V: 21
- Método de Fischer.....	H: 3;	V: 2
- Bisectriz de Fischer.....	B: 17,5º;	M: 16,5º; D: -1º
- Método de Newton.....	V: 0;	H: 7,5
Ang. Tubérculo-Inion-Monro..:	16º	
Ang. Monro-Inion-Bregma....:	19º	
Ang. Tubérculo-Lambda-Monro:	12º	
Ang. Monro-Glabela-Bregma..:	39º	
Ang. Monro-Bregma-Tubérculo:	13º	
Ang. Monro-Tubérculo-Inion..:	72º	
Ang. Apex-Tubérculo-Monro...:	36,5º	
Ang. Monro-Apex-Bregma.....:	44,5º	
Lín. fleboaxial-Monro.....:	5	

FLEBOGRAMA LATERAL

Parámetros de la v. cerebral interna

- Método de Potts y Taveras: A-B: 40; b: 4; c: -1; d: 0
- Método de Shah-Kendall...: A: 33; B: 33,6; C: 25,3
- Método de Babin y cols...: c: 53,5° b: 44,5°
- Cociente de giro sagital.: 93
- Arco venoso profundo.....: 8

Proyecciones de la v. basal

Eje incisural-vena basal.: Inviabile (la v. basal no es anastomótica)

FLEBOGRAMA FRONTAL

- Angulo venoso-Línea media.: 7,5
- Talamoestriada-Línea media: 14,8

Referencias angiográficas complementarias

- El drenaje principal del tumor aboca al sistema venoso profundo a través de un grueso vaso patológico que se comunica con la vena cerebral interna.
- Arteriograma frontal: no se aprecian alteraciones significativas.
- Arteriograma lateral: depresión de la arteria pericallosa a nivel del cuerpo del cuerpo calloso. Presencia de vasos patológicos que se proyectan en esa área. Descenso de la arteria cerebral posterior en su tramo mesencefálico posterior.



FIG. 304

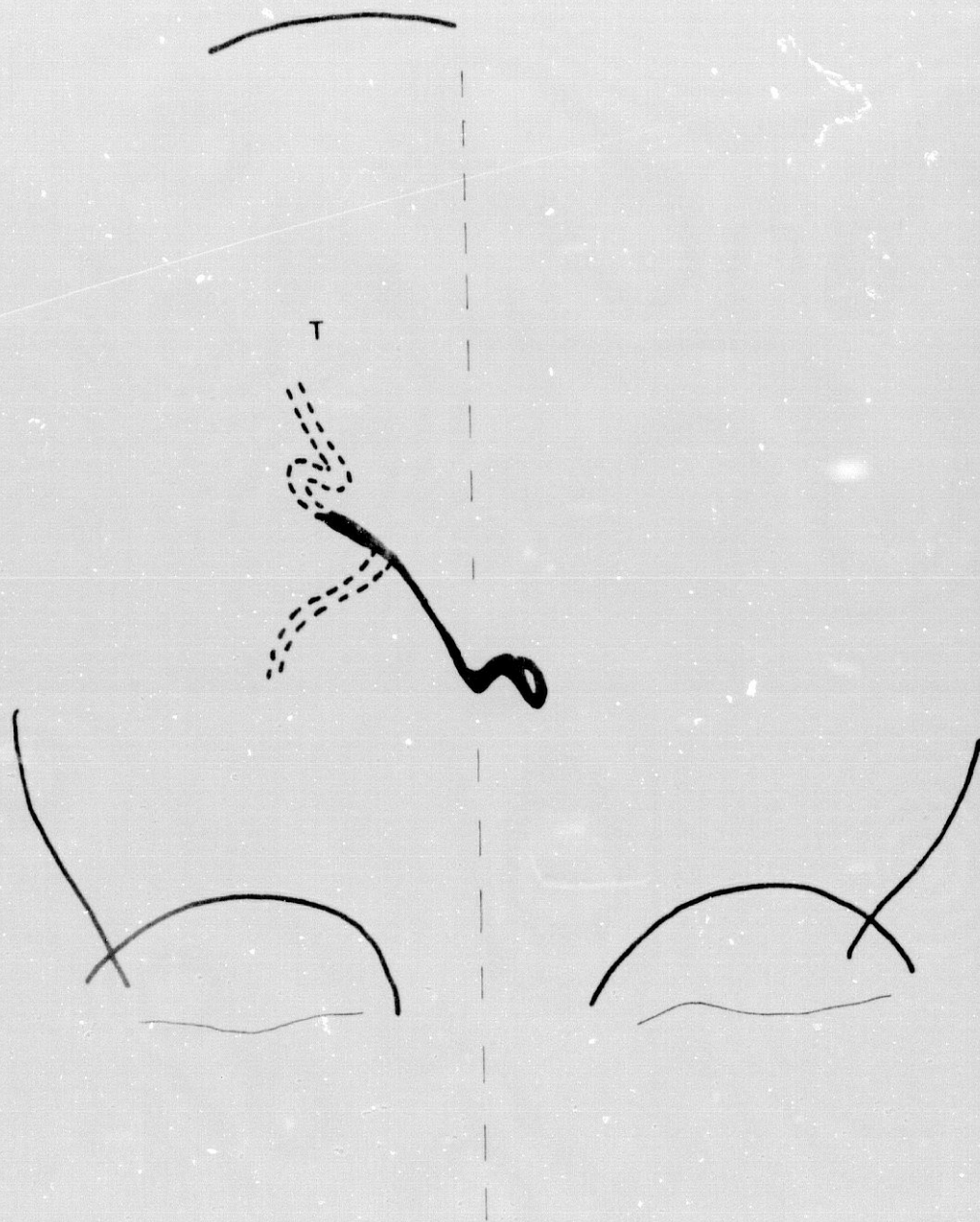


FIG. 305

Tumores supraaxiales posteriores parasagiales

S E R I E: Patológica

- Masa supraaxial posterior parasagital
- (Suprasilviano posterior línea media)

Caso nº P-69 (H-41)

Reseña personal: B.A.P. Varón. 58 años.

Reseña clínica: Meningioma de la hoz parietal bilateral.

.....

FLEBOGRAMA LATERAL (Derecho)

Parámetros del ángulo venoso

- Método de Laine.....:	H: 15;	V: 19,5	
- Método de Fischer.....:	H: 0;	V: -2	
- Bisectriz de Fischer.....:	B: 17,5°;	M: 16°;	D: -1,5°
- Método de Newton.....:	V: -1,5;	H: 3,5	
Ang. Tubérculo-Inion-Monro.:	16°		
Ang. Monro-Inion-Bregma.....:	20°		
Ang. Tubérculo-Lambda-Monro:	11°		
Ang. Monro-Glabela-Bregma...:	40°		
Ang. Monro-Bregma-Tubérculo:	15,5°		
Ang. Monro-Tubérculo-Inion.:	63°		
Ang. Apex-Tubérculo-Monro...:	36°		
Ang. Monro-Apex-Bregma.....:	41,5°		
Lín. fleboaxial-Monro.....:	7,5		